

Sbor. geol. věd	Geologie 41	Str. 167—245	8 obr.	9 tab.	1 příl.	Praha 1986 ISSN 0581-9172
--------------------	----------------	-----------------	-----------	-----------	------------	------------------------------

# Geochemické zhodnocení sedimentů slezské jednotky

## Geochemical evaluation of the sediments of the Silesian unit

Marie Adamová<sup>1</sup>

Předloženo dne 25. května 1984

Adamová M. (1986): Geochemické zhodnocení sedimentů slezské jednotky. — Sbor. geol. Věd., Geol., 41, 167—245. Praha.

Výtah: Geochemický výzkum sedimentů slezské jednotky (svrchní jura—oliocén) byl zaměřen na studium chemického a mineralogického složení pelitů a psamitů odebraných z výchozů a z vrtů, stanovení geochemické charakteristiky těchto hornin, jejich vzájemné porovnání pro účely geochemické a geologické interpretace. Byly studovány koncentrace hlavních prvků, stopových prvků (Ag, As, B, Ba, Co, Cr, Cu, Ga, Mo, Nb, Ni, Pb, Š, Sb, Sn, Sr, Ti, U, V, Y, Zn, Zr) a významné poměry dvojic těchto prvků, stanovení jejich distribuce, korelačních vztahů a geochemických fónů v horninách jednotlivých lithostratigrafických členů slezské jednotky s možností využití geochemického zhodnocení pro jejich rozlišení a stratigrafickou korelací. Výzkum byl ve vybraných vzorcích doplněn studiem prvků vzácných zemin, uranu, thoria, hafnia a organické hmoty. Pozornost byla rovněž věnována otázce pestrých vrstev a původu SiO<sub>2</sub> v sedimentech.

<sup>1</sup> Ústřední ústav geologický, Malostranské nám. 19, 118 21 Praha 1

### Úvod

V posledních několika letech jsem se zabývala mineralogicko-geochemickým výzkumem flyšových sedimentů z. části československých Karpat. Slezská jednotka, jako významná tektonická jednotka flyšového pásmo Karpat, byla podrobně charakterizována po stránce petrograficko-mineralogické a geochemické.

Cílem výzkumu bylo stanovení geochemické charakteristiky hornin slezské jednotky flyšového pásmo, jejich vzájemné porovnání pro účely geochemické a geologické interpretace. Práce je dále zaměřena na studium koncentrací hlavních a stopových prvků, stanovení jejich distribuce, korelačních vztahů a geochemických fónů v horninách jednotlivých lithostratigrafických členů této jednotky s možností využití geochemického zhodnocení pro jejich rozlišení a stratigrafickou korelací.

### Metodika výzkumu

Pro studium byly odebrány bodové vzorky (1,5—4,5 kg podle plánovaných analýz) z povrchových výchozů a hlubokých vrtů. Na základě litologie, stratigrafie a typu odběru

byly všechny vzorky rozděleny do jednotlivých lithostratigrafických souborů. Pro analytické zpracování byly odebrané vzorky homogenizovány v Geologickém průzkumu, Ostrava, závod Brno.

U všech vzorků byla v laboratořích Geologického průzkumu, Ostrava, závod Brno (M. Janáčková, V. Selucká) stanovena standardní řada stopových prvků rentgenovou fluorescenční spektrální analýzou s touto citlivostí (v ppm): As (5), Ba (50), Co (5), Cu (5), Nb (5), Ni (5), Pb (5), Rb (5), S (100), Sb (3), Sr (10), TiO<sub>2</sub> (20), U (10), V (5), Y (5), Zn (5), Zr (5). Emisní spektrální kvantitativní analýza byla použita pro stanovení koncentrací Ag (0,06), B (9), Ga, Mo a Sn (1). Metodu instrumentální neutronové aktivacní analýzy byly v laboratořích Geoindustrie, n. p., Praha (V. Moučka) stanoveny koncentrace těchto prvků s mezi detekce (v ppm): Sm (1), La (1), Au (0,05), Ce (1), Yb (1), Lu (0,01), Th (1), Rb (10), Eu (0,1), Tb (1), Co (1), Hf (1), Sb (1), U (3). Stanovení U, Th, Ra a K gammaspektrometrickou analýzou (laboratoře Geofyzika, n. p., Brno) bylo provedeno u vybraných vzorků jednotlivých lithostratigrafických členů studované jednotky. Citlivost stanovení této metody je: U — 1,2 ppm, Ra — 0,13 ppm (vyjádřeno v ekv. koncentraci U), Th — 0,4 ppm a K — 0,07 %. Kompletní silikátové analýzy provedly laboratoře Ústředního ústavu geologického, Praha a Geologického průzkumu, n. p., Ostrava, závod Brno.

Mineralogické složení vybraných vzorků bylo studováno rentgenovou difrakční analýzou a konfrontováno s výsledky diferenční termické analýzy (laboratoře Ústředního ústavu geologického, Praha). Některé vzorky byly podrobně analyzovány automatickou rentgenovou difrakční analýzou (H. Moravcová a J. Korecký — Ústřední ústav geologický), založenou na určení co nejlepší shody mezi naměřenými difrakčními daty vzorku a teoretickým difrakčním snímek (Moravcová - Fiala 1980). Ve vybraných vzorech studovaných sedimentů byla rovněž provedena analýza těžkých minerálů (laboratoře Ústředního ústavu geologického, Praha — F. Veselovský, A. Tylová, J. Pišová). Průměrná část vzorku byla zařízena do kanadského balzámu, část ponechána v prášku. Při vyhodnocování trvalých připravů se většinou vycházelo z 500—600 zrn, vzorky s velmi malým množstvím materiálu, nebo téměř monofázové, byly určovány semikvantitativně.

K analýze organické hmoty (laboratoře Moravských naftových dolů, Hodonín) bylo použito standardního postupu (Šmeral 1964), který je založen na stanovení jednotlivých genetických typů organické substance po předcházející dekalcinaci horniny. Analýza n-alkanů, provedená v několika vzorech (laboratoře Ústředního ústavu geologického, Brno), je založena na plynově chromatografickém stanovení nasycených parafinických uhlovodíků s 12—35 uhlíky v molekule po předcházející separaci jejich adduktu s močovinou (Weite 1967).

Základním klasifikačním kritériem k statistickému zpracování bylo třídění původních dat podle lithostratigrafického členění slezské jednotky. V jednotlivých takto vytvořených souborech bylo provedeno základní statistické zpracování v RVS Geoindustria, n. p., Praha. Pro vybrané dvojice hlavních stopových prvků byly vypočteny průměrné hodnoty jejich poměru. Výsledky statistické analýzy jsou shrnutý do tabulek. Veškerá hmotná i analytická dokumentace je uložena u autorky.

## Geologická charakteristika

Flyšové pásmo Karpat je součástí příkrovů (vněkarpatského alochtonu), zvrásněných a nasunutých na původní předpolí Českého masivu a na výplň oligomiocenní předhlubně v průběhu sávských a štýrských orogenních fází (Menčík et al. 1983). Flyšové pásmo vnějších Karpat na Moravě a z. Slovens-

sku se dělí na skupinu okrajovou, střední a magurskou. Slezská jednotka, podobně jako jednotka žďánicko-podslezská patří ke skupině střední.

Ve slezské jednotce byl výhradně zkoumán její vrstevní sled ve vývoji godulském (svrchní jura—oligocén). Tento vývoj je svým plošným rozsahem pro stavbu slezské jednotky na s. Moravě rozhodující a pro pochopení základních geochemických faktorů nejdůležitější. Bašský vývoj slezské jednotky je naproti tomu zastoupen podřadně, omezuje se v dnešní geologické stavbě Štramberské vrchoviny na území plošně omezených tektonických ker.

K vrstevnímu sledu slezské jednotky ve vývoji godulském podle Rotha a Menčíka (*in Roth et al. 1962; in Menčík et al. 1983*) patří: spodní těšínské vrstvy (oxford—svrchní tithón), těšínské vápence ve facii kalové (svrchní tithón) a organodetritické (berrias—spodní valangin), těšínsko-hradišské souvrství členěné na svrchní těšínské vrstvy (svrchní berrias—spodní hauteriv) a radišské vrstvy (spodní hauteriv—apt), veřovické vrstvy (střední—svrchní apt), lhotecké vrstvy (alb), godulské souvrství, obsahující pestré vrstvy godulské s ostravickým pískovcem (cenoman—spodní turon) a godulské vrstvy s.s. (v rozsahu turon—coniak—anton), istebňanské vrstvy (kampan—dán), podmenilitové souvrství s ciezkovickým pískovcem (paleocén—svrchní eocén), menilitové souvrství (spodní oligocén) a krošněnské vrstvy (oligocén).

Sedimenty slezské jednotky byly podrobнě studovány na vzorech z povrchových výchozů s cílem získat, pokud to bylo možné, co nejúplnější soubory jednotlivých lithostratigrafických členů této jednotky. Toto studium je doplněno odběry vzorků ze sledovaných vrtů.

### **Mineralogicko-petrografická a geochemická charakteristika**

Vývoj chemického složení flyšových hornin je v úzkém sepetí s historií geotektonického vývoje geosynklinální oblasti. Výrazný vliv na formování chemického složení sedimentů měl především tektonický režim, složení zdrojových oblastí a hydrodynamický režim bazénů. Veľký význam pro plné poznání charakteru hornin má jak studium hlavních chemických komponent hornin, tak studium koncentrace, distribuce a korelačních vztahů stopových prvků, doplněné výzkumem jejich minerálního složení a organické hmoty.

Srovnávání koncentrací hlavních a stopových prvků bylo provedeno v horninách stejného litologického složení. Pozornost byla věnována zejména studiu jiloveč a pískovců — hlavních komponent karpatského flyše. Pelitické horniny, ačkoliv hrají ve flyšových sedimentech menší úlohu ve srovnání s pískovci, dobře charakterizují podmínky sedimentace a zároveň vedle toho, že odrážejí změny ve zdrojových oblastech, mají schopnost sorbovat některé prvky. Organická hmota, která se často nachází v pelitických horninách v jemně dispergované formě, ještě zesiluje tento proces.

# Mineralogicko-petrografická charakteristika

## Spodní těšínské vrstvy

V minerálním složení tmavošedých nebo hnědošedých vápnitých jílovců až jílovitých vápenců, převažujících v těchto vrstvách, se vedle křemene (15–20 %) a živec (4–6 %) uplatňuje především kalcit (25–55 %), slabě je přítomen dolomit. V jednom vzorku byl určen cristobalit a anatas. Z jílových minerálů převládají slídové minerály (minerály skupiny illitu a velmi jemná slída) v rozsahu 12–19 % nad často přítomným kaolinitem (stopy až několik procent) a ojediněle se vyskytujícími minerály skupiny montmorillonitu. Chlorit je akcesorický. Obsahy pyritu jsou stabilní (1–2 %). Charakteristické jsou vyšší obsahy organické hmoty.

V těžké minerální frakci jílovců z lokality Nebory a profilu potoka Chotěbuzka převládají opakní minerály (69–77 %), hlavně pyrit; magnetitu je velmi málo. Z průhledných minerálů je hojně zastoupen rutil, baryt, turmalín, pyroxen, amfibol, akcesoricky zirkon, granát a Ti-minerály.

Sedimenty těchto vrstev byly studovány na lokalitách Ropice, Guty, Třinec, Vendryň, Nebory, oblast nýdecké kotliny, Ostrý u Vendryň, řeka Olše u Třince, potok Chotěbuzka, Ropičanka a Karpetná — celkem 30 vzorků a na vrtech Jablunkov-1 a NP 818 Kunčice — 10 vzorků.

## Těšínské vápence

Ve složení jemně detritických (kalových) vápenců převážně dominuje kalcit (60 %) doprovázený v podřadném množství dolomitem a sideritem (70–80 %) obsahu sumárního železa je vázána na karbonáty). Z klastických minerálů je vedle křemene (~ 20 %) přítomno malé množství živeců. Jílová složka je reprezentována téměř výhradně slídovými minerály, doprovázenými podřadným chloritem. Obsahy organické hmoty a pyritu jsou téměř stopové.

Vápence byly studovány na lokalitách Ropice, Třinec, nýdecká kotlina a potok Chotěbuzka, celkem 8 vzorků a z vrchu NP 818 Kunčice (4 vzorky).

## Těšínsko-hradišské souvrství

### Svrchní těšínské vrstvy

V minerálním složení černošedých a hnědošedých vápnitých jílovců se podíl prachovité a písčité příměsi projevuje průměrným obsahem 20–25 % křemene a 2–5 % živeců. V jednom vzorku byl zjištěn stopový cristobalit. Slídové minerály jsou zastoupeny 12–20 %. v některých jílovcích je téměř ve stejném

množství přítomen kaolinit (obvykle jen několik procent). Minerály skupiny montmorillonitu se vyskytují ojediněle v malých, většinou stopových množstvích. Totéž lze říci i o chloritu. Z karbonátových minerálů zřetelně převládá kalcit (10–24 %), často je v malém množství doprovázen dolomitem. Charakteristická je přítomnost pyritu (1 %, max. 2 %) a organické substance. V jednom vzorku byl zjištěn anatas.

Z analýzy těžkých minerálů vápnitého jílovce a šedých vápnitých prachovitých pískovců vyplývá výrazná převaha opakních minerálů — od 76 do 91 %, v nichž jednoznačně dominuje pyrit, v malém množství Fe-oxidy (limonit, hematit), bílé sekundáry a akcesoricky magnetit. Z průhledných minerálů převládá zirkon, dále rutil, turmalín, granát, akcesoricky apatit, Ti-minerály, amfibol, tmavá slida.

Odběry pelitických sedimentů této vrstvy byly provedeny na lokalitách Horní Lišná, nýdecká kotlina, Tichá, Stonávka, Oldřichovice, Třinec, Střítež, Třenovice, Ostrý u Vendryně, potok Ropičanka, Ropice — celkem 26 vzorků z vrtech NP 818 Kunčice a Bystřice-2 (7 vzorků), čtyři vzorky pískovců byly odebrány na lokalitách Stanislavice, Střítež, nýdecká kotlina a Stonávka.

### Hradišťské vrstvy

Černohnědé, černošedé až šedočerné převážně silně vápnité, často destičkovitě nebo střípkovitě rozpadavé, lokálně prachovité jílovce mají obsahy křemene nejčastěji v rozsahu 33 až 35 % (od 26 do 37 %) a poměrně nízká konstantní množství živečů (od stop do 4 %). Z jílových minerálů jsou 15–23 % zastoupeny slídové minerály a minerály skupiny montmorillonitu a ve stopách až 4% chloritový minerál. Ojediněle v několika málo procentech jsou přítomny minerály se smíšenými I-M strukturami. Přítomnost kaolinitu je nepravidelná, převážně v akcesorickém množství, jen vzácně dosahuje 1 %. Stálou složkou této jílovce je pyrit (do 3 %, v průměru 1–1,5 %) a organická substancia. Obsahy karbonátů, zejména pak kalcitu mají značné koncentrační rozpětí (od stop do 38 %) s trendem poklesu směrem do nadloží. Dolomit (1–2 %) a převážně stopový siderit jsou přítomny pouze v některých vzorcích.

V těžké minerální frakci šedých až tmavě šedých, jemně až středně zrůstých, převážně vápnitých pískovců většinou převládají opakní minerály (agregáty pyritu, řada přeměněných minerálů — slíd a Ti-minerálů, v malém množství Fe-oxidy — limonit a hematit). Z průhledných minerálů převládá zirkon, druhým nejhojněji zastoupeným minerálem je turmalín, dále rutil, granát, pyroxen, ve stopách apatit, topaz, anatas a ojediněle glaukonit.

Pelitické sedimenty byly studovány na výchozech Stanislavice, Ostravice, Krásná, Komorní Lhotka, Na Bystrém, Kunčice pod Ondřejníkem, Pindula, Hradiště, Satinský potok, Janovice, Lubno, Čeladná, Lichnov, Babí Hora, Ná-

vrší. Frýdlant, Čeladenka, Hermanův Kopec, Nová Ves, Mořkov — celkem 26 vzorků a ve vrtech Jablunkov-1, NP 818 Kunčice, NP 821 Malenovice, SV 6 Čeladná a Rožnov-1 (22 vzorků), pískovce na lokalitách Stanislavice, Ostravice, Komorní Lhotka, Na Bystrém, Babí Hora, Návrší, Hradiště, Janovice, Čeladná, Lichnov — 11 vzorků.

### Veřovické vrstvy

Sazově černé, místy prachově písčité, nevápnité, často silicifikované jílovce obsahují vysoká množství křemene (od 35 do 66 %, v průměru 55–60 %). Není vyloučena přítomnost amorfních forem  $\text{SiO}_2$  (vysoké hodnoty poměru  $\text{SiO}_2/\text{Al}_2\text{O}_3$  s rozsahem 4,2–8,3). Obsahy živců kolísají od stop do 6 % (s průměrem ~4 %). Slídové minerály bývají zastoupeny 17 až 30 %, někdy jsou doprovázeny minerály se smíšenými I-M strukturami a téměř vždy stopami až několika procent minerálů ze skupiny montmorillonitu. Kaolinit se vyskytuje sporadicky ve stopovém množství až několika málo procent. Typickou komponentou těchto sedimentů je chlorit s koncentračním rozsahem od stop do 9 % (průměrně ~5 %). Karbonáty jsou přítomny jen ojediněle v akcesorickém množství při převaze dolomitu, ev. sideritu. Pouze v horninách při bázi lhoteckých vrstev byl nalezen ve 2–3 % kalcit. Pyrit je vždy přítomen v množství od 1 do 2,5 %, v jednom vzorku byl identifikován jarosit. Stanovení těžké minerální frakce bylo provedeno u několika vzorků, ale pouze u vzorku z lokality Trojanovice bylo možné provést kvantitativní analýzu (relativně větší množství minerálů). Množství průhledných a opakních minerálů je prakticky stejně; charakteristická je asociace zirkon—grauát—rutil, v některých vzorcích turmalín, pyroxeny, apatit, Ti-minerály. Všechny minerály jsou převážně v akcesoričních množstvích. Z opakních minerálů převažují Fe-oxidy, hojný je pyrit (agregáty, úlomky, pyritizované organické zbytky), ojediněle markazit.

Studované vzorky byly odebrány na lokalitách Stonávka, Trojanovice, Na Bystrém, Ondřejník, Pindula, Kunčice pod Ondřejníkem, Zubří - Pindula, Ostravice, Satinský potok, potok Čeladná, Bordovice — celkem 31 vzorků a z vrtů Oldřichovice-1, Rožnov-1 a NP 818 Kunčice (13 vzorků).

### Lhoteké vrstvy

Zelenošedé, šedé proměnlivě vápnité jílovce vykazují ve vzájemném střídání variabilní zastoupení; typická je i facie jílovců skvrnitých. V jejich minerálním složení dosahuje průměrný obsah křemene 30 až 50 %, patrný je celkový trend v poklesu obsahů živců (převážně od stop do 5 %, max. 7 %). S nástupem sedimentace zelených jílovců vznikají průměrné obsahy slídových minerálů (30–40 %). Z ostatních jílových minerálů jsou pravidelně přítomny minerály

skupiny montmorillonitu (od stop do několika procent) a chlorit (stopy až 5 %, převážně 3 %), výjimečně se objevují minerály se smíšenými I-M strukturami (8–9 %). Přítomnost a množství kaolinitu v těchto jílovcích je značně variabilní v rozmezí od stop do několika procent (max. 5 %). Spíše na šedé jílovice jsou vázány malá množství pyritu (~1 %) a nízké obsahy organické substance. Značná proměnlivost je patrná v kvantitativním zastoupení karbonátových minerálů, zejména kalcitu, v menší míře dolomit a sideritu. Obsahy se pohybují od stop do max. 11 %.

U řady jílovců byla provedena analýza těžké minerální frakce, v níž většinou převládají opakní minerály. Ty jsou reprezentovány hlavně pyritem (agregáty; zarostlý v křemeni), Fe-oxidy (limonit, hematit), přeměny minerálů (leukoxen), tmavé pyroxeny, bílé neprůhledné sekundární minerály a výjimečně markazit. Mezi průhlednými minerály téměř vždy převládá zirkon, dále granáty, rutil, turmalín a pyroxeny. Ojediněle se akcesoricky vyskytuje distén, topaz, apatit, staurolit, Ti-minerály a chlorit. Vzorek z lokality Řeka se složením průhledných minerálů liší od ostatních jílovců — jednoznačně zde převládají pyroxeny, dále granáty, amfiboly, turmalín, staurolit, zirkon, rutil, apatit, akcesoricky chlorit.

Odběry těchto sedimentů byly provedeny na lokalitách Řeka, Komorní Lhotka, Ráztoka u Frenštátu, Na Bystrém, Ondřejník, Pindula, Ostravice, Návrší, Horečky, Kopytná — 32 vzorků jílovců.

### Godulské souvrství

**P e s t r é v r s t v y .** — Rudohnědé a zelené jílovice těchto vrstev obsahují z klastické příměsi křemen (40–46 %), množství živců kolísá od 5 do 15 % s průměrem 7–8 %. Z jílových minerálů dominují stále slídové minerály (27–37 %), v několika procentech (max. 10 %) se většinou vyskytují minerály skupiny montmorillonitu, ojediněle i minerály se smíšenými I-M strukturami. Pravidelně je přítomen chlorit (převážně stopy), méně častý je v akcesorickém množství (několik málo procent) kaolinit. Karbonátové minerály, především kalcit jsou přítomny sporadicky v malých množstvích (do 6 %). Pyrit je ve většině jílovců ve stopách, vzácně až 2 %. V několika vzorcích rudohnědých jílovců byl zjištěn hematit. U pěti vzorků jílovců byla stanovena těžká minerální frakce. Z analýz vyplývá převaha průhledných minerálů (od 50 do 84 %), ve kterých převládají granáty, nebo granáty a zirkon jsou ve zhruba stejném množství. Rutil představuje 7 až 19 % průhledných minerálů, několika procenty je přítomen turmalín, jako akcesorie apatit, pyroxen, Ti-minerály, ojediněle distén, staurolit a glaukonit. Opakní minerály jsou zastoupeny Fe-oxidy (limonit, hematit), pyritem, ilmenitem a ojediněle magnetitem.

Světle šedé, středně až hrubě zrnité glaukonitické pískovce — tzv. ostravické, mají ve složení těžké minerální frakce převahu průhledných minerálů, v nichž

jednoznačně dominuje zirkon, dále rutil, turmalín, granát a apatit. Akcesoricky jsou přítomny pyroxeny, Ti-minerály a glaukonit, z opakních minerálů Fe-oxid (limonit) a různé přeměny minerálů.

Studované sedimenty byly odebrány z výchozů Mazák, Komorní Lhotka, Vyšní Lhoty, Šance, Ráztoka, Na Bystrém, Zubří - Pindula, Ondřejník, Staré Zubří, Kopytná, s. svah Radhoště (31 vzorků jílovců) a 3 pískovce z lokality Mazák a Šance.

**S p o d n í o d d í l .** — Sedé a zelenošedé proměnlivé písčité jílovice vykazují kolísavé obsahy krémene (16—27 %), množství živců je stále zvýšené v průměru 8—10 % s max. 12 %. Převládající komponentou jsou slídové minerály (35—55 %, max. 66 %) průběžně doprovázené chloritem (několik %) a stopovým až malým množstvím minerálů skupiny montmorillonitu. Výjimečná je přítomnost minerálů se smíšenými I-M strukturami a většinou stopových množství (max. 8 %) kaolinitu. Pyrit a organická substancia se nachází v akcesorických koncentracích, stejně jako kalcit, dolomit a siderit.

Těžká minerální frakce modrošedých, zelenavě modrošedých a zelenošedých, jemnozrnných, místy prachovitých pískovců se skládá z 66 až 91 % průhledných minerálů. Ze tří studovaných vzorků mají dva převahu zirkonu nad granátem, zejména pískovec z lomu Vyšní Lhoty. V pískovci z potoka u Starého Zubří mají převahu granáty. Z dalších minerálů je hojně zastoupen rutil, akcesoricky až několika procenty turmalín, převážně ve stopových množstvích pyroxeny, apatit, Ti-minerály (anatas) a glaukonit. Z opakních minerálů je přítomen pyrit, oxidy Fe (limonit), nejrůznější přeměny minerálů.

Jílovec z lokality Ráztoka má převahu opakních minerálů (60 %) — hlavně hematit, limonit, vzácněji magnetit. Z průhledných minerálů převládá zirkon, rutil, akcesoricky je přítomen leukoxen, turmalín, staurolit, apatit a biotit.

Jílovice jsou studovány na lokalitách Ostravice, Ráztoka, Vyšní Lhoty, Čejadná, Jablunkov, Morávka, Staré Zubří, Nytrová, Radhošť, Řeka (potok a jeho pramená větev) — celkem 27 vzorků a na vrtech Krásná-1, Staré Hamry-1a (20 vzorků), pískovce na výchozech Ráztoka, Staré Zubří, Morávka, Ostravice, Vyšní Lhoty (5 vzorků) a z vrchu Staré Hamry-1a (4 vzorky).

**S t r e d n í o d d í l .** — Jílovice těchto vrstev představují podřadnou součást středně až hrubě rytmického písčitého flyše. Obsahují 20 až 33 % krémene doprovázeného výrazným podílem živců v průměru kolem 13 %. Slídové minerály (35—45 %) v doprovodu menšího množství chloritu (do 8 %) jsou ve výrazné převaze nad akcesorickým množstvím sporadicky se vyskytujících minerálů skupiny montmorillonitu a kaolinitu. Z dalších akcesorií bývá přítomen glaukonit (Eliáš 1970), anatas a biotit. Podobně pyrit a organická hmota se vyskytuje pouze ve stopových množstvích.

Na složení těžkých minerálů šedých, zelenošedých až šedoželených, jemně

a středně zrnitých glaukonických pískovců se podílejí průhledné minerály 75 %. Opakní minerály (25 %) jsou reprezentovány různými přeměnami (Ti-minerály), Fe-oxidy (limonit, hematit), pyritem a akcesoricky ilmenitem. Z průhledných minerálů zcela jednoznačně převládá zirkon a rutil, dále turmalín, granát, v malém množství apatit, Ti-minerály a akcesoricky glaukonit, chlorit a pyroxeny.

Ke studiu byly pelity odebrány z lokalit Čeladná, Ondřejník, Horní Lomná a lomu Řeka (6 vzorků) a z vrtů Krásná-1, Staré Hamry-1a (5 vzorků). Pískovce z lokalit Šance, Ráztoka, Čeladná, Nýdek, Morávka, Ondřejník, Řečice, Horní Lomná (9 vzorků) a z vrtu Staré Hamry-1a (6 vzorků).

S v r e h n í o d d i l . — V sedých a šedozeLENÝCH proměnlivě písčitých, jemně slídnatých jílovcích těchto vrstev kolisá podíl křemene od 20 do 28 % a ve významných obsazích (10–11 % s max. 15 %) byly nalezeny živce. Z jílových minerálů jsou téměř výhradně přítomny slídové minerály (32–45 %) v doprovodu chloritů (3–9 %). Zcela sporadické jsou minerály skupiny montmorillonitu, minerály se smíšenými I-M strukturami a kaolinit (s max. 7 %). Ve většině vzorků byla nalezena organická substance, akcesoricky pyrit, z karbonátů v malém množství kalcit (do 2–3 %) a dolomit. Sedé až modravě šedé, jemně a středně zrnité pískovce, místy slabě vápnité, obsahují v těžké minerální frakci 44–81 % průhledných minerálů. Z opakních minerálů se jedná zejména o pyrit, řadu přeměněných neprůhledných minerálů a Fe-oxidy. Kvantitativní zastoupení průhledných minerálů ve 4 studovaných vzorcích se liší. Ve vzorcích z údolí Morávky a Čeladné převládá zirkon nad granátem, dále je přítomen rutil, turmalín, Ti-minerály a akcesoricky apatit, glaukonit a chlorit. V pískovci z lomu Kněhyně je množství zirkonu a granátu téměř stejně.

Popsané soubory těžkých minerálů z celého godulského souvrství odpovídají asociačním stanoveným P e s l o v o u (in M e n č í k et al. 1983) při regionálním zpracování tohoto souvrství.

Pelitické sedimenty byly odebrány na lokalitách Šance, Staré Hamry, Jablunkov, Čeladná, Morávka, Sulov, Řečice, Ostravice, Kněhyně, Horní a Dolní Lomňanka, Horní Lomná (26 vzorků) a z vrtu Staré Hamry-1a (5 vzorků), pískovce na lokalitách Čeladná, Stonávka, Řečice - Šance, Ostravice, Kněhyně, Prostřední Kněhyně a Dolní Lomná (7 vzorků) a z vrtu Staré Hamry-1a (8 vzorků).

### Istebňanské vrstvy

Na složení tmavě šedých až černošedých jílovců se v klastické příměsi podílí 25 až 37 % (nejčastěji 28–32 %) křemen a živce (v průměru 7–8 % s max. 11 %). Obsahy slídových minerálů, které jednoznačně převažují v jílové složce,

dosahují 35—40 % (s max. 47 %), jsou stabilně doprovázeny malým množstvím kaolinitu (do 3 %) a chloritu (stopy až 5 %). V akcesorickém množství jsou přítomny minerály skupiny montmorillonitu, ojediněle minerály se smíšenými I-M strukturami. V nevápnitých jílovcích převládá v karbonátovém podílu siderit (stopy až 3 %), bývá přítomen i dolomit a lokálně stopové množství kalcitu. Jílovice vykazují zvýšený obsah organické hmoty (max. 9,3 % C<sub>org</sub> v jílovcích s hojným rostlinným detritem) a pyritu (od 1 do max. 8 %). Středně až hrubě zrnité světle šedé pískovce a slepencové pískovce obsahují v těžké minerální frakci 59—84 % průhledných minerálů. Z opakních minerálů se jedná o nejrůznější přeměny (Ti-minerály), Fe-oxidy (limonit) a pyrit. Z průhledných minerálů výrazně převládá zirkon (viz též Peslová *et al.* 1983), v menších množstvích rutil, turmalín, apatit, granáty, Ti-minerály, pyroxeny, chlorit a akcesoricky glaukonit. Tato minerální asociace ukazuje na převahu magmatických hornin ve zdrojové oblasti.

Studované sedimenty pocházejí z lokalit Bílá Ostravice, Horní a Dolní Bečva, Rožnovská Bečva, Horní Lomňanka, Mosty u Jablunkova, Mečůvka, Košařiska, Predmier a Prašivá, Bílá, Bílý Kříž - Sulov, Visalaje, Staré Hamry — celkem 19 jílovců a 14 pískovců.

### Podmenilitové souvrství

**R e d u k č n í v ý v o j** (redukční paleocén). — Tento vývoj je charakterizován facií černošedých (tmavošedých) jílovců, na jejichž složení se podílí 16—28 % křemen (v průměru 25 %) v doprovodu 3—7 % živečů. V jílové složce převládají slídové minerály (30—40 % s max. 45 %), kaolinit je méně hojný (jen výjimečně dosahuje 18—23 %). Téměř ve všech jílovcích jsou přítomny minerály skupiny montmorillonitu (od stop do 10 %), zcela ojediněle minerály se smíšenými I-M strukturami. Chlorit byl identifikován asi u poloviny vzorků pouze ve stopách. V karbonátovém podílu, který je velmi nízký, převládá siderit (až 2—4 %). Obsahy S odpovídají hojnějšímu výskytu pyritu (až do 3 %); také koncentrace organické hmoty je zvýšená. Z těžkých průhledných minerálů byly v jílovcích z Horní Bečvy stanoveny granáty, zirkon a tmavá slída, z opakních akcesorický limonit a koncentrát pyritu.

Odběry vzorků byly provedeny na lokalitách Bílá Ostravice, Horní Bečva, Hrachovec, Hrádek n. Olší, Milíkov, Olešná, celkem 25 vzorků a z vrta Jablunkov-1 (1 vzorek).

**P e s t r ý v ý v o j.** — Zelenošedé, šedozelené a rudohnědé jílovice tohoto vývoje obsahují křemen mezi 20 až 30 %, nejčastěji 23—25 % a značně variabilní množství živečů (od několika procent do 13 %). Slídové minerály s obsahy 30—37 % jsou stabilně doprovázeny kaolinitem (6—18 %). Sporadicky jsou

v několika procentech přítomny minerály skupiny montmorillonitu a minerály se smíšenými I-M strukturami. Chlorit se vyskytuje ve stopách až 4 % téměř ve všech vzorcích, zejména v zelených a šedozelených jílovcích. V rudohnědých jílovcích byl nalezen v množství kolem 1 % hematit. Obsah karbonátů v těchto jílovcích je obecně velmi nízký, směrem do nadloží je patrný stoupající trend. Vedle kalcitu je místy přítomen dolomit, ojediněle též siderit. Ve většině vzorků, zejména zelenošedých a šedozelených jílovců je přítomen pyrit.

Pelity těchto vrstev byly odebrány na lokalitách Jablunkov, Písek (u Jablunkova), Šance, Prostřední Ostravice, Horní Bečva, Hrádek n. Olší, Hrachovec, Bocanovice, Kopytná, Hlavice - Klokočov, celkem 31 vzorků a z vrtů Rusa-va-3, 4 (3 vzorky).

### Podrohovcové vrstvy

Jsou zastoupeny dvěma vzorky z lokality Loučka u Valašského Meziříčí. Tmavě hnědošedý tabulkovitý slínivec obsahuje kolem 55 % kalcitu, 20–25 % křemene, z jílových minerálů kaolinit, v menším množství silicové minerály a kolem 1,5 % pyritu. Pod polohou slínovců byl odebrán tmavě šedý silicifikovaný břidličnatý jíovec. Na jeho složení se vedle křemene (60 %) podílí v malém množství cristobalit (~ 1 %), živce prakticky chybí. Jílové minerály jsou zastoupeny hlavně kaolinitem (23 %) a minerály skupiny montmorillonitu, silicové minerály jsou přítomny ve velmi nízkých až stopových obsazích. Vedle kalcitu (12 %) byl v malém množství zjištěn též siderit a sádrovec; obsah pyritu se pohybuje kolem 1 %.

### Menilitové souvrství

U šedohnědých nebo čokoládově hnědých jílovců proměnlivé silicifikace se uplatňuje síranové zvětrávání a tvorba sekundárního jarositu a sádrovce. Obsahy křemene se v jílovcích pohybují od 20 do 63 % (v průměru 23–28 %) podle intenzity silicifikace. Na silicifikaci jílovců se podílí také SiO<sub>2</sub> v amorfní formě. V některých vzorcích je ve stopách až několika procentech přítomen cristobalit. Živce buď chybějí, nebo jsou zastoupeny v obsazích od stop do několika málo procent. Silicové minerály jsou přítomny v rozsahu od 10 do 31 %, u silicifikovaných jílovců nejčastěji v množství 23–28 % a jsou doprovázeny kolísavým podílem kaolinitu (od stop do 10 % s max. 28 %). Minerály skupiny montmorillonitu jsou zastoupeny v množství do 15 %. Ve většině jílovců (~ 70 %) byl převážně ve stopovém množství nalezen chlorit. Přítomnost karbonátových minerálů je velmi nerovnoměrná. Lokálně se vyskytuje dolomit a siderit, množství kalcitu kolísá od stop do max. 26 %. V menilitových jílovcích je typický

stabilně vyšší obsah pyritu (do 5 %), který odpovídá zvýšeným obsahům síry.

Slínovce menilitového souvrství mají vedle kalcitu, který představuje 46–51 %, přítomen křemen (30–33 %), slídové minerály (13–15 %), chlorit ( $\sim$  1 %), v několika procentech minerály skupiny montmorillonitu a ve stopovém množství kaolinit.

Z menilitového souvrství na lokalitě Loučka u Valašského Meziříčí byl odebrán vzorek z tufitické vložky. V minerálním složení je nejvíce zastoupen chloritový minerál (33 %), z jílových minerálů kaolinit (22 %) a minerály skupiny montmorillonitu ( $\sim$  17 %). Křemen je přítomen v množství 12 %, kalcit 9 % a dolomit kolem 3 %. Ve stopovém množství byl zjištěn albit a pyrit.

Sedimenty menilitového souvrství byly studovány na lokalitách Jablunkov, Písek (u Jablunkova), Šanec, Rožnov p. Radhoštěm, Vitališov, Bocanovice, Loučka (celkem 30 vzorků) a z vrtu TV-7 — Štramberk a Rusava-4 (5 vzorků).

### Krosněnské vrstvy

Šedé, proměnlivě písčité vápnité jílovice jsou z hlediska minerálního složení (rentgenografické analýzy) charakterizovány obsahy křemene od 25 do 30 %, vyšším množstvím živeců v rozsahu až 15 %. Spolu se slídovými minerály v množství od 22 do 35 % je vždy přítomen chlorit (do 9 %). Kaolinit se vyskytuje sporadicky jen v několika málo procentech, minerály skupiny montmorillonitu nebyly nalezeny; v karbonátovém podílu dominuje kalcit (od několika procent s max. 30 %), hojný, ale nepravidelně zastoupený je dolomit (od stop do 16 %). Siderit bývá přítomen jen ve stopách. Ve většině vzorků se vyskytuje pyrit (stopky až 1 %). Organická hmota se nachází zpravidla v nízkých koncentracích.

Krosněnské vrstvy, které se vyvíjejí z menilitového souvrství, obsahují ve své bazální části ještě vložky jílovců menilitového typu (menilit — krosněnské jílovice), jejichž celkový charakter odpovídá vlastnímu menilitovému souvrství (vysoké obsahy pyritu — až 5 % a organické hmoty). Na rozdíl od jílovců krosněnských vrstev, mají tyto jílovice podstatně vyšší zastoupení kaolinitu v jílové frakci, zatímco slídové minerály jsou přítomny v menším množství. Chlorit se vyskytuje ve stopovém množství. Karbonátové minerály — kalcit a dolomit — jsou přítomny v proměnlivém množství (od stop do 20 %).

Ve vzorku vápnitého jílovice z lokality Prostřední Ostravice a šedých, modrošedých jemnozrnných vápnitých jemně slídnatých pískovců z lokalit Prostřední Ostravice, Šanec a Jablunkovská brázda byla stanovena těžká minerální frakce. V jílovcu převládají opakní minerály (80 %), které jsou reprezentovány hlavně pyritem, jeho přeměnami a Fe-oxidy. Z průhledných minerálů jsou zastoupeny nejvíce granáty, dále zirkon, apatit, rutil, turmalín, baryt a pyroxeny.

V pískovcích jsou opakně minerály (34—75 %) zastoupeny hlavně pyritem, limonitizovanými zrny a různými přeměnami. Pískovec z lokality Šance má nejhojněji zastoupen zirkon, dále apatit, rutil, granáty, turmalín a baryt. Pískovec z Jablunkovské brázdy je charakterizován zcela jednoznačnou převahou granátu, zhruba stejně jsou zastoupeny rutil, zirkon a baryt, dále pak chlorit, Ti-minerály, turmalín, apatit, biotit a akcesorický zoisit. Pískovce z lokality Prostřední Ostravice mají v proměnlivém množství zastoupen apatit, distén, baryt, granáty, zirkon, dále turmalín, rutil a chlorit. Podle Pešlové (in Menéik et al. 1983) lze charakterizovat pískovce krosněnských vrstev především vybranými soubory granátické subfacie těžkých minerálů.

Pelitické sedimenty těchto vrstev byly odebrány na lokalitách Jablunkov, Písek (u Jablunkova), Mosty u Jablunkova, potok Líska u Jablunkova, Šance, Návsí, Milíkov, Hrádek n. Olší, Prostřední Ostravice — 27 vzorků, pískovce na lokalitách Jablunkov, Písek (u Jablunkova), Šance, Návsí, potok Olše, Prostřední Ostravice — celkem 11 vzorků.

## Geochemická charakteristika

### Studium hlavních prvků

Při studiu zastoupení oxidů hlavních prvků ve flyšových, zejména pelitických sedimentech slezské jednotky, byly vedle průměrných obsahů sledovány i změny koncentrací oxidů těchto prvků v jednotlivých vrstvách a souvrstvích a změny poměru vybraných vzorků. Průměrné obsahy oxidů hlavních prvků v souvrstvích a vrstvách slezské jednotky jsou uvedeny v tabulce 1 a 2.

Nejvyšší obsahy  $\text{SiO}_2$  jsou v pelitech slezské jednotky vázány v godulském souvrství, zejména ve spodním oddílu a pestrých vrstvách, ve lhoteckých vrstvách a zvláště pak ve vrstvách veřovických, v nichž průměrný obsah  $\sim 70\%$   $\text{SiO}_2$  je odrazem silicifikace jílovců. Nejnižší obsahy jsou ve vápnitých jílovcích krosněnských vrstev a svrchních těšínských vrstev. V celém stratigrafickém profilu slezskou jednotkou se projevuje výrazná závislost obsahů  $\text{SiO}_2$  na podílu karbonátů (např. menilitové a těšínsko-hradišťské souvrství — viz tab. 1). Ve srovnání s průměrným chemickým složením jílovců podle Shaw (1956 — 60.76 %  $\text{SiO}_2$ ) a Ronova et al. (1965 — 56,19 %  $\text{SiO}_2$ ) mají obsahy  $\text{SiO}_2$  v pelitech slezské jednotky velmi variabilní charakter. Stejný obrázek z hlediska koncentrace  $\text{SiO}_2$  vidíme ve smyslu stratigrafickém i u pískovců (tab. 2).

Obsahy  $\text{Al}_2\text{O}_3$  ukazují od těšínsko-hradišťského souvrství směrem do nadloží trend postupného vzrůstu s maximem ve středním oddílu godulského souvrství a s druhým maximem v podmenilitovém souvrství s následujícím poklesem dále do nadloží (tab. 1). V menilitovém a těšínsko-hradišťském souvrství kolísají obsahy  $\text{Al}_2\text{O}_3$  podle podílu karbonátů a z části též  $\text{SiO}_2$  (silicifikace).

Tabulka 1

Průměrné obsahy ( $\bar{x}$ ) a koncentrační rozmezí (min.–max.) oxidů

stratigrafická pozice a litologie	počet vzorků	SiO <sub>2</sub> % min.–max. $\bar{x}$	Al <sub>2</sub> O <sub>3</sub> min.–max. $\bar{x}$	Fe <sub>2</sub> O <sub>3</sub> min.–max. $\bar{x}$	FeO min.–max. $\bar{x}$	oxidů Σ Fe min.–max. $\bar{x}$
krošněnské vrstvy — jílovce	10	41,5–50,26 45,0	11,1–17,17 12,9	0,73–2,91 1,5	1,81–3,7 3,0	3,74–6,3 4,9
menilit — krošněnské vrstvy — jílovce	2	47,3–62,8	13,0–16,07	3,3–4,25	1,0–0,88	4,33–5,2
menilitové souvrství	slínovec	1	34,10	5,32	1,89	0,16
	rohovec	1	80,22	4,03	2,17	0,35
	jílovce (silicifikované)	12	40,6–72,7 55,1	8,2–19,83 13,4	1,32–4,6 1,9	1,34–5,9 2,8
podrohovcové vrstvy — slínovec	1	21,05	7,64	1,99	0,62	2,7
podmenilitové souvrství	pestré vrstvy — jílovce	15	51,1–61,94 54,3	17,1–23,5 19,4	2,0–6,94 3,7	0,66–5,0 2,6
	redukční paleogén — jílovce	10	51,9–57,8 55,2	17,7–20,8 19,2	0,92–4,4 2,7	3,7–5,97 3,8
istebňanské vrstvy — jílovce	6	54,9–63,4 57,0	17,2–21,8 17,2	1,1–3,09 2,3	0,8–4,79 3,4	4,1–7,8 6,9
godulské souvrství	svrchní oddíl — jílovce	8	57,7–84,6 60,7	15,4–20,52 18,5	2,65–3,6 3,1	1,2–2,6 2,0
	střední oddíl — jílovce	4	53,6–84,7 58,0	16,5–22,17 20,0	3,28–4,6 3,7	1,8–3,66 2,3
	spodní oddíl — jílovce	8	54,78–65,5 61,5	16,24–22,3 17,8	2,15–4,5 3,5	1,47–3,2 2,1
	pestré vrstvy — jílovce	17	61,13–71,6 65,5	9,8–18,07 15,1	1,7–6,3 4,3	0,77–2,16 1,4
lhotecké vrstvy — jílovce	20	57,2–69,28 66,0	8,53–16,2 13,1	0,77–3,0 1,9	0,75–3,9 1,94	2,6–4,58 4,1
veřovické vrstvy — silicifikované jílovce	17	63,5–77,5 70,4	9,7–15,8 12,7	1,46–3,2 2,0	0,99–3,36 2,6	2,76–5,8 4,9

Tabulka 1

hlavních prvků (v %) v horninách slezské jednotky (výchozy)

MnO min.-max.	MgO min.-max.	CaO min.-max.	Na <sub>2</sub> O min.-max.	K <sub>2</sub> O min.-max.	CO <sub>2</sub> min.-max.	P <sub>2</sub> O <sub>5</sub> min.-max.	H <sub>2</sub> O+ min.-max.	H <sub>2</sub> O- min.-max.
$\bar{x}$	$\bar{x}$	$\bar{x}$	$\bar{x}$	$\bar{x}$	$\bar{x}$	$\bar{x}$		
00,6–0,1 0,07	1,83–7,2 4,0	3,29–15,25 10,9	0,52–1,13 0,8	1,82–3,15 2,5	2,33–14,4 10,1	0,11–0,23 0,15	3,82–5,5	0,55–2,23
0,03–0,06	1,41–3,0	0,75–12,5	0,62–0,65	2,07–2,47	0,2–10,75	0,12–0,18	3,41–3,75	1,68–2,11
0,174	0,68	26,61	0,02	0,70	21,98	0,46	6,28	1,36
0,025	0,53	0,81	0,10	0,65	0,15	0,49	11,42	0,74
0,01–0,1 0,04	0,95–1,91 1,4	0,29–14,76 4,1	0,1–0,68 0,5	1,46–3,2 2,3	0,23–12,74 3,12	0,12–0,54 0,28	4,24–12,07	1,06–2,82
0,055	0,70	30,03	0,04	1,03	24,33	0,18	6,00	0,76
0,01–0,24 0,06	1,2–2,39 1,8	0,19–17,95 1,2+	0,28–0,85 0,5	1,94–3,81 2,7	0,07–13,73 1,02+	0,07–0,19 0,12	4,21–7,2	1,77–3,09
0,02–0,09 0,05	1,47–2,9 2,3	0,34–1,3 0,7	0,5–1,04 0,8	2,55–3,6 3,1	0,09–0,87 0,4	0,1–0,21 0,15	5,11–7,15	1,5–3,05
0,01–0,04 0,02	0,67–1,7 1,4	0,09–0,85 0,4	0,5–1,08 0,7	2,9–5,48 4,1	0,09–1,07 0,48	0,11–0,43 0,20	5,6–7,86	0,88–1,97
0,01–0,026 0,02	1,6–2,4 2,0	0,51–1,41 0,6	0,77–1,1 0,9	3,4–5,3 4,4	0,08–0,69 0,34	0,07–0,18 0,12	4,62–5,9	1,02–1,6
0,024–0,08 0,03	2,0–2,71 2,4	0,26–0,56 0,4	0,84–1,07 1,0	4,43–5,88 5,4	0,07–0,33 0,17	0,1–0,19 0,14	4,2–4,9	1,2–1,65
0,01–0,04 0,025	1,7–2,34 2,1	0,33–1,18 0,6	0,54–1,18 0,9	3,04–5,8 4,3	0,05–0,7 0,2	0,09–0,87 0,13+	3,3–5,08	0,89–1,9
0,01–0,15 0,035	1,42–2,38 1,8	0,11–6,33 0,68+	0,23–1,05 0,6	1,9–4,29 3,4	0,03–0,99 0,2	0,06–0,67 0,20	2,3–5,0	1,27–2,3
0,03–0,24 0,09	0,94–2,88 1,7	0,3–7,52 2,3	0,18–0,53 0,4	1,4–2,81 2,1	0,04–5,68 2,1	0,07–1,1 0,13	2,78–5,3	1,12–2,76
0,01–0,09 0,03	0,84–1,96 1,4	0,12–2,94 0,7	0,16–0,66 0,4	1,44–2,52 2,0	< 0,005–1,67 0,4	0,04–0,14 0,10	3,43–6,05	1,24–2,05

Tabuľka 1 (pokračovanie)

stratigrafická pozice a litologie		počet vzorků	SiO <sub>2</sub> % min.—max.	Al <sub>2</sub> O <sub>3</sub> min.—max.	Fe <sub>2</sub> O <sub>3</sub> min.—max.	FeO min.—max.	oxidu $\Sigma$ Fe min.—max.
			$\bar{x}$	$\bar{x}$	$\bar{x}$	$\bar{x}$	$\bar{x}$
těšínsko-hradištské souvrství	hradištské vrstvy — jílovce	12	40,01—62,9 52,7	7,2—18,7 13,3	1,2—4,7 2,3	0,75—2,6 1,8	3,2—5,35 4,3
	svrchní těšínské vrstvy — vápnité jílovce	5	47,49—51,51 48,9	12,7—18,5 14,7	1,53—3,4 2,2	1,35—2,1 1,8	3,0—5,23 4,2
těšínské vápence		3	12,67—26,3 20,8	1,5—6,32 3,6	0,18—0,31 0,3	0,45—1,8 1,1	0,76—2,17 1,5
spodní těšínské vrstvy — vápnité jílovce		5	25,0—38,1 31,1	6,9—11,25 8,3	1,04—2,16 1,3	0,97—2,7 1,6	2,22—4,0 3,4

Tabuľka 2

Průměrné obsahy (m) a koncentrační rozmezí (min.—max.) oxidů

stratigrafická pozice a litologie		počet vzorků	SiO <sub>2</sub> % min.—max. m	Al <sub>2</sub> O <sub>3</sub>	Fe <sub>2</sub> O <sub>3</sub>	FeO	Σ oxidů Fe
krošňanské vrstvy — pískovce		4	49,36—51,48 50,0	6,37—9,34 7,9	0,45—1,26 0,8	1,51—2,6 2,1	2,37—3,27 3,1
istebňanské vrstvy — pískovce		6	67,5—90,53 83,3	3,1—5,98 5,4	0,06—0,49 0,31	0,58—1,04 0,8	0,79—1,98 1,3
godulské souvrství	svrchní oddíl — pískovce	4	74,13—80,98 76,5	5,42—7,37 6,5	0,73—0,94 0,9	1,51—1,68 1,6	2,39—2,58 2,5
	střední oddíl — pískovce	5	78,42—85,15 79,9	5,28—6,43 7,7	0,73—2,0 1,23	1,4—2,52 1,8	2,13—3,68 3,2
	spodní oddíl — pískovce	3	80,31—89,77 83,0	2,9—8,04 6,7	0,88—1,7 1,1	0,72—2,4 1,1	1,8—3,33 2,3
	pestré godulské vrstvy — pískovce	1	82,28	2,15	0,05	0,52	0,6
těšínsko-hradištské souvrství	hradištské vrstvy — pískovce	5	49,9—89,19 68,5	1,21—6,08 3,9	0,56—1,8 1,3	0,79—2,16 1,2	1,67—3,8 2,5
	těšínské vrstvy — silně vápnité pískovce	2	42,8—47,67	2,77—4,0	0,59—0,96	1,42—1,44	2,2—2,6

Tabulka 1

MnO min.-max.	MgO min.-max.	CaO min.-max.	Na <sub>2</sub> O min.-max.	K <sub>2</sub> O min.-max.	CO <sub>2</sub> min.-max.	P <sub>2</sub> O <sub>5</sub> min.-max.	H <sub>2</sub> O+ min.-max.	H <sub>2</sub> O- min.-max.
$\bar{x}$	$\bar{x}$	$\bar{x}$	$\bar{x}$	$\bar{x}$	$\bar{x}$	$\bar{x}$		
0,01–0,11 0,06	0,87–2,1 1,4	1,44–22,4 11,0	0,18–0,57 0,4	0,97–2,75 2,0	1,4–18,39 8,0	0,05–0,24 0,13	3,02–7,16	0,98–2,5
0,01–0,1 0,05	1,3–2,0 1,7	6,98–13,48 10,8	0,3–0,63 0,5	1,96–2,59 2,2	5,04–10,12 8,1	0,15–0,38 0,24	3,36–6,75	1,51–2,4
0,06–0,11 0,08	0,70–1,44 1,0	32,46–45,47 38,7	0,16–0,33 0,2	0,32–1,08 0,6	26,03–36,27 31,0	0,11–0,16 0,14	0,34–1,8	0,25–0,55
0,01–0,04 0,026	1,0–2,53 1,5	19,11–32,9 25,2	0,35–0,73 0,6	1,08–2,41 1,5	15,93–25,7 20,3	0,46–0,89 0,67	1,42–2,66	0,49–1,26

Tabulka 2

hlavních prvků v horninách slezské jednotky (pískovce — výchozy)

MnO	MgO	CaO	Na <sub>2</sub> O	K <sub>2</sub> O	CO <sub>2</sub>	P <sub>2</sub> O <sub>5</sub>	H <sub>2</sub> O+	H <sub>2</sub> O-
0,046–0,1 0,06	3,98–4,51 4,3	12,26–16,09 14,7	0,92–1,43 1,2	0,9–1,48 1,2	14,01–16,9 15,7	0,11–0,18 0,15	0,65–0,82	0,11–0,33
0,006–0,23 0,01	0,23–3,8 0,5+	0,07–9,78 0,4+	0,33–0,67 0,5	1,05–2,4 1,4	0,09–10,8 0,3+	0,02–0,05 0,04	0,98–1,97	0,03–0,37
0,027–0,08 0,04	0,61–0,89 0,8	2,52–7,34 5,4	1,06–1,49 1,2	0,59–1,73 1,1	2,58–5,91 4,1	0,09–0,15 0,12	0,49–0,79	0,11–0,33
0,01–0,03 0,02	0,63–1,07 0,9	0,47–3,5 1,3	1,07–1,33 1,2	1,18–2,45 2,1	0,53–2,57 0,9	0,11–0,35 0,14	1,28–2,03	0,09–0,42
0,01–0,02 0,02	0,40–1,11 0,8	0,77–1,34 1,0	0,44–1,1 0,6	0,73–2,09 1,8	0,06–0,78	0,1–0,44 0,18	1,04–2,04	0,17–0,43
0,01	0,26	7,48	0,3	0,66	5,75	0,16	0,34	0,18
0,40–0,15 0,07	0,37–1,7 1,0	3,16–15,27 9,9	0,2–0,69 0,4	0,13–0,85 0,4	2,18–12,91 8,8	0,04–0,14 0,135	0,09–1,75	0,04–0,38
0,05	0,68–0,75	23,4–27,3	0,12–0,39	0,31–0,61	18,5–19,88	0,09–0,26	0,85–0,89	0,29–0,67

Obsahy  $\text{Al}_2\text{O}_3$  v pískovcích krovněnských vrstev a svrchního až spodního oddílu godulského souvrství jsou velmi blízké, směrem do podloží (pestré godulské vrstvy až svrchní těšínské vrstvy) jsou koncentrace  $\text{Al}_2\text{O}_3$  podstatně nižší (snížené obsahy živečů).

Z poměru  $\text{SiO}_2/\text{Al}_2\text{O}_3$ , který podle Kučala (1962) indikuje při hodnotě nad 3 podíl klastického krémene, event. jiných forem  $\text{SiO}_2$  nad 25 %, vyplývá, že zvýšené obsahy klastického krémene jsou vázány na spodní část godulského souvrství, lhotecké vrstvy a těšínské vápence, v menilitovém souvrství a veřovických vrstvách jsou zvýšené hodnoty tohoto poměru projevem silicifikace těchto sedimentů. Nejnižší obsahy klastického krémene (nejnižší hodnoty poměru) jsou přítomny v jílových podmenilitovém souvrství.

Vedle klastického krémene byl v horninách menilitového souvrství a v podrohovcových vrstvách zjištěn cristobalit ve stopovém množství až několika málo procentech. Přítomnost  $\text{SiO}_2$  ve formě cristobalitu, který podle Gucwy (1966, Gucwa - Ślączka 1972) vzniká v době rozpadu kyselých vulkanických skel, vytváří dobré podmínky pro rozvoj křemičitých organismů. Vedle těchto dvou forem  $\text{SiO}_2$  není vyloučena přítomnost ještě amorfni formy  $\text{SiO}_2$  — opál nebo chalcedon.

Poměr  $\text{Al}_2\text{O}_3/\text{Na}_2\text{O}$ , který podle Pettijohna (1957) vyjadřuje stupeň chemické zralosti pelitických sedimentů (u chemicky nejrůznejších může dosáhnout hodnoty 125), ukazuje na celkově nízkou zralost hornin slezské jednotky. Relativně nejrůznejší jsou horniny menilitového souvrství, podrohovcových vrstev a podmenilitových vrstev. O něco nižší chemickou zralost mají jílovce veřovických a lhoteckých vrstev. Prakticky nezralé jsou jílovce krovněnských vrstev a godulského souvrství.

Nejvyšší koncentrace železa jsou vázány na podmenilitové souvrství. Celkový trend je vzrůst množství železa od podloží do nadloží s maximem v podmenilitovém souvrství a pak jeho obsah opět klesá. Z tabulky 1 je patrná zřetelná převaha  $\text{Fe}_2\text{O}_3$  nad  $\text{FeO}$  v jílových pestrých vrstvách godulského souvrství a pestrých jílových podmenilitových vrstev. Převaha  $\text{FeO}$  ukazuje na výrazně redukční charakter sedimentačního prostředí spodní těšínských vrstev, veřovických a lhoteckých vrstev, redukčního paleocénu, menilitových a krovněnských jílovů. Železo je v těchto sedimentech vázáno na pyrit a produkty jeho rozpadu v procesu zvětrávání ( $\text{Fe}$ -oxid, v menilitovém souvrství též jarosit). Vazba na jílové minerály, především chlorit a montmorillonit je pravděpodobně diadochická. Z poměru  $\text{FeO} + \text{Fe}_2\text{O}_3/\text{Al}_2\text{O}_3$  a  $\text{Fe}_2\text{O}_3/\text{Al}_2\text{O}_3$ , z obsahů  $\text{CO}_2$  a z mineralogického složení vyplývá, že část železa ve spodní části těšínsko-hradišťského souvrství, ve veřovických, istebňanských a redukčních jílových je vázána v karbonátové formě, v pestrých godulských vrstvách na  $\text{Fe}$ -oxid (hematit, limonit), v podrohovcových vrstvách a menilitovém souvrství na pyrit,  $\text{Fe}$ -oxid (hlavně limonit) a jarosit. Průměrné sumě obsahů oxidů  $\text{Fe}^{\text{II}}$  a  $\text{Fe}^{\text{III}}$ , které udává Shaw (1956) — 6,38 %, se bliží obsahy v podmenilitovém souvrství.

Nejvyšší obsahy železa byly nalezeny v krovněnských a godulských pískovcích, nejnižší v istebňanských pískovcích a pískovci z pestřých godulských vrstev. Ve všech pískovcích (z vrtů i z výchozů) převládá  $\text{FeO}$  nad  $\text{Fe}_2\text{O}_3$ .

Mangan byl zjištěn v nejvyšší koncentraci ve slínovci menilitového souvrství (0,174 %  $\text{MnO}$ ), dále v lhoteckých vrstvách a těšínských vápencích, minimální množství  $\text{MnO}$  je přítomno v godulském souvrství, istebňanských vrstvách, veřovických a spodních těšínských vrstvách (ve vzorech z vrtů mají veřovické jílovce podstatně vyšší obsah  $\text{MnO}$  — 0,076 %). Na rozdíl od železa jsou obsahy mangani ve vzorech z výchozů v důsledku zvětrávacích procesů nižší než ve vzorech z vrtů. Vzhledem k průměrným obsahům, uváděným Ronovem et al. (1965) — 0,06 %  $\text{MnO}$ , jsou manganem výrazně chudší istebňanské, godulské a spodnotěšínské jílovce. Podobný trend koncentrace mangani z hlediska stratigrafie vykazují i pískovce slezské jednotky (tab. 2).

Koncentrace  $\text{Na}_2\text{O}$  vykazují ve stratigrafickém profilu slezské jednotky sinusoидní charakter s trendem poklesu od spodních těšínských po lhotecké vrstvy. S nástupem sedimentace godulského souvrství — pestřých godulských vrstev — vznášejí obsahy  $\text{Na}_2\text{O}$  s maximem v jílových středního oddílu, odkud nastává směrem do nadloží opět pokles až do menilitového souvrství, v menilit-krovněnských vrstvách množství  $\text{Na}_2\text{O}$  znova vznášejí. Obsahy  $\text{K}_2\text{O}$  plynule stoupají od spodních těšínských vrstev s maximem ve středním oddílu godulského souvrství, odtud směrem do nadloží klesají se slabým vznášem v krovněnských vrstvách. Zjištěné obsahy alkalií a hodnoty poměru  $\text{K}_2\text{O}/\text{Na}_2\text{O}$  odpovídají vznášemu množství slídových minerálů (zejména minerálů skupiny illitu) ve spodních těšínských, veřovických a lhoteckých vrstvách a godulském souvrství a zvýšenému podílu živečů, zejména plagioklasů v jílových godulského souvrství, istebňanských vrstvách, redukčním paleocénu a krovněnských vrstvách.

Průměrné množství  $\text{P}_2\text{O}_5$  se pohybuje v jednotlivých členech slezské jednotky od 0,10 do 0,67 % s maximem ve spodních těšínských vrstvách. Obsahy fosforu v těchto horninách jsou vzhledem k průměrným hodnotám, uváděným Ronovem et al. (1965) — 0,13 %  $\text{P}_2\text{O}_5$ , zvýšené. Z poměru  $(\text{FeO} + \text{Fe}_2\text{O}_3)/\text{P}_2\text{O}_5$  vyplývá určité obohacení fosforem vzhledem k železu v menilitovém souvrství a v těšínských vrstvách. Toto obohacení koreluje se zvýšenými obsahy organické hmoty. Uvedená zjištění vybízejí k předpokladu, že fosfor v horninách menilitového souvrství a těšínských vrstev je s největší pravděpodobností převážně organického původu. Obsahy fosforu v pískovcích se pohybují od 0,04 do 0,26 %  $\text{P}_2\text{O}_5$  s maximálním množstvím v pískovcích těšínsko-hradíšského souvrství (pravděpodobně i možnost vlivu těšínského vulkanismu).

V obsazích  $\text{CaO}$  se v profilu slezské jednotky projevuje výrazná variabilita s maximálními koncentracemi ve spodních těšínských vrstvách, podrohovcových vrstvách, slínovcích menilitového souvrství a v krovněnských vrstvách, s minimem v jílových godulského souvrství (zejména ve středním oddílu), istebňanských a redukčních vrstev.

Tabuľka 3

Průměrné obsahy (v ppm), směrodatné odchylky a koncentrační rozmezí  
 $(\bar{x}$  — aritm. průměr,  $m$  — medián,  $x_g$  — geometrický průměr,  $s$ ,  $s_g$  — aritm.

stratigrafická pozice a litologie		počet vzorků	Ag				As		
			$\bar{x}$	$m$	$s$	min.-max. V %			
$x_g$	$s_g$								
krošněnské vrstvy — jílovce		27	0,14 0,10 0,08	0,27 3,23		<0,06—1,3 195,1	11 8 8	9,8 2,3 86,5	<5—41
krošněnsko-menilitové vrstvy — jílovce		5				<0,06	15		9—25
menilitové souvrství	slínovec	1				<0,06			9
	jílovce a silicifikované jílovce	25	0,29 0,10 0,11	0,56 3,7		<0,06—2,3 193,2	22 25 18	12,5 2,4 57,6	<5—39
	rohovec	1				<0,06			18
	tufit	4				<0,06			24
podrohovecové vrstvy — jílovce		2				<0,06			9—12
podmenilitové souvrství	pestré vrstvy — jílovce	31	0,22 0,10 0,09	0,36 3,96		<0,06—1,9 163,0	8 5 5	8,6 2,5 84,6	<5—22
	redukční paleocén — jílovce	25	0,48 0,12 0,10	0,21 3,19		<0,06—0,9 116,4	15 15 13	6,9 1,9 45,0	<5—26
istebňanské vrstvy — jílovce		19	0,41 0,1 0,07	0,1 2,6		<0,06—0,5 91,1	18 18 17	7,1 1,4 39,1	9—40
gordulské souvrství	svrchní oddíl — jílovce	26	0,36 0,12 0,13	0,6 4,0		<0,06—2,9 186,1	10 9 7	6,2 2,1 63,9	<5—25
	střední oddíl — jílovce	6	0,15 0,12	0,12		<0,06—0,4 80,1	17 12	15,6	<5—39
	spodní oddíl — jílovce	27	0,09 0,10 0,07	0,05 2,4		<0,06—0,2 55,5	9 8 6	6,2 2,3 71,2	<5—23
	pestré vrstvy — jílovce	31	0,09 0,02 0,06	0,12 2,9		<0,06—0,6 133,2	4 3 4	4,0 1,9 105,2	<5—17

T a b u l k a 3

(minimum—maximum) sledovaných stopových prvků v horninách slezské jednotky  
a geometr. směrodatná odchylka, V % — koeficient variace, st — stopy)

B			Be			Ba			Co		
76 59 58	61,4 2,3	15—206 78,7	2 2	1,5 66	1—4	365 351 355	93 1,3	212—610 25,4	14 12 12	7,3 1,6	5—34 52,5
89		57—140		—		397		375—427	12		6—16
	29			—				213			5
92 87 80	44,5 1,7	24—160 48,3	6 6	2,1 32,3	4—9	360 361 359	144 1,4	150—930 40,0	15 16 11	9,3 2,4	<5—34 62,0
	32			—				269			<5
	31			—				529			26
	60—106			—				219—339			5—22
101 96 99	21,2 1,2	70—140 21,0	11 10	3,8 33,6	7—14	513 519 500	115 1,3	270—770 23,0	17 17 16	6,6 1,5	5—37 37,9
130 129 127	24,1 1,2	92—170 18,5	6 6 4	1,7 1,3	5—9 26,1	514 508 509	79 1,2	379—720 16,0	19 20 17	6,4 1,6	5—31 34,2
107 106	14,6	90—125 14,0		—		525 478 512	117,1 1,3	280—724 22,7	16 15 14	9,3 1,7	5—44 58,0
120 100	45,0	83—191 37,5	5 4	1,1 23,4	4—6	531 532 517	121 1,3	268—760 22,7	14 13 14	5,4 1,5	5—29 37,7
186 185	5,6	182—190 3,0		—		639 661	49	562—698 7,8	20 17	6,5	14—31 32,9
136 115 127	51,9 1,4	75—250 38,1	5 5	0,6 11,3	5—6	512 512 504	95 1,2	305—700 18,5	16 17 16	4,4 1,3	8—27 26,8
158 157 154	39,6 1,2	106—230 25,0	6 5	1,7 30,9	4—9	390 407 384	70 1,2	268—520 18,0	17 18 17	4,5 1,3	7—27 25,4

Tabuľka 3 (pokračovanie)

stratigrafická pozice a litologie		počet vzorků	Ag				As			
			$\bar{x}$	s	min.-max.	V %				
			$\bar{x}$	$s_g$						
lhotecké vrstvy — jílovce		32	0,31	0,4	<0,06—1,9		4	2,8	<5—10	
			0,16	3,4	129,0		3	1,9	75,3	
			0,16				3			
veřovické vrstvy — jílovce		31	0,63	0,6	<0,06—2,8		6	6,4	<5—22	
			0,35	1,2	104,4		5	2,6	101,1	
			0,38				4			
těšínsko-hradišťské souvrství	hradišťské vrstvy — vápnité jílovce	26	0,59	1,0	<0,06—4,0		4	5,4	<5—27	
			0,17	5,7	167,0		4	2,0	142,0	
	svrchní těšínské vrstvy — vápnité jílovce	26	0,23	0,22	0,1—0,9		11	8,1	<5—26	
těšínské vápence		8	0,11	2,0	95,3		9	2,5	71,2	
			0,17				8			
spodní těšínské vrstvy — vápnité jílovce		30	0,18	0,2	<0,06—0,8		3	2,2	<5—12	
			0,12	2,1	88,8		3	1,7	64,7	
		*	0,13				3			

Obsahy MgO jsou ve spodní části slezské jednotky poměrně konstantní, slabě vzrůstají v godulském souvrství a redukčním paleocénu; s nástupem sedimentace krosněnských vrstev dosahují svého maxima — 4 % MgO. Ve srovnání s průměrnými hodnotami, které uvádějí Shaw (1956 — 2,49 % MgO a Ronov et al. (1965) — 2,44 % MgO, mají sedimenty převážné části slezské jednotky obsahy hořčíku nižší (viz tab. 1, 2). Z poměru MgO/Al<sub>2</sub>O<sub>3</sub>, CaO/Al<sub>2</sub>O<sub>3</sub>, CaO/MgO, podložených výsledky rentgenografické analýzy vyplývá, že část hořčíku je v jílových spodních těšínských vrstvách, lhoteckých vrstvách, spodní části godulského souvrství, redukčním paleocénu, menilitovém souvrství, a hlavně v krosněnských vrstvách, vázána v karbonátovém podílu ve formě dolomitu. V hradišťských, veřovických, lhoteckých, pestrých godulských a istebnanských vrstvách je hořčík vázán na minerály skupiny montmorillonitu a chloritu, v godulském souvrství na chloritové minerály a v horninách redukčního paleocénu, podrohovecových vrstev a menilitového souvrství na minerály skupiny montmorillonitu (dobře souhlasí s rentgenografickými analýzami a obsahy H<sub>2</sub>O<sup>+</sup>).

Také v písکových slezské jednotky jsou nejvyšší obsahy hořčíku, podobně jako v jílových, vázány v krosněnských vrstvách (4,3 % MgO).

Tabulka 3

B			Be			Ba			Co		
160	37,9	95–220	3	0,9	2–5	425	163	189–991	16	4,8	8–25
170	1,3	23,6	3			380	1,4	38,4	16	1,4	30,0
155						400			15		
134	40,0	70–190	3	0,9	2–5	450	133	200–797	11	4,0	5–20
125	1,3	29,8	3			426	1,3	20,4	11	1,5	36,0
129						433			10		
152	59,2	80–240	4	1,4	2–6	277	128	130–560	14	4,7	5–23
150	1,5	38,9	3			226	1,6	46,3	13	1,4	33,8
141						252			13		
206	45,0	134–282	5	2,5	3–8	197	56	100–371	11	3,4	6–20
196	1,2	21,8	5	2,0	47,1	192	1,3	28,4	11	1,4	30,0
201			3			190			11		
—			—			101	40	60–166	11	10,4	<5–34
						90		39,6	7		91,2
142	61,6	77–265	—	—	—	147	37	92–270	5	3,1	<5–11
121	43,3					140	1,3	25,4	5	2,0	60,7
						143			5		

### Koncentrace, distribuce a korelační vztahy stopových prvků

Průměrné obsahy a koncentrační rozpětí sledovaných stopových prvků v sedimentech slezské jednotky jsou uvedeny v tabulkách 3 a 4 a obrázcích 1, 2.

Koncentrace stříbra dosahují maximálních hodnot v horninách veřovických vrstev, o něco nižší jsou v jílových hradišťských vrstvách. Slabé zvýšení vzhledem ke klarkové hodnotě — 0,1 ppm (Kraft et al. 1969) lze pozorovat v jílových menilitového souvrství, svrchního oddílu godulských vrstev a lhoteckých vrstev. Zvýšené obsahy Ag v hradišťských a veřovických vrstvách mohou být kladně ovlivněny redukčním charakterem sedimentačního prostředí, event. zvýšeným přínosem prvků (vedle Ag též Cu a Mo) pravděpodobně uvolňovanými při harmyrolýze pyroklastického materiálu, provázejícího těšinitový vulkanismus. Také v píscevých jsou nejvyšší obsahy Ag vázány v hradišťských vrstvách. Stříbro bývá v pozitivní korelací nejčastěji s As, Mo, Sn, Pb, S, někdy s Cu.

Arzén v sedimentech slezské jednotky se s výjimkou menilitového souvrství (21,7 ppm) blíží spodní hranici klarkového rozpětí (13–65 ppm — Kraft et al. 1969) nebo jsou jeho obsahy nižší. Zcela deficitní jsou koncentrace As ve spodních těšinských vrstvách, hradišťských, lhoteckých a pestrých godulských vrstvách.

Obsahy beryllia dosahují maximálních hodnot v pestrých jílových podmenili-

T a b u l k a 3 (pokračování)

stratigrafická pozice a litologie		počet vzorků	Cr				Cu		
			$\bar{x}$	s	min.-max.	V %			
			$\bar{x}_m$	$\bar{x}_g$					
krosněnské vrstvy — jílovce		27	100 95 98	24,3 1,3	64–167 24,2		39 34 36	20,1 1,6	20–106 50,8
krosněnsko-menilitové vrstvy — jílovce		5	127		115–150		42		32–59
menilitové souvrství	slínovec	1			31				43
	jílovce a silicifikované jílovce	25	120 129 116	32,4 1,3	60–204 26,8		61 59 56	25,1 1,5	20–101 40,9
	rohovec	1			34				36
	tufit	1			110				43
podrohovecové vrstvy — jílovce		2			60–122				59–94
podmenilitové souvrství	pestré vrstvy — jílovce	31	118 114 115	28,9 1,3	57–193 24,5		51 48 49	17,7 1,4	28–100 34,1
	redukční paleocén — jílovce	25	126 120 123	32,2 1,2	91–227 25,5		45 43 44	13,5 1,3	28–78 29,7
istebňanské vrstvy — jílovce		19	107 106 106	18,9 1,2	81–153 17,6		33 34 31	10,9 1,5	11–47 33,0
	svrchní oddíl — jílovce	26	103 106 100	25,6 1,3	43–157 24,9		43 39 41	23,2 1,4	17–148 52,9
	střední oddíl — jílovce	6	117 116	26,0	82–145 22,1		58 56	10,2	49–76 17,3
gotulecké souvrství	spodní oddíl — jílovce	27	108 109 107	17,9 1,2	70–144 16,5		42 41 40	10,5 1,3	20–68 25,0
	pestré vrstvy — jílovce	31	88 83 85	29,2 1,4	44–158 33,1		51 48 47	25,5 1,5	20–154 50,0
	lhotecké vrstvy — jílovce	32	70 66 68	30,5 1,3	39–116 29,2		69 65 65	29,9 1,5	27–168 43,0
veřovické vrstvy — jílovce		31	73 75 72	15,8 1,3	40–98 21,6		156 149 123	105,8 2,0	44–382 67,7

Tabułka 3

Ga			Mo			Nb			Ni		
13	14,4	1-72	6	9,6	<1-37	10	3,4	5-17	60	22,3	30-126
9	2,4	106,2	2	3,9	160,0	9	1,4	34,6	54	1,4	36,6
9			3			9			57		
11		6-18	10		4-17	13		7-17	67		52-82
		3			3			8			36
22	13,1	6-64	25	23,1	4-101	14	4,4	6-24	71	33,2	26-150
19	1,7	57,9	16	2,5	95,2	14	1,4	30,7	69	1,6	46,4
19			18			13			65		
		5			15			<5			18
		13			20			9			80
		2-26			2-7			9-14			57-60
50	50,4	7-200	3	2,7	<1-11	15	3,9	5-23	59	19,9	34-125
32	2,3	99,0	2	2,6	83,3	16	1,4	25,4	56	1,4	33,2
38			2			15			56		
56	48,2	12-180	3	1,8	<1-7	17	3,2	10-21	62	14,7	35-69
52	2,1	86,2	3	2,6	84,2	17	1,2	19,1	65	1,3	23,6
42			2			18			60		
38	30,4	9-115	2	1,9	<1-7	17	4,6	8-24	48	14,0	26-73
23	2,2	79,7	2	2,7	90,4	17	1,4	28,9	48	1,4	29,2
29			1			15			46		
39	28,4	7-113	3	3,3	<1-14	16	2,7	9-21	47	8,4	28-59
26	2,0	72,8	2	3,3	122,1	17	1,2	16,1	49	1,2	17,8
31			1			16			46		
32	10,2	14-41	1	1,4	<1-4	17	4,0	12-22	50	5,9	45-62
34		31,6	1		102,3	17		23,1	40		11,7
22	13,7	10-74	1	1,2	<1-4	14	3,2	9-22	49	7,5	39-69
19	1,6	62,5	1	2,4	101,0	14	1,2	21,9	48	1,2	15,2
19			1			14			48		
14	5,8	3-29	2	1,6	<1-6	12	5,1	5-32	51	11,8	33-76
13	1,7	41,7	1	2,4	84,1	12	1,5	41,4	50	1,3	23,1
13			1			11			50		
20	19,7	2-81	3	2,1	<1-9	11	4,5	<5-24	54	13,4	33-85
10	2,3	97,5	3	2,2	64,5	11	1,6	39,8	54	1,3	24,6
14			2			10			53		
20	17,6	1-68	5	3,1	<1-15	11	3,7	5-20	60	20,7	25-102
15	2,4	85,8	5	2,1	58,4	10	1,4	33,0	53	1,4	34,5
15			4			10			57		

Tabuľka 3 (pokračovanie)

stratigrafická pozícia a litologie		počet vzorkov	Cr			Cu		
			$\bar{x}$ m	s g	min.-max. V %			
těšínsko-hradištské souvrství	hradištské vrstvy — vápnité jílovce	26	76 75 73	25,5 1,4	37-136 33,5	75 74 61	49,3 2,0	14-203 65,7
	svrchní těšínské vrstvy — vápnité jílovce	26	110 103 107	24,5 1,2	65-163 22,2	39 34 36	18,3 1,5	18-92 46,3
těšínské vápence	těšínské vápence	8	43 37	24,5	20-87 57,0	52 44	24,4	25-90 46,9
	spodní těšínské vrstvy — vápnité jílovce	30	101 105 98	23,8 1,3	54-143 23,5	22 17 18	13,3 1,8	5-81 61,5

tových vrstev, které představují téměř čtyřnásobek klarkové hodnoty 3 ppm (Kraft et al. 1969). Minimální obsahy jsou vázány na jílovce hradištských až veřovických vrstev.

Obsahy barya vykazují v pelitech slezské jednotky nepřímou závislost na obsazích CaO; se vzrůstem CaO klesá množství Ba. Tento vztah se projevuje často negativní korelací se Sr, zejména ve spodní části slezské jednotky (těšínsko-hradištské souvrství, spodní těšínské vrstvy). Nejvyšší obsahy Ba byly nalezeny v jílových podmenilitového souvrství, v jílových a pískovcích istebňanských vrstev a spodním až svrchním oddílu godulského souvrství s maximem ve středním oddílu. Tyto nejvyšší koncentrace dobře korelují (s výjimkou menilitového souvrství) se zvýšenými obsahy K<sub>2</sub>O (s maximem také ve středním oddílu godulského souvrství). Tato skutečnost dovoluje předpokládat přítomnost alespoň části Ba v draselných minerálech (obr. 3, 5), zejména v minerálech skupiny illitu (Nicholls - Loring 1962, Rankama - Sahama 1950). Ve veřovických vrstvách a těšínsko-hradištském souvrství je Ba ve významné pozitivní korelací s uranem.

Ve střední části slezské jednotky (godulské souvrství, istebňanské vrstvy a podmenilitové souvrství) sledují obsahy kobaltu do určité míry obsahy Ni. Nejvyšší koncentrace Co byly zjištěny v jílových středního oddílu godulských vrstev a podmenilitového souvrství, které se blíží klarkové hodnotě 20 ppm (Kraft et al. 1969). Pokles v obsazích Co lze sledovat jednak od podmenilitových vrstev směrem do podloží, jednak od lhoteckých vrstev směrem do podloží (s výjimkou pískovců svrchních těšínských vrstev). Forma vazby kobaltu v pelitech je v podstatě obdobná jako u niklu (Wedepohl 1960, Hirst 1962,

Tabulka 3

Ga			Mo			Nb			Ni		
24	23,9	1-96	4	2,4	<1-10	12	3,7	5-18	65	22,8	28-119
17	2,9	99,1	4	2,0	52,4	12	1,4	31,6	62	1,4	35,0
15			4			11			61		
18	10,4	5-43	5	5,6	<1-25	14	3,7	5-19	53	14,1	30-84
15	1,8	57,7	3	3,4	105,3	14	1,4	27,4	54	1,3	26,6
16			3			13			52		
6	6,8	1-20	8	11,7	<1-30	4	3,9	<5-13	49	24,5	
3		113,0	3		137,4	3		102,0	45		50,0
5	5,5	1-24	1	1,0	<1-5	6	4,3	<5-23	41	11,5	18-63
4	2,1	98,2	1	2,1	111,0	6	2,0	69,3	42	1,4	28,0
4			1			5			40		

Gucwa (1973). K. H. Wedepohl předpokládá dva hlavní zdroje kobaltu — klastické jílové minerály a vulkanický materiál.

Nejvyšší obsahy niklu byly zjištěny v jílovcích menilitového souvrství, veřovických a hradišťských vrstev (vzorky jak z výchozů, tak z vrtů), redukčního paleocénu u vzorků z povrchových výchozů a ve svrchním oddílu godulského souvrství u vzorků odebraných z vrtů. V sedimentech godulského souvrství a veřovických vrstvách jsou obsahy Ni ve vzorcích z vrtů obecně trochu vyšší než ve vzorcích z povrchových výchozů. naopak v sedimentech spodních a svrchních těšínských vrstev, podmenilitového souvrství a krosněnských vrstev je situace zejména opačná. V pískovcích je Ni nejvíce koncentrován v krosněnských a svrchních těšínských vrstvách. Nikl se v recentních pelagických sedimentech vyskytuje v koloidní frakci (Goldberg - Arrhenius 1958). Určitý podíl niklu je vázán na jílové minerály, Fe-oxidické minerály, event. v sulfidech. Krauskopf (1956) zdůrazňuje význam organických reakcí jako kontrolního faktoru při vysrážení Ni z mořské vody. Nikl hraje také určitou úlohu v procesech fotosyntézy (možnost vazby v metaloorganických komplexech). V menilitovém souvrství převaha  $Fe^{II}$  — vysoké obsahy pyritu a nepřítomnost hematitu — prakticky vylučuje vazbu niklu na Fe-oxidické minerály (významnou v pestrých jílovcích podmenilitových vrstev a pestrých godulských vrstvách), navíc přistupuje možnost vazby ve formě metaloorganických sloučenin a sorpcí na organickou hmotu. Nikl bývá v pozitivní korelace zejména s Zn, Co, V, Cr, Cu a S. V menilitových jílovcích má vysokou korelací především se S, V, Mo, Cu, Zn, Co a As.

Variace poměru Ni/Co indikují podle Wedepohla (1960), Vinograd-

T a b u l k a 3 (pokračování)

stratigrafická pozice a litologie		počet vzorků	Pb			Rb		
			$\bar{x}_m$	$s_{\bar{x}_m}$	min.-max. V %			
		$\bar{x}_g$	$s_g$					
krošněnské vrstvy — jílovce		27	20	8,3	5–38	112	22,6	88–195
			21	1,6	40,4	109	1,2	20,1
			19			111		
krošněnsko-menilitové vrstvy — jílovce		5	18		9–31	113		100–127
menilitové souvrství	slínovec	1			<5			19
	jílovce a silicifikované jílovce	25	23	8,0	9–40	119	34,8	52–181
			21	1,4	34,3	121	1,4	29,3
	rohovec	1			<5			21
podrohovcové vrstvy — jílovce	tufit	1			22			42
					6–30			41–94
						164	39,1	76–253
podmenilitové souvrství	pestré vrstvy — jílovce		31	23	7,4	5–43	164	1,3
				22	1,5	30,9	159	23,8
	redukční paleocén — jílovce		25	22	5,7	10–39	183	
				22	1,3	25,5	186	27,9
				22			181	1,2
istebňanské vrstvy — jílovce		19	24	7,6	13–42	178	37,1	110–275
			23	1,3	31,0	179	1,2	20,9
			23			175		
goudské souvrství	svrchní oddíl — jílovce		26	19	5,4	5–33	194	
				20	1,4	27,6	198	36,3
				19			191	1,2
	střední oddíl — jílovce		6	17	6,2	5–22	264	95–244
				20		35,8	273	214–281
				17				9,6
spodní oddíl — jílovce	spodní oddíl — jílovce		27	18	7,5	5–31	193	
				20	1,7	40,1	195	44,3
				17			188	110–283
pestré vrstvy — jílovce	pestré vrstvy — jílovce		31	21	9,1	6–48	153	31,5
				19	1,6	43,5	158	1,3
				19			150	98–200
lhotecké vrstvy — jílovce		32	26	9,0	14–50	97	22,6	15–235
			23	1,4	33,8	104	1,3	23,2
			25			94		
veřovické vrstvy — jílovce		31	24	11,5	9–69	83	16,9	53–114
			21	1,5	47,1	81	1,2	20,3
			23			82		
těšínsko-hraditské souvrství	hradišťské vrstvy — vápnité jílovce		26	24	12,2	12–71	97	18,3
				20	1,5	50,2	99	1,2
				22			95	62–125
těšínsko-hraditské souvrství	svrchní těšínské vrstvy — vápnité jílovce		26	15	6,6	6–33	93	15,8
				15	1,5	44,0	92	1,2
				14			92	68–129
těšínské vápence		8	15	8,2	5–28	33	31,9	5–89
			16		54,6	27		86,6
spodní těšínské vrstvy — vápnité jílovce		30	7	6,1	5–20	54	17,0	34–108
			5	2,4	84,7	52	1,3	31,4
			5			53		

Tabulka 3

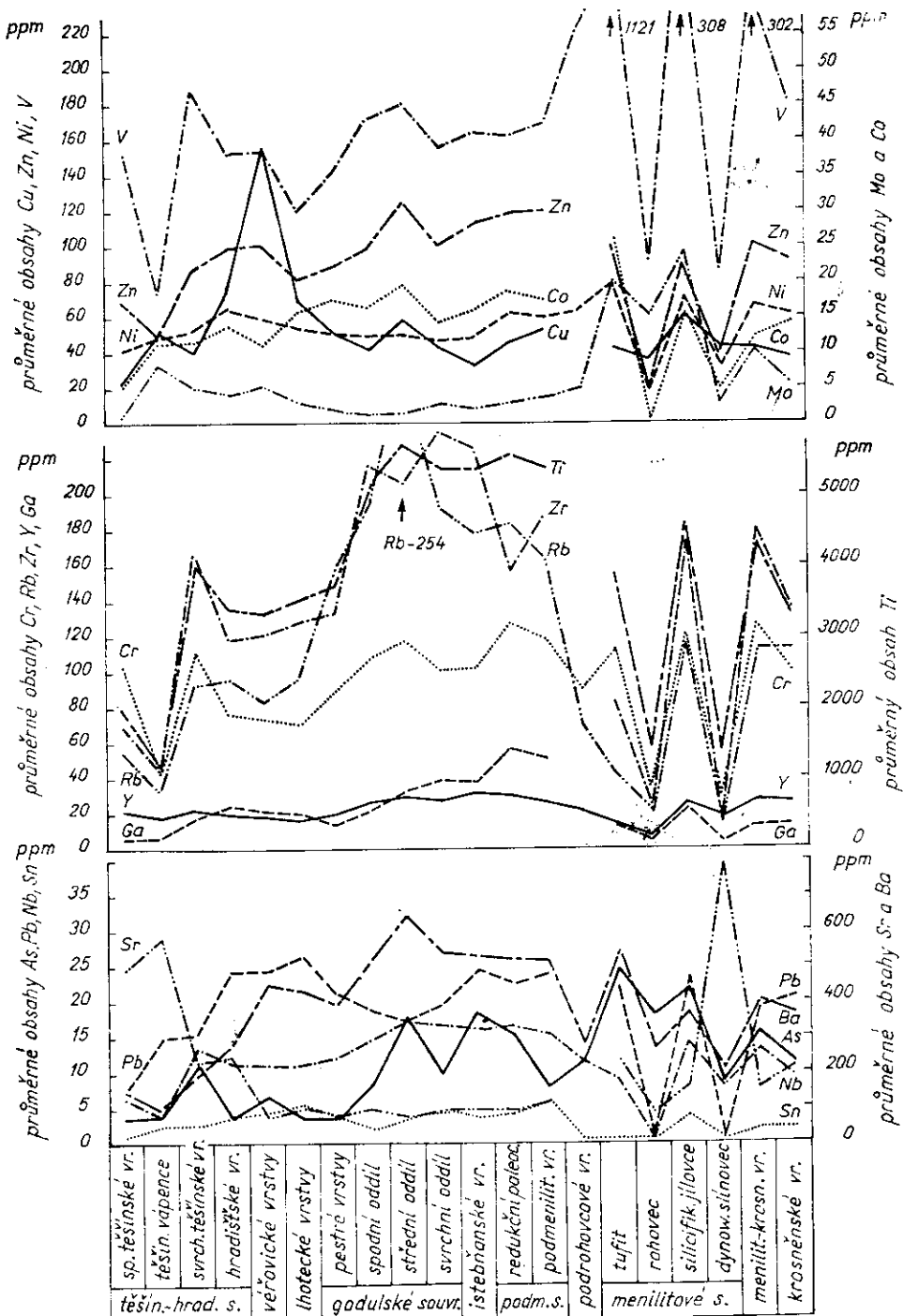
S			Sb			Sn			Sr			Th		
6 940	6 164	200–25 800	2	1,7	1–6	2	2,5	<1–10	210	135	94–682	9,2	1,8	6,7–12,9
4 520	2,8	88,8	1	1,4	87,8	1	2,8	131,1	170	1,6	64,2	9,3	1,4	19,5
4 723			1			1			186			6,0		
330		100–700	3		1,7–4	2		<1–3	152		85–213	10,1		9,8–10,5
		3 900			1			<1			782			3,5
11 128	9 743	200–28 500	1	1,0	<1–4	4	3,3	<1–11	158	134	60–525	8,4	2,8	2,1–13,0
7 300	5,3	87,5	1	2,4	69,8	3	2,9	86,8	94	1,9	84,8	8,6		33,3
4 918			1			3			123					
		3 800			<1						85			3,1
		8 100			2,7						233			6,3
		8 800–17 000			<1–2			<1–1			209–1000			3,5–11,5
3 630	6 074	<100–20 400	2	2,4	1–9,9	6	3,2	1–9	108	60,5	54–306	11,6	1,9	7,8–13,9
600	8,4	167,0	1	2,0	104,0	6	2,0	56,1	82	1,6	56,0	12,3		16,3
715			1			4			97					
5 355	5 161	600–16 000	1	2,3	<1–10	4	2,9	<1–10	93	17,6	59–144	14,4		
2 300	2,8	96,3	1	1,7	135,2	4	2,3	64,4	93	1,2	18,9	14,6	2,6	10,7–17,7
3 308			1			3			92			18,0		
3 552	2 948	600–10 000	1	0,8	<1–3	4	2,5	1–9	95	33,0	67–208	12,8		
2 200	2,2	82,9	1	1,8	53,3	3	1,9	64,1	82	1,3	34,7	12,9	3,7	6,4–19,9
2 661			1			3			91			28,9		
1 264	1 495	<100–4 800	1	0,3	1–1,5	5	3,5	1–10	92	19,2	66–153	14,1		
300	6,0	118,2	1	2,5	25,2	5	3,1	72,9	90	1,2	20,8	14,5	1,1	11,8–15,4
409			1			3			91			7,8		
70		35 <100–100	1	0,1	1–1,2	3	3,2	1–8	77	13,2	55–91	16,7		
76		49,4	1		10,0	3		88,8	75		17,1	16,6	1,9	15,3–18,1
												14,3		
285	573	<100–2 300	1	0,5	1–3	2	2,4	1–8	96	14,0	71–127	12,7		
100	3,5	201,0	1		40,6	2	3,1	120,0	95	1,1	14,7	13,2	2,2	9,0–14,9
						1			95			17,3		
240	374	<100–1 600	1	1,6	1–6	4	2,2	1–9	82	32,7	47–240	9,8		
50	3,5	150,3	1		112,0	3	2,2	66,6	79	1,3	39,8	10,0	1,0	8,5–11,1
108			2			2			79			10,2		
1 593	1 801	<100–7 600	1	1,1	1–4	5	2,4	1–10	100	44,0	52–314	8,8		
600	5,2	112,4	1		122,2	5	1,9	45,2	93	1,3	44,0	9,0	0,8	7,2–9,7
640			4			4			95			9,1		
3 437	3 035	100–9 900	1	0,4	1–2,1	4	2,1	1–9	75	16,7	48–119	8,1		
2 350	3,5	88,3	1		44,4	4	1,7	46,6	73	1,2	23,3	8,2	1,3	6,3–10,5
1 975			4			4			74			16,0		
4 815	3 911	<100–12 800	1	0,6	1–3	4	2,4	1–8	242	118	78–522	8,7		
4 800	6,9	81,2	1		54,5	4	2,7	61,5	246	1,7	48,9	9,4		
2 047			3			3			242					
2 341	2 193	<100–660	2	2,2	1–9	3	2,0	1–8	229	78,1	111–482	9,4		
1 500	6,8	93,6	1		100,0	3	2,9	74,0	230	1,4	34,1	8,0	2,0	7,5–13,0
908			2			2			219			21,9		
1 015	1 388	<100–3 200	3	1,2	1–4	2	2,5	1–7	574	254	330–1012	—		
300		136,0	3		42,8	2		96,1	505		44,2			
3 305	2 221	300–9 600	3	2,4	1–9	1	1,0	1–6	497	109	106–642	6,3		
2 800	2,1	67,2	1		85,7	1	2,3	90,9	499	1,4	21,9	5,4	2,4	4,3–12,6
2 638			1			1			478			38,0		

Tabuľka 3 (pokračovanie)

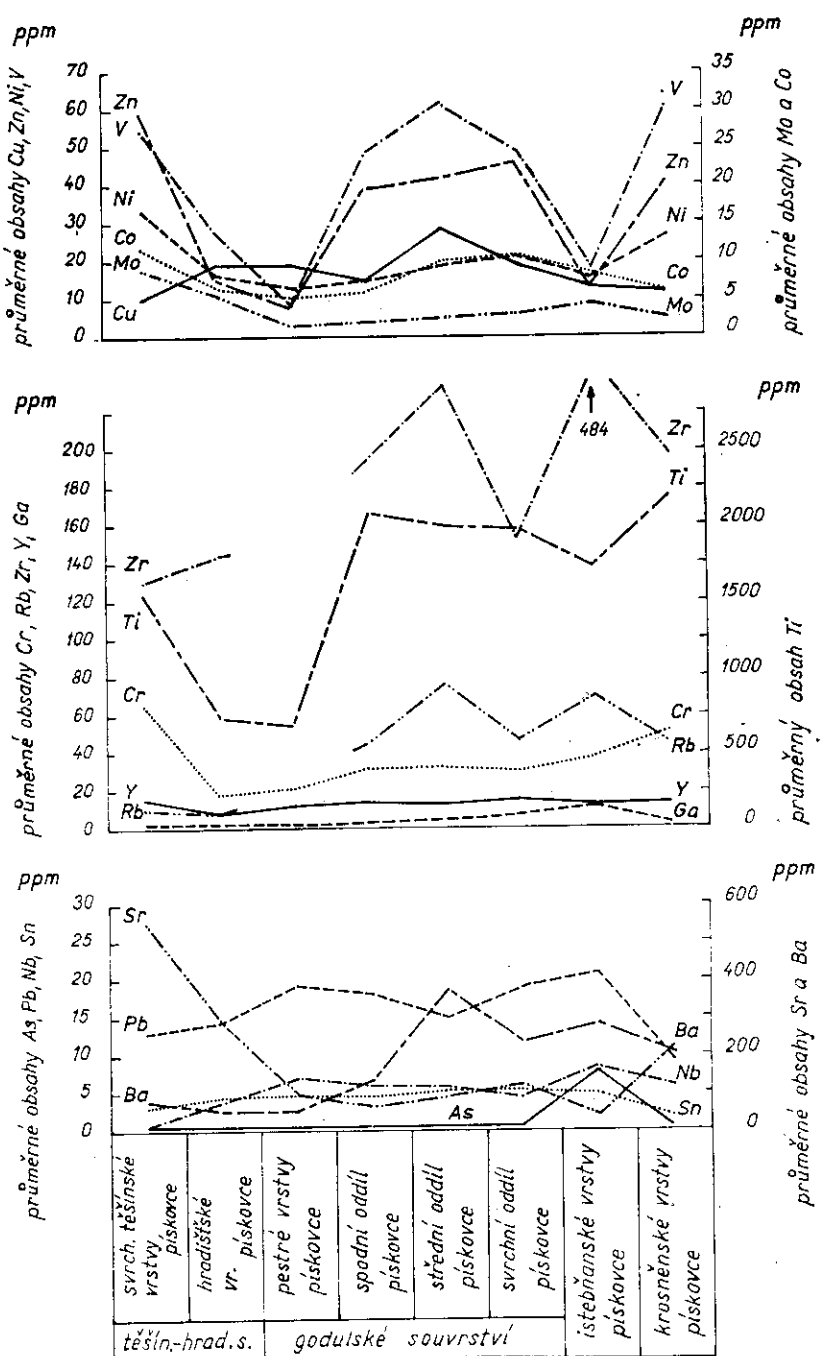
stratigrafická pozice a litologie		počet vzorků	Ti				U
			$\bar{x}$	s	min.–max.	V %	
		m	$s_x$				
menilitové souvrství	krošněnské vrstvy — jílovce	27	3310	865	2398–6115	4,2	
			2998	1,3	26,1	4,0	2,3
			3223			3,9	2–14
menilitové souvrství	krošněnsko-menilitové vrstvy — jílovce	5	4257		3299–5276	9,5	54,7
	slínovec				1409		3,7–21,8
	jílovce a silicifikované jílovce		4615	1126	2218–7014	10,6	2,5
			4586	1,3	24,8	10,0	2–40,6
	rohovec		4476			8,0	83,0
podmenilitové souvrství	tufit	1			1439		2,1
					3777		21,4
	podrohovcové vrstvy — jílovce				1829–4436		4,7–10,2
	pestré vrstvy — jílovce	31	5352	1118	2038–7434	2,5	
			5515	1,3	20,8	2,0	<1,2–5,8
			5207			2,3	44,0
godulské souvrství	redukční paleocén — jílovce	25	5553	620	4514–6834	3,2	
			5576	1,9	9,4	3,7	2–5
			5529			3,0	34,3
	istebňanské vrstvy — jílovce	19	5337	815	2398–6774	3,7	
			5456	1,2	15,2	4,0	<1,2–11
			5267			3,3	56,7
těšínsko-hradištské souvrství	svrchní oddíl — jílovce	26	5360	661	3957–6415	2,6	
			5395	1,1	12,5	2,0	<1,2–4,2
			5318			2,5	30,7
	střední oddíl — jílovce	6	5748	464	4916–6115	3,0	
			5743		8,1	2,9	2–4,2
	spodní oddíl — jílovce	27	5061	925	3500–7196	3,0	
			5066	1,2	18,2	3,2	<1,2–4,9
			4982			2,8	36,6
	pestré vrstvy — jílovce	31	3737	903	2096–5095	2,4	
			3957	1,3	24,1	2,0	<1,2–5,9
			3619			2,2	41,6
těšínské souvrství	lhotecké vrstvy — jílovce	32	3532		2218–4616	2,1	
			3617	631	17,8	2,0	<1,2–4
			3473	1,2		2,0	23,8
těšínské souvrství	veřovické vrstvy — jílovce	31	3312	635	2398–4676	2,8	
			3219	1,2	19,2	2,0	1,1
			3256			2,6	1,4
těšínsko-hradištské souvrství	hradištské vrstvy — vápnité jílovce	26	3483	882	1918–4856	2,7	
			3722	1,3	25,3	2,2	1,2
			3365			2,5	42,9
	svrchní těšínské vrstvy — vápnité jílovce	26	3974	822	2578–5575	2,8	
			4107	1,3	20,7	2,8	1,1
			3888			2,6	1,8
	těšínské vápence	8	1207	677	360–2218	2,5	
			1229		56,0	2,2	0,9
	spodní těšínské vrstvy — vápnité jílovce	30	1916	451	1259–3417	2,4	
			1899	1,2	23,5	2,3	1,0
			1871			2,2	40,8

Tabulka 3

V	Y	Zn	Zr
183 44,7 117-265	24 7,0 5-44	93 15,4 65-118	135 40,8 100-305
181 1,2 24,4	25 1,5 28,6	96 1,2 16,5	124 1,3 30,2
178	23	92	132
302 203-431	27 18-38	106 86-133	180 121-239
86	18	38	15
308 106 145-522	24 9,2 5-54	90 44,1 16-194	174 69,4 66-304
318 1,4 34,4	23 1,5 38,1	93 1,8 49,0	171 1,5 39,6
390	22	80	181
92	7	19	25
1121	14	105	80
204-247	18-26	53-102	28-150
170 57,5 79-348	25 12,4 5-76	120 43,3 46-284	189 58,7 52-322
163 1,4 33,8	25 1,9 48,4	116 1,4 35,7	179 1,4 31,0
162	22	114	179
162 30,5 101-214	30 15,9 5-85	120 21,6 72-174	157 26,6 114-193
160 1,2 18,8	27 1,6 52,8	121 1,2 18,0	162 1,2 16,9
159	27	119	155
165 46,5 75-251	31 6,8 21-48	113 33,0 65-212	226 66,3 112-400
161 1,3 28,0	29 1,2 21,9	112 1,3 29,2	209 1,3 29,3
160	30	108	218
157 30,4 109-208	26 4,7 12-37	104 11,2 68-121	236 51,5 127-397
155 1,2 19,3	27 1,2 17,8	106 1,1 10,8	232 1,5 21,8
155	26	104	232
181 41,8 137-236	29 4,9 24-34	125 29,1 95-178	207 39,9 164-268
182 23,1	30 16,7	118 23,2	196 19,2
174 38,9 100-245	26 7,2 14-46	97 18,2 52-118	215 75,3 118-495
173 1,3 22,3	25 1,3 27,0	100 1,2 18,7	202 1,4 35,0
170	26	95	206
142 53,9 58-266	20 12,2 5-58	89 24,6 22-126	134 34,0 60-181
128 1,5 37,9	18 1,8 60,3	88 1,4 27,8	142 1,3 25,3
133	17	84	130
120 37,1 75-220	17 4,3 5-24	82 22,7 34-143	129 27,7 77-212
107 1,3 20,9	17 1,4 24,5	81 1,4 27,7	131 1,2 21,4
116	17	79	127
156 58,0 60-283	19 6,9 6-33	101 38,7 43-218	122 26,5 87-186
155 1,4 37,1	20 1,5 35,0	89 1,5 38,3	120 1,2 21,7
145	18	95	120
153 48,2 98-279	20 5,9 7-31	100 39,6 40-190	118 27,9 59-178
141 1,3 31,4	20 1,6	93 1,5 39,6	120 1,3 23,6
147	19	93	115
187 55,2 100-291	22 4,8 13-32	88 22,3 48-140	188 42,7 92-239
172 1,3 29,5	23 1,3 21,3	87 1,3 25,3	170 1,3 25,4
180	22	85	162
74 50,7 30-179	18 4,1 14-28	48 20,8 27-91	45 29,4 5-99
65 68,5	17 22,7	41 1,3 43,3	47 65,3
155 36,2 78-214	21 4,0 14-28	68 14,0 66-100	69 43,4 27-208
160 1,3 23,2	20 1,2 19,0	65 1,2 20,5	60 1,6 62,8
151	20	67	61



1. Průměrné obsahy stopových prvků v sedimentech slezské jednotky (vzorky z výchozů)



2. Průměrné obsahy stopových prvků v sedimentech slezské jednotky (vzorky z výchozů)

dova a Ronova (1956) a Savula et al. (1963) podmínky vzniku mořských sedimentů. K. H. Wedepohl udává hodnotu 3,88 pro pelitické sedimenty Atlantského oceánu a 2,73 pro peility Tichého oceánu. Savul et al. (1963) zjistili pro flyšové sedimenty rumunských Karpat hodnotu 6,43 a usuzují na sedimentaci v kontinentálním moři. Průměrné hodnoty tohoto poměru ve stratigrafickém sledu slezské jednotky kolísají od 2,7 do 11,6. Minimální hodnoty, zjištěné v sedimentech godulského souvrství, se blíží k hodnotám uváděným K. H. Wedepohlem. Hodnoty v nejvyšších a bazálních částech slezské jednotky jsou zvýšené.

Průměrné obsahy olova s výjimkou spodních těšínských vrstev a těšínských vápenců odpovídají klarkové hodnotě 20 ppm udávané pro peility (Kraft et al. 1969, Hawkes - Webb 1962). Nejvyšší obsahy byly zjištěny ve lhotických, veřovických a hradišťských vrstvách (s max. 71 ppm Pb) ve vzorcích z výchozů, ve středním a svrchním oddílu godulského souvrství a veřovických vrstvách v horninách odebraných z vrtů. Podle Krauskopfa (1956) je převážná část olova v pelitických sedimentech obsažena v Fe-Mn minerálech a v koloidní frakci sedimentu, především v jilových minerálech (obr. 3, 5). S tímto předpokladem jsou v souhlasu zvýšené koncentrace Pb v jilových godulského souvrství z vrtů – zvýšené obsahy K<sub>2</sub>O a sumy Fe-oxidů, v hradišťských a veřovických vrstvách můžeme ještě uvažovat o přítomnosti Pb v sulfidické formě. Také u pískovců se nejvyšší obsahy Pb koncentrují vedle istebňanských vrstev v godulském souvrství (jak z vrtů, tak z výchozů). V jilových redukčního vývoje je Pb ve významné pozitivní korelace s U, Th, a S.

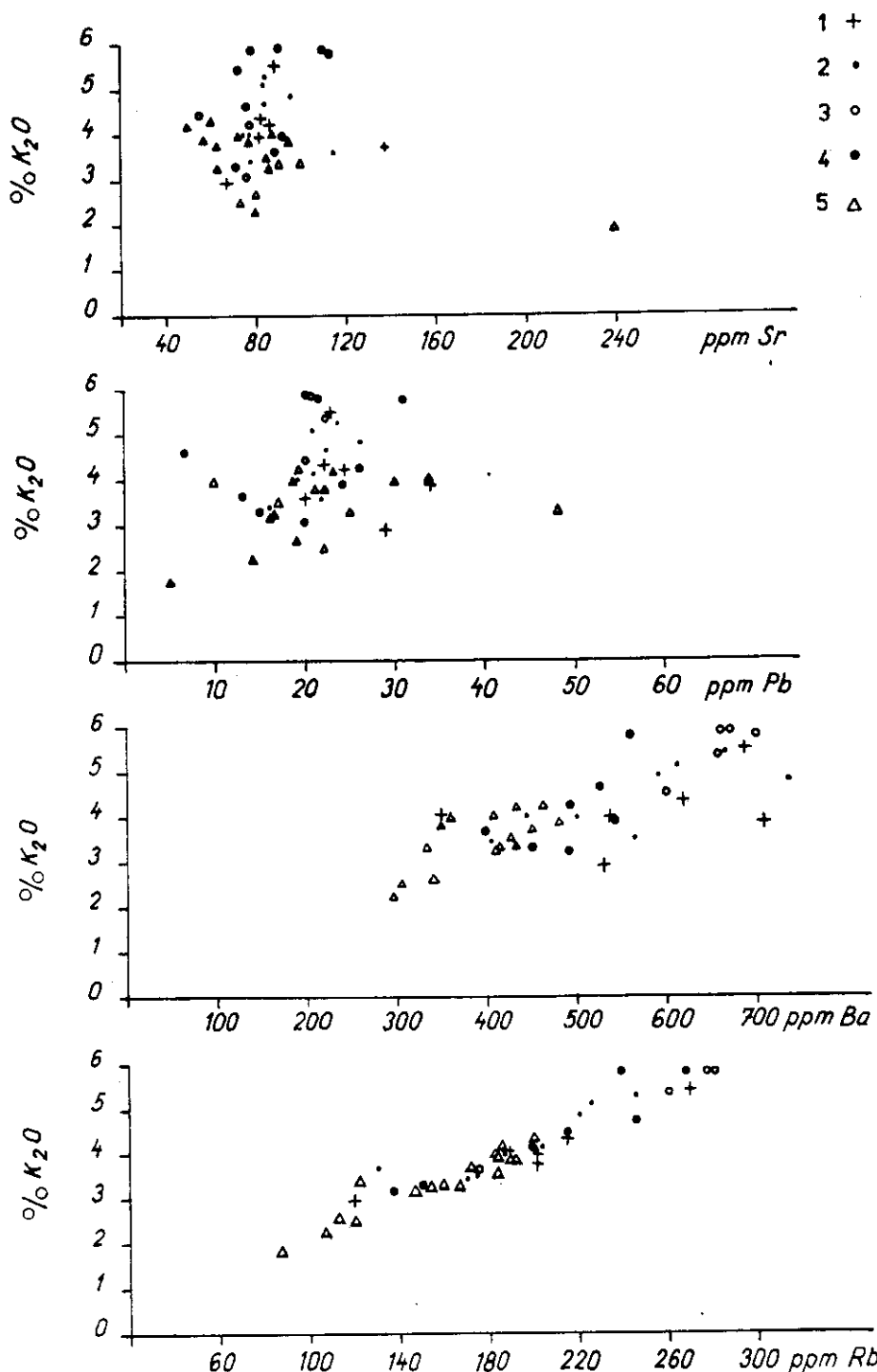
Nejvyšší obsahy chromu jsou vázány na jilovce menilitového a podmenilitového souvrství, zejména redukční paleocén. Ve stratigrafickém profilu slezské jednotky ve vzorcích z vrtů i výchozů lze s nástupem sedimentace spodního oddílu godulského souvrství pozorovat náhlý vzrůst obsahu chromu směrem do nadloží se slabým poklesem v krosněnských vrstvách. U vzorků z výchozů mají peility těšínských vrstev vyšší obsahy Cr, odpovídající klarku 100 ppm (Kraft et al. 1969). Podle Fröchlicha (1960) je chrom v sedimentech převážně koncentrovaný ve slídových a jilových minerálech, zejména v minerálech skupiny illitu, v menší míře montmorillonitu (Hirst 1962). Lze předpokládat, že v pelitech slezské jednotky bude Cr vázán na uvedené minerály (obr. 4, 6), zvýšené obsahy Cr nad 100 ppm mohou indikovat přítomnost produktů rozkladu pyroklastického materiálu (El Wakel - Riley 1961, Goldberg - Arrhenius 1958). V pískovcích byly nejvyšší koncentrace Cr zjištěny u vzorků z vrtů ve středním a svrchním oddílu godulského souvrství a ve spodních těšínských vrstvách u pískovců z výchozů. U chromu byla zjištěna častá pozitivní korelace s Ni, V, Zn, Ga, někdy s B, Ti, U (Adamová 1983a).

Koncentrace mědi dosahují svého maxima v jilových veřovických vrstev (max. 382 ppm), kde představují téměř trojnásobek klarkové hodnoty (Kraft et al. 1969). Zvýšené obsahy jsou též v podložních hradišťských a nadložních

lhoteckých vrstvách. Směrem do nadloží dochází k slabému poklesu a opětovnému vzrůstu v podrohovecových vrstvách a menilitových jílových. V krosněnských vrstvách jsou obsahy Cu opět nízké. Tato distribuce je patrná ve vzorcích jak z vrtů, tak z výchozů. Měď může být ve studovaných sedimentech vázána jednak v sulfidické formě, jednak v jílové frakci. V sedimentech menilitového souvrství a podrohovecových vrstev bude určitý podíl mědi pravděpodobně přítomen ve formě organokomplexů. V menilitových jílových je Cu ve významné pozitivní korelace s Mo, Ni, V, Co, Zn a S. Jak bylo uvedeno u koncentraci stříbra, jsou pro veřovické vrstvy typické nejvyšší koncentrace Cu a Ag doprovázené zvýšenými koncentracemi Mo. Tyto zvýšené koncentrace jsou pravděpodobně ovlivněny zvýšeným přínosem těchto prvků uvolňovaných při rozkladu pyroklastického materiálu, provázející těšinitový vulkanismus. Slabé zvýšení obsahu Cu je v pískovcích z vrtů i výchozů vázáno na střední oddíl godulského souvrství (slabé zvýšení je patrné i v jílovech tohoto oddílu).

Průměrné obsahy Ga jeví vzestupnou tendenci od báze slezské jednotky směrem do nadloží s maximálními koncentracemi v podmenilitovém souvrství, odkud dále směrem do nadloží opět klesají s minimální hodnotou v krosněnských vrstvách. Převážná většina obsahů Ga odpovídá klarkové hodnotě — 25 ppm udávané pro pelity (Fairbridge 1972), nebo jsou výrazně vyšší. S velmi blízkými hodnotami iontových poloměrů a ionizačních potenciálů mezi Ga a Al souvisí i vysoký stupeň jejich geochemické příbuznosti (diadochické zastupování). V menším rozsahu Ga následuje též trojmožné železo (blízký iontový poloměr). Gallium je v recentních sedimentech vázáno převážně na jílové minerály (El Wakel - Riley 1961), a to zejména na minerály skupiny illitu (Nicholls - Lorring 1962). Nicholls a Lorring (1962) dále uvádějí, že část Ga, které není vázáno v detritických minerálech, bude pravděpodobně v asociaci s organickou hmotou (adsorbováno na  $C_{org}$ ). Zvýšené obsahy Ga v podmenilitovém souvrství budou souviseť hlavně se zvýšenými obsahy železa (zejména  $Fe_2O_3$ ), v istebnánských vrstvách vedle možnosti asociace s organickou substancí a v godulském souvrství (kromě pestrých vrstev) také se zvýšenými obsahy slídových minerálů (minerály skupiny illitu — výrazně zvýšené obsahy  $K_2O$ ). V jílovech spodního oddílu godulského souvrství nebyl nalezen žádný korelační vztah jak s  $Al_2O_3$ , tak se  $\Sigma$  oxidů Fe (obr. 4). V převážné části sedimentů byla zjištěna pozitivní korelace mezi Ga a Rb, Mo, Sn, Th, někdy též s Cr a Ti.

Nejvyšší obsahy molybdenu jsou vázány na horniny menilitového souvrství, slabě zvýšené jsou ještě v krosněnských vrstvách (hlavně v jejich bazální části), dále ve veřovických vrstvách a v těšinskohradištském souvrství. O možnosti zvýšených koncentrací v těšinskohradištském souvrství a veřovických vrstvách bylo diskutováno v souvislosti s mědí. Molybden, podobně jako další těžké kovy (Cu, Ni, Co, Zn ap.), může být vázán v oxidických minerálech železa nebo koloidní frakci sedimentu. Podle některých autorů (Isajeva 1974, Lev-

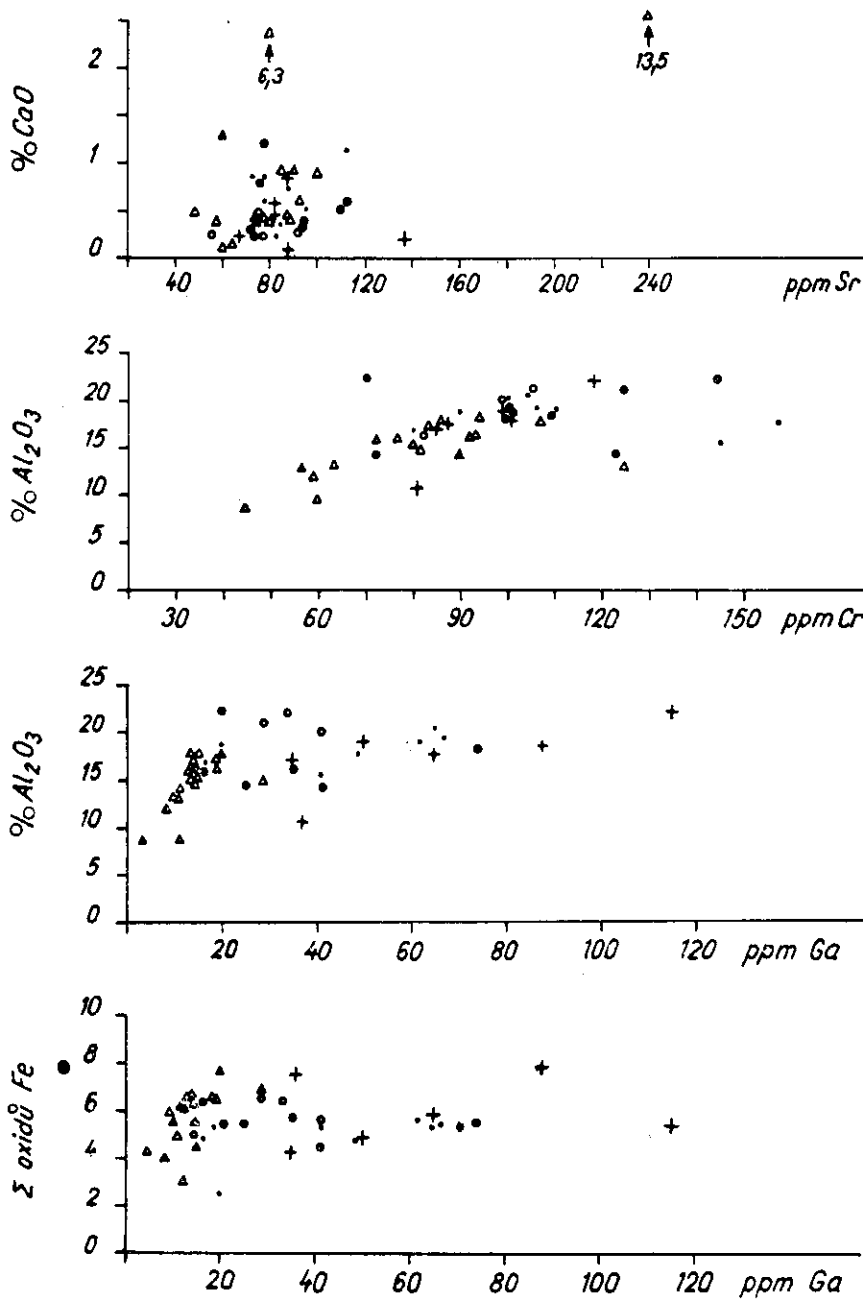


še v et al. 1975) mohou být zvýšené koncentrace Mo pozitivně ovlivněny přítomností pyroklastického materiálu. S tímto zjištěním je ve shodě vysoký obsah Mo ve vzorku tufitu (tab. 3). Molybden také patří mezi prvky, jejichž akumulace probíhá též chemickou cestou procesem pohlcování z mořské vody. Biochemické obohacování závisí na charakteru planktonu, který převládá v bázenu. Molybden — jako biokatalyzátor je důležitým aktivátorem v transformaci nitrátů na nitrity u modrozelených a zelených řas (Aron et al. 1955). V sedimentech s převahou vápnitého planktonu se objevují vyšší koncentrace Mo (př. globigerinové slínny — Adamová 1980, Adamová - Stráník 1984). V horninách menilitového souvrství jsou výrazně zvýšené koncentrace Mo a V (jak bude uvedeno dále), což odpovídá smíšenému charakteru planktonu. Na základě výsledků studia lze předpokládat, že Mo v menilitovém souvrství se koncentroval jednak biochemickou cestou, jednak jako primární zdroj alespoň části Mo přistupuje pyroklastický materiál (přítomnost tufitu v menilitovém souvrství, obsahy cristobalitu a zvýšené množství montmorillonitu v jílových). Zvýšené obsahy Mo byly také zjištěny v pískovcích těšinskohradišťského souvrství. Významné pozitivní korelace byly nalezeny zejména mezi Mo a Sn, Ag, As, Ga, Th a S. V menilitovém souvrství s U, V, Cu a Ni. S uranem je také významná korelace v jílových redukčního paleocénu a spodních těšinských vrstev (Adamová 1983a).

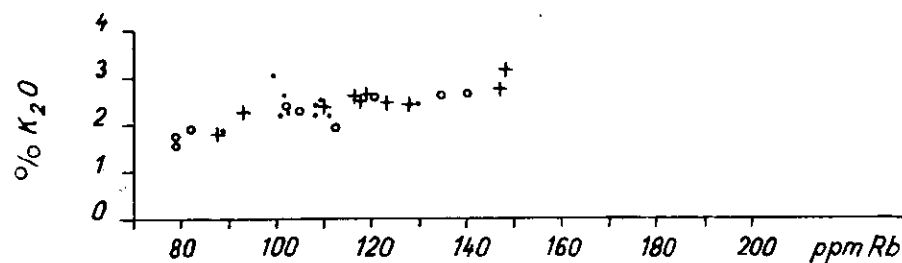
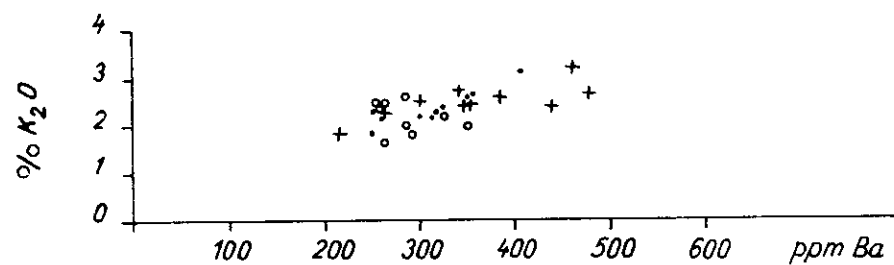
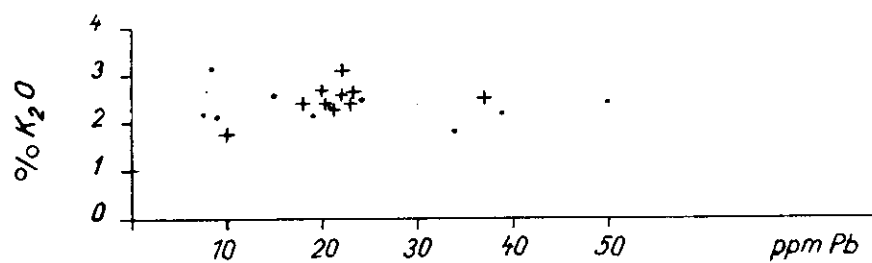
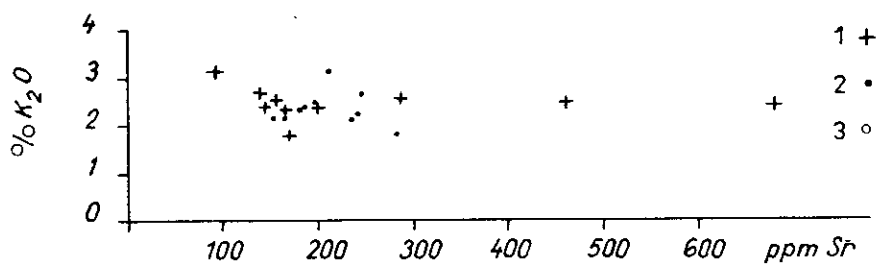
Koncentrace vanadu jsou v celém lithostratigrafickém profilu slezské jednotky (s výjimkou lhotických vrstev) zvýšené proti klarkové hodnotě 130 ppm (Kraft et al. 1969). Maximální koncentrace dosahuje vanad v horninách menilitového souvrství. V godulském souvrství byly nejvyšší obsahy V, podobně jako Cu, Ba a Rb nalezeny jak v jílových, tak pískovcích středního oddílu (Adamová 1980, Adamová in Menčík et al. 1983). Významnými nositeli vanadu by mohly být jílové minerály (zejména minerály skupiny montmorillonitu — Hirst 1962), Fe-oxidické minerály a snad i autigenní miuerály Ti (Hardenrath 1951, Goldberg - Arrhenius 1958). Zvýšené obsahy V mohou být vázány na dispergovanou organickou hmotu. Vanad projevuje také tendenci k biochemické koncentraci v sedimentech s převahou křemičitého planktonu (Harey 1939). Hraje úlohu katalyzátoru v procesech fotosyntézy, tzv. „dark reaction“ (Aron - Wessels 1953). Uchovává se v sedimentech v důsledku tvorby pevných metalloorganických komplexů. Zvýšené obsahy V mohou být přítomny v pyroklastickém materiálu (viz vysoký obsah vanadu v tufitickém sedimentu z menilitového souvrství — 1121 ppm). To, co bylo řečeno o způsobu koncentrace molybdenu v menilitovém souvrství, bude

3. Bodový diagram Rb-K<sub>2</sub>O, Ba-K<sub>2</sub>O, Pb-K<sub>2</sub>O, Sr-K<sub>2</sub>O v pelitickejch sedimentech istebnánských vrstev a godulského souvrství slezské jednotky

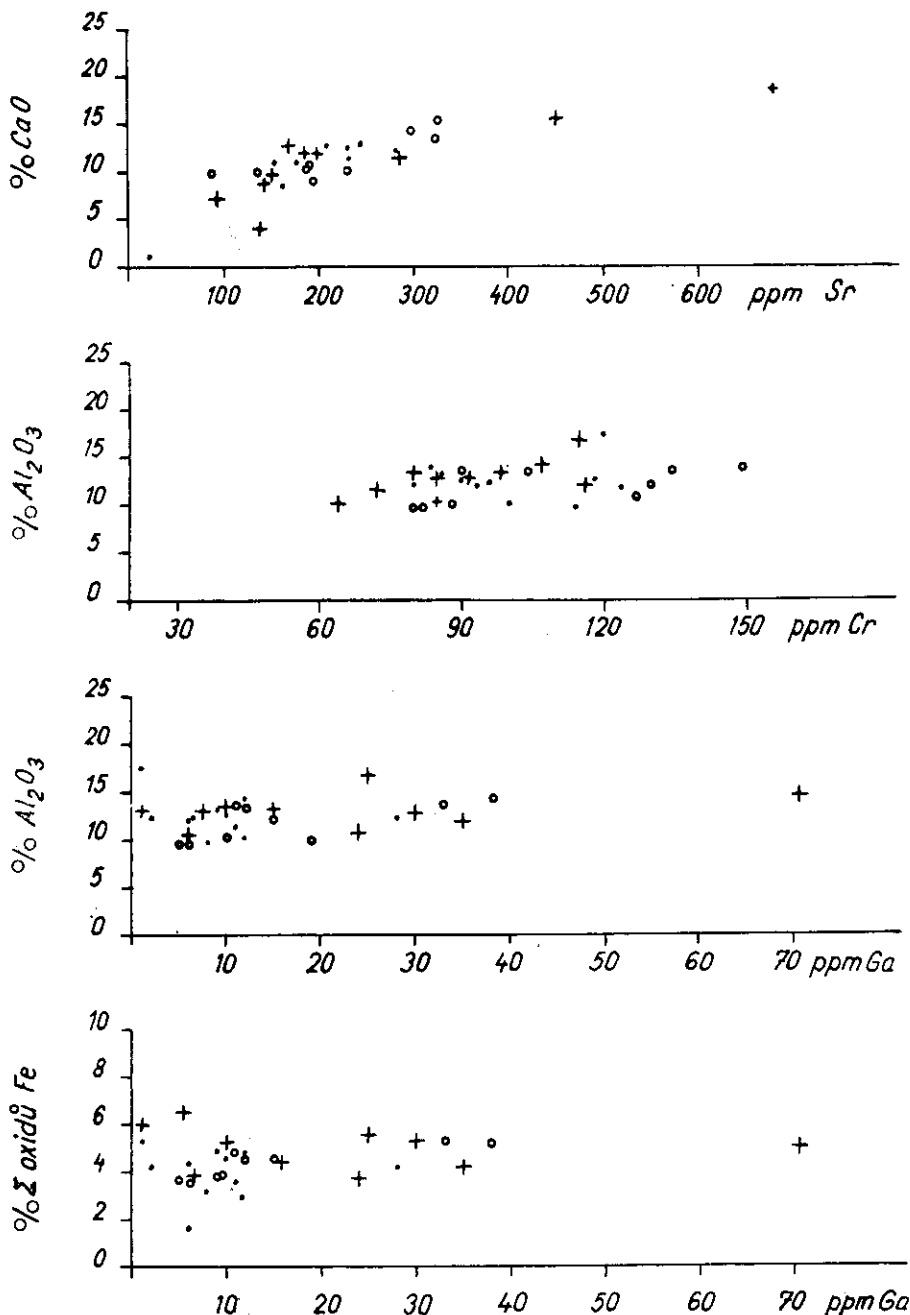
1 — istebnánské vrstvy; 2 — svrchní oddíl godulského souvrství; 3 — střední oddíl godulského souvrství; 4 — spodní oddíl godulského souvrství; 5 — pestré vrstvy godulského souvrství



4. Bodový diagram Ga-Σoxidů Fe, Ga-Al<sub>2</sub>O<sub>3</sub>, Cr-Al<sub>2</sub>O<sub>3</sub>, Sr-CaO v pelitických sedimentech istebňanských vrstev a godulského souvrství slezské jednotky  
Vysvětlivky viz obr. 3



5. Bodový diagram Rb-K<sub>2</sub>O, Ba-K<sub>2</sub>O, Pb-K<sub>2</sub>O, Sr-K<sub>2</sub>O v jílových krošněnských vrstev slezské jednotky a ždánicko-hustopečského souvrství ždánické jednotky  
 1 — krošněnské vrstvy; 2 — ždánicko-hustopečské souvrství, flyšový vývoj; 3 — ždánicko-hustopečské souvrství, pelitický vývoj



6. Bodový diagram Ga-Σoxidů Fe, Ga-Al<sub>2</sub>O<sub>3</sub>, Cr-Al<sub>2</sub>O<sub>3</sub>, Sr-CaO v jílových krosněnských vrstv slezské jednotky a ždánicko-hustopečského souvrství ždánické jednotky  
Vysvětlivky viz obr. 5

s největší pravděpodobností platit i pro vanad (s vazbou vanadu na minerály skupiny montmorillonitu a metaloorganické sloučeniny). Pro vanad jsou charakteristické pozitivní korelace s Ni, Cr, Zn a U; v menilitovém souvrství zejména s U, Mo, dále s As, Cu, Ni, Zn, Cr a Co.

Nejvyšší obsahy zinku jsou vázány na jílovec podmenilitového souvrství a středního oddílu godulského souvrství, minimální koncentrace byly zjištěny v bazální části slezské jednotky. Koncentrace zinku v celé slezské jednotce odpovídají klarkové hodnotě 80 ppm nebo jsou vyšší (Kraft et al. 1969, Vingrafová 1962). Zinek je převážně vázán v sulfidické formě (např. v jílovcích redukčního paleocénu a istebnanských vrstvách), v jílové frakci sedimentu a v Fe-oxidických minerálech (zejména v pestrých jílovcích podmenilitových vrstev).

Nejvyšší koncentrace síry jsou přítomny v horninách menilitového souvrství, v bazální části krosněnských vrstev, v podrohovcových vrstvách a redukčním paleocénu, zvýšené jsou obsahy S v těšínsko-hradišťském souvrství, veřovicích a istebnanských vrstvách (klark síry pro pelitické sedimenty je podle Krafta et al. 1969 — 3000 ppm, podle Hawkesa a Webb 1962 — 1100 ppm). Zvýšené obsahy S dobře korelují s výrazně redukčním charakterem sedimentačního prostředí výše jmenovaných vrstev a souvrství. Síra je převážně vázána v sulfidické formě (pyritu), v menilitovém souvrství ještě ve formě sulfátové — častý výskyt sádrovce a jarositu (ve vzorcích z povrchových výchozů). Část síry v menilitovém souvrství a podrohovcových vrstvách bude mít pravděpodobně organogenní původ. V pískovcích jsou nejvyšší obsahy S vázány v těšínsko-hradišťském souvrství.

Koncentrace stroncia v pelitických sedimentech slezské jednotky jsou obecně nižší, než průměrná hodnota 450 ppm udávaná pro pelity (Kraft et al. 1969). Výjimku představují vápnité jílovice a slínovce spodních těšínských vrstev a podrohovcových vrstev, slínovce menilitového souvrství a těšínské vápence (klarková hodnota pro karbonáty je 610 ppm Sr — Kraft et al. 1969). Nejnižší obsahy Sr jsou přítomny v sedimentech veřovicích a pestrých godulských vrstev, ve středním oddílu godulského souvrství a v redukčním paleocénu. Tyto výsledky potvrzují pozorování z recentních mořských sedimentů, ve kterých obsahy Sr dobře korelují s obsahy CaO (Goldberg - Arrhenius 1958, El Wakely - Riley 1961 aj.). Výjimkou ve studovaných sedimentech jsou jílovice godulského souvrství a istebnanských vrstev, v nichž nebyla nalezena žádná korelace s CaO ani s K<sub>2</sub>O (obr. 3 a 4). V souladu s poznatkami z pelitických hornin jsou i koncentrace Sr v pískovcích s maximem v těšínsko-hradišťském souvrství a zvýšenými obsahy v krosněnských vrstvách a svrchním oddílu godulského souvrství.

Průměrné obsahy cínu jsou v sedimentech slezské jednotky velmi nízké, nedosahují většinou ani poloviny klarkové hodnoty 10 ppm, kterou pro pelity udávají Kraft et al. (1969), Hawkes a Webb (1962) udávají dokonce

40 ppm. Maximální koncentrace Sn byly zjištěny v pestrých jílových podmenilitových vrstvách a lhotekých vrstvách. Významné pozitivní korelace s címem byly nalezeny u Ag, Ga, Cu, S, Mo, U, někdy též u V. Cín je v korelacích s U v podmenilitovém souvrství a ve svrchním a středním oddílu godulského souvrství.

Průměrné obsahy antimonu dosahují maxima v bazální a nejvyšší části slezské jednotky (slabé zvýšení vzhledem ke klarku 2 ppm, udávaného pro pelity Kraft et al. 1969) a v pestrých jílových podmenilitových vrstvách. V ostatních lithostratigrafických členech jsou obsahy Sb velmi nízké. Nejčastější pozitivní korelace antimonu jsou s Th, V, dále Cr, Mo a U.

Obsahy niobu v sedimentech celé slezské jednotky nikde nedosahují průměrných hodnot, uváděných Kraftem et al. (1969) a Vinogradovem (1962) — 20 ppm. Maximální koncentrace Nb jsou vázány na svrchní část godulského souvrství, dále na istebňanské a podmenilitové vrstvy a redukční paleocén. Lze říci, že poměrně dobře sledují koncentrace Cr. Kromě korelace s Cr je niob často v korelacích s Rb, Th, Ti, Zr, Ga, ve středním oddílu godulského souvrství s Mo, As, U a Cr.

Ytrium dosahuje klarkové hodnoty 30 ppm (Kraft et al. 1969) v jílových istebňanských vrstvách, redukčního paleocénu a středním oddílu godulského souvrství. Ytrium má tendenci poklesu od těšínských po lhoteké vrstvy; s nástupem sedimentace godulského souvrství obsahy Y stoupají a dosahují maxima v jílových istebňanských vrstvách a redukčního paleocénu, odkud je patrný opět slabý pokles do nadloží. Ytrium vykazuje pozitivní korelací zejména se Zn, Ba, Ga, Th, někdy také s Ti a Zr. Výrazným deficitem se vyznačují koncentrace Y v píscevých (klarková hodnota 40 ppm — Kraft et al. 1969).

Koncentrace rubidia jsou ve svrchní a zejména spodní části slezské jednotky značně deficitní vzhledem ke klarkové hodnotě pro pelitické sedimenty — 200 ppm (Kraft et al. 1969) a 250 ppm (Krauskopf 1967). S nástupem sedimentace godulského souvrství obsahy Rb rychle vzrůstají (s maximem 264 ppm ve středním oddílu). Náhlý pokles v množství Rb nastává v nadloží menilitového souvrství. Jak ukazují bodové diagramy (obr. 3, 5), bude převážná část Rb vázána v jílové frakci sedimentů, především na slídové minerály.

Koncentrace zirkonia se vyznačuje minimálními obsahy v bazální a nejvyšší části slezské jednotky a maximem v godulském souvrství a istebňanských vrstvách. Tomuto rozdělení odpovídají i koncentrace Zr v píscevých (s maximálními obsahy ve středním oddílu godulského souvrství). Udávaná klarková hodnota pro píscevce i jílovec je podle Krafta et al. (1969) — 200 ppm. Zirkonium kromě vazby na těžké minerály (zirkon) bude přítomno též v koloidní frakci sedimentů. Pro zirkonium jsou charakteristické významné pozitivní korelace s Rb, Ti, Th, často též s Ga, Y a V.

Koncentrace titanu pozvolna vzrůstají od báze slezské jednotky směrem do nadloží s náhlým vzrůstem ve spodním oddílu godulského souvrství. Maximální

obsahy Ti byly nalezeny ve středním oddílu godulského souvrství a v redukčním paleocénu, minimální pak ve veřovických a krosněnských vrstvách. Průměrné obsahy titanu pro pelity udává Shaw (1954) — 0,81 %  $TiO_2$ , Kraft et al. (1969) — 4500 ppm Ti. Podle Goldschmidta (1954) je nosným minerálem titanu v pelitech obecně rutil, částečně též anatas. Vedle klastického rutulu může být titan vázán na jílovou frakci sedimentu (zejména minerály skupiny montmorillonitu — Mindsay 1960). Titan bývá v sedimentech slezské jednotky v pozitivní korelace zejména s Rb, dále Zr, Th, v menším rozsahu s Ga, V a Cr (Adamová 1983a).

#### Typ rozdělení stopových prvků v pelitických sedimentech slezské jednotky

Na základě výsledků statistické analýzy (hodnoty šíkmosti a špičatosti) bylo u sledovaných prvků v jednotlivých lithostratigrafických členech slezské jednotky stanoveno zhruba toto rozdělení.

Ag, Sb a U mají v celém profilu slezské jednotky rozdělení bližící se k lognormálomu typu; As, Ga, Mo, Sn, S a Sr mají převážně téměř lognormální typ rozdělení; k normálnímu rozdělení se blíží síra jen ve spodních těšínských a hradišťských vrstvách, stroncium v hradišťských, veřovických, spodních godulských vrstvách a redukčním paleocénu, cín v hradišťských až pestřích godulských vrstvách, molybden v hradišťských a veřovických vrstvách a menilitových jílových, Ga v pestřích godulských vrstvách a menilitových jílových, As v menilitových jílových, redukčním paleocénu a istebňanských vrstvách.

Ostatní prvky — B, Be, Ba, Co, Cr, Cu, Nb, Ni, Pb, Rb, Th, Ti, V, Y, Zn a Zr mají převážně charakter rozdělení blízký k normálnímu typu (Adamová 1983a,b).

Z výsledků studia vyplývá, že celá řada stopových prvků má více či méně lognormální rozdělení v horninách godulského souvrství a spodní části slezské jednotky — spodní těšínských vrstvách, event. i v těšínsko-hradišťském souvrství. Bór, titan a zejména zirkonium mají téměř lognormální rozdělení v krošněnských vrstvách. Stejný charakter rozdělení těchto prvků byl zjištěn v nejvyšší části ždánické jednotky ve ždánicko-hustopečském souvrství (Adamová 1980).

#### Koncentrace prvků vzácných zemin, uranu, thoria a hafnia

##### Prvky vzácných zemin

Nejvyšší obsahy sledovaných prvků vzácných zemin (R.E.E.) jsou vázány v jílových redukčním paleocénu, istebňanských vrstvách a godulského souvrství (tab. 5). Na tyto jílovec jsou zároveň také vázány nejvyšší obsahy Hf a Y. Hodnoty poměru lehkých a těžkých prvků vzácných zemin dosahují svého

maxima v godulském souvrství (42—48). Velice blízké obsahy jsou charakteristické pro jílovec lhoteckých vrstev a spodních a svrchních těšínských vrstev. V celém sledovaném profilu je patrná negativní Eu anomálie vzhledem k chondritům (CHI — Wedepohl 1975), což odpovídá dobře vyvinuté zemské káře (Taylor - McLennan 1981). Ve srovnání s obsahy těchto prvků v severoamerických jílových břidlicích (North American Shales — NAS; Haskin et al. 1968) má výraznější europiovou anomálii godulské souvrství (příl. 1).

Hodnoty poměru La/Th se ve sledovaném profilu slezské jednotky pohybují od 2,08 (rohovec) do 4,0 (spodní těšínské vrstvy). Pro svrchní zemskou káru byl tento poměr stanoven 2,7 (McLennan et al. 1980). Vysoké poměry La/Th a nízké poměry Th/U indikují podíl materiálu vulkanického původu (Bhattia - Taylor 1981). Nejvyšší hodnoty poměru La/Th byly nalezeny v menilitovém a těšínsko-hradišťském souvrství. Naopak hodnoty poměru Th/Yb a Th/U jsou v horninách těchto souvrství nejnižší. Relativně slabé obohacení La vůči Ce (hodnoty poměru La/Ce — Fairbridge 1972) lze pozorovat v těšínských a podrohovcových vrstvách, v jílovcích menilitového souvrství a středního oddílu godulského souvrství.

Všechny tyto údaje ukazují, že při sedimentaci godulského souvrství, istebňánských vrstev a částečně i redukčního paleocénu se významně uplatnil materiál granitoidního charakteru, ev. starší sedimenty odvozené z obdobného materiálu. V těšínských vrstvách a zejména v menilitovém souvrství lze konstatovat určitý příspěvek materiálu vulkanické provenience.

## Uran

Obsahy uranu sledují v celém profilu slezské jednotky obsahy vanadu. Nejvyšší konecentrace U jsou přítomny v horninách menilitového souvrství, v bazální části krosněnských vrstev a v podrohovcových vrstvách. Slabé zvýšení vzhledem ke klarku uranu (pro sedimentární horniny 1,2 ppm — Kitá-Badák - Badák - Saldaň 1965; 3,2 ppm pro šedé, rudé a zelené jílovice až jílové břidlice — Fairbridge 1972) bylo zjištěno v istebňánských vrstvách. Zvýšené obsahy uranu v menilitovém souvrství byly prokázány také ve ždánické jednotce (Adamová 1980, Adamová - Stráník 1984) a ve slezské jednotce polských flyšových Karpat, kde koncentrace uranu dosahují až 620 ppm (Badák - Gruszczynski - Kitá-Badák 1965; Kitá-Badák - Badák - Saldaň 1965). Tyto vysoké koncentrace jsou vázány na bituminózní břidlice ve spodní části menilitového souvrství (s obsahy organické hmoty od 4 do 13 %). Podle těchto autorů se uran vyskytuje v horninách v dispergované formě spojený s bituminózní substancí.

V menilitovém souvrství je uran pravděpodobně syngenetického původu a koncentruje se procesem sorpcí na planktonní organismy nebo na organickou

substanci v době její bitumenizace. Nejvyšší obsahy U byly nalezeny v diatomitech menilitového souvrství ždánické jednotky s vyšším podílem bitumenů v organické hmotě (Adamo 1983a). Lze tedy uvažovat o přenosu uranu do sedimentační pánve s vulkanickým materiélem, při jehož rozkladu přechází částečně do sedimentu, částečně zůstává v mořské vodě, odkud je sorbován organickou hmotou a jílovými minerály. Určité množství uranu mohlo být do bazénu přineseno povrchovými vodami z pevniny (Gabinet 1959).

O přenosu uranu spolu s pyroklastickým materiélem do sedimentační pánve menilitového souvrství svědčí jeho vysoký obsah v tuftických sedimentech ze slezské i ždánické jednotky.

### Thorium

Koncentrace thoria v sedimentech slezské jednotky dobře korespondují s obsahy prvků vzácných zemin. Nejvyšším obsahům Th (klarková hodnota pro pelity je 11 ppm — Kraft et al. 1969), které jsou vázány na godulské souvrství, istebňanské vrstvy a redukční paleocén, odpovídají i nejvyšší obsahy Y a REE (tab. 5).

Hodnoty poměru K/Th, které jsou podle Piller a Adams (1962) pro jílovice a jílové břidlice poměrně konstantní a blízké hodnotě 2200, dosahují svého maxima v jílovech godulského souvrství. Zvýšené obsahy K a vyšší hodnoty K/Th odrážejí vznik podílu jílového materiálu, především minerálů skupiny illitu v sedimentu. Odpovídající zvýšené koncentrace Th indikují, že thorium je v těchto sedimentech sdruženo hlavně s jílovou frakcí a to buď v jenomých detritických rezistentních částicích, nebo adsorbováno přímo na jílové minerály (adsorpční účinky jílů na thorium ukazují, že jíly mají kapacitu adsorbovat mnohem více Th za geologických podmínek, než jak se zdálo dříve; Piller - Adams 1962). U hornin godulského souvrství dochází k určitému poklesu v obsazích Th vzhledem k vysokým hodnotám obsahu drasliku. Tato změna lineárního trendu ve vztahu K k Th by mohla být dána, ale pouze v nepatrné míře, minerálním složením, ve kterém vedle zeeleta převládajících minerálů ze skupiny slíd může být v nepatrném množství přítomen i draselitý živec (nebyl však rentgenograficky zjištěn): jako hlavní faktor, jenž ovlivní množství Th. Lze uvažovat velkou rychlosť sedimentace (krátké časové období pro možnost sorpcí Th na jílové minerály).

U thoria je celkově patrný shodný trend jeho koncentrací s koncentracemi nejen prvků vzácných zemin a Y, ale též Ti, Zr, Rb, Nb a do určité míry i sumy oxidů železa.

### Hafnium

Vzhledem k průměrným hodnotám — 3 až 4,5 ppm Hf, které pro zemskou kůru udává Fairbridge (1972), je patrně výraznější obohacení hafniem

Tabulka 5

Průměrné obsahy (medián) a koncentrační rozsahy (v ppm) prvků vzácných ze  
K/Th, Th/U v horninách slezské jednotky. Ch — hodnoty poměru zjištěných obsahů  
NAS — dle k obsahům v severoamerických

stratigrafická pozice a litologie		počet zorků	La min.-max. m NAS CH	Ce	Sm	Eu	Tb	Yb
krošenské vrstvy — jilovce		8	23,1—39,0 31,8 0,99 101	44,7—73,1 59 0,8 71	4,2—6,17 5,8 1,01 29	0,88—1,33 1,2 0,97 16,5	<1—1,6 <1	1,82—2,5 2,1 0,68 11
menilit-krošenské vrstvy — jilovce		2	34,3—44,5 1,07 110 1,39 143	70—92,2 0,96 83 1,26 110	6,32—8,7 1,11 31,6 1,53 43,6	1,15—1,52 0,92 15,3 1,22 20,2	1,2—1,25 1,4 24 1,47 25	2,4—3,5 0,77 12 1,27 20
menilitové souvrství	jilovce	11	26,8—37,1 34 0,97 100	50,2—66,4 59 0,8 71	4,4—6,69 5,9 1,03 29,4	0,91—1,47 1,3 1,04 17,7	<1—1,41 <1	1,94—2,8 2,2 0,71 11
	rohovce	1	7,41 0,23 23,9	13,2 0,18 15,7	1,38 0,24 6,9	0,28 0,23 3,8	<1	<1
	slínovec	1	13,3 0,42 43	24,2 0,33 28,8	2,5 0,44 12,5	0,61 0,49 8,4	1	1,42 0,36 5,
	tufit	1	20,5 0,64 66,1	35,9 6,5 42,7	4,97 0,9 25	1,23 0,99 16,8	1	1
podrohovcové vrstvy — vápnitý jilovec		1	17,4 0,54 56,1	33,7 0,76 40,1	3,58 0,63 47,9	0,77 0,62 10,5	<1	<1
podmenilitové souvrství	pestré vrstvy — jilovce	6	24,5—36,3 31 0,97 100	54,3—77,0 68 0,95 80	4,93—7,2 6,0 1,06 30,3	1,0—1,48 1,3 1,06 18,1	<1—1,17 ~1	2,13—3,2 2,5 0,8 12,
	redukční paleocén — jilovce	7	29,2—46,2 37 1,14—119	66,6—91,2 83 1,2 99	6,4—9,9 7,7 1,4 38,5	1,28—1,9 1,64 1,32 22,5	<1—1,78 ~1	2,32—3,7 2,9 0,93 11

Tabulka 5

E.E.), U, Th, Y, Hf, a průměrné hodnoty poměru La/Th, Th/Yb, La/Ce, Hf/Zr, ých prvků k obsahům udávaným pro chondrity (K. H. Wedepohl 1975) dlicích (M. A. Haskin et al. 1968)

Lu	$\Sigma$ R.E.E.	La-Eu/Yb-Lu	Th	La/Th	Hf	Zr	U	$K/Th$
	$\Sigma$ R.E.E.+Y		Th/Yb	La/Ce	Y	Hf/Zr	Th/U	
29-0,39 0,36 74 11,4	100 126	38	7,6-12,9 <i>m</i> 9,5	3,34	2,5-5,04 <i>m</i> 4,0	132	<1,2-8,2 <i>m</i> 4,2	2372
			4,5	0,53	25	0,03	2,5	
31-0,69 .64 10 43 22,2	116-153 239-181	25-28	10,5-14,3	3,1-3,27	3,5-6,9	123-238	2,0-10,4	2121-2551
			3,6 4,4	0,49	23 28	0,03	1,4-5,2	
.28-0,5 0,36 78 11,4	105 131	37	5,3-11,5 <i>m</i> 9,2	3,62	1,6-6,18 <i>m</i> 4,5	148	4,4-24,8 <i>m</i> 11,5	2280
			3,93	0,53	26	0,03	0,8	
0,10 21 3,2	22,9 29,9	—	3,55	2,08	4,07	25	1,1	1032
			—	0,56	7	0,04	3,5	
0,16 .33 5,2	41,9 59,9	32	3,63	3,66	1,59	45	2,5	1943
			3,24	0,55	18	0,13	1,4	
0,28 .58 9,0	63,3 27,3	—	6,25	3,28	3,29	80	21,4	
			—	0,57	14	0,04	0,29	
0,28 .58 9,0	56,3 74,3	—	5,49	3,17	<1	28	9,28	1704
			—	0,52	18	—	0,59	
.27-0,51 0,36 .7 11,4	410 137	39	11,1-14,6 <i>m</i> 12,2	2,66	3,6-8,8 <i>m</i> 4,7	162	<1,2-5,2 <i>m</i> 3,6	2100
			4,77	0,48	26	0,03	3,7	
.39-0,54 0,46 .94 14,8	133 165	39	11,5-17,7 <i>m</i> 13,8	2,74	3,4-6,97 <i>m</i> 4,9	169	<1,2-4,3 <i>m</i> 2,9	1805
			4,8	0,48	27+	0,03	5,3	

Tabuľka 5 (pokračovanie)

stratigrafická pozícia a litologie	počet vzorkov	La mín.-max. m NAS CH	Ce	Sm	Eu	Tb	Yb
istebňanské vrstvy — jílovce	8	24,8–51,1 36,2 4,13–117	66,0–108,1 77,5 1,05–92,3	6,07–10,7 6,8 1,2–34	1,1–2,61 1,43 1,15–19,6	<1–1,13 1,03 1,21–21	1,49–3,11 2,92 0,95–15,4
svchui oddil — jílovce	5	34,3–43,5 37,5 1,17–121	64,0–78,0 73,5 1,04–87,5	5,3–6,73 6,3 1,1–32	0,88–1,26 1,15 0,94–16	<1–1,1 1 0,78–12,4	1,9–2,98 2,4 0,78–12,4
godulské souvrství							
strední oddil — jílovce	4	32,5–50,3 43,4 1,36–140	60,0–78,5 75 1,01–89	4,8–5,48 5,2 0,9–26	0,94–1,11 1,0 0,8–13,7	<1–1,23 1,0 1,2–21	1,51–3,1 2,1 0,38–11,1
spodní oddil — jílovce	4	36,7–45,0 40,3 1,26–130	57,0–84,1 78 1,08–93	3,7–6,32 6,0 1,08–30	0,9–1,42 1,12 0,9–15,3	<1–1,26 <1 0,9–15,3	1,9–2,76 2,5 0,8–13
pestré godulské vrstvy — jílovce	6	28,6–37,3 33,1 1,03–107	56,6–87,0 70 0,94–83	4,6–8,07 5,6 0,94–28	0,98–2,81 1,3 1,04–17,8	<1–1,44 <1 1,04–17,8	1,55–2,36 2,0 0,66–10,5
lhotecké vrstvy — jílovce	6	19,5–26,5 23,4 0,73–76	40,5–55,0 47 0,64–56	3,6–4,63 4,0 0,7–20	0,77–1,03 0,86 0,7–11,8	<1 0,55–8,9	1,32–2,31 1,7 0,55–8,9
veřovické vrstvy — jílovce	6	18,7–35,0 24,8 0,77–80	36,6–66,5 55 0,75–65	3,22–6,2 5,0 0,88–25	0,76–1,7 1,17 0,96–16,0	<1 0,6–10	1,3–2,31 1,9 0,6–10
tešinskohradítské souvrství							
hradištské vrstvy — jílovce	5	22,3–32,2 31,0 0,97–100	50,0–73,8 69 0,94–82	4,3–7,03 5,7 1,0–29	0,98–1,72 1,33 1,04–18,2	<1–1,69 <1 0,7–11,5	2,05–2,58 2,2 0,7–11,5
svrchní těšínské vrstvy — vápnitě jílovce	6	26,4–36,2 29,6 0,89–94	48,3–75,0 52 0,71–62	3,74–7,3 4,1 0,74–21	0,87–1,7 0,9 0,72–12,3	<1–1,29 <1 0,59–9,6	1,2–2,61 1,8 0,59–9,6
spodní těšínské vrstvy — vápnitě jílovce, slínovce	7	17,9–38,0 23,1 0,72–75	26,7–71,0 40 0,54–48	2,87–4,84 3,7 0,64–18	0,84–1,0 0,84 0,68–11,5	<1 0,57–9,5	1,35–3,2 1,8 0,57–9,5

v istebňanských vrstvách a godulském souvrství, zejména ve svrchuím a spodním oddílu. Pomér Hf/Zr je v celém lithostratigrafickém profilu málo variabilný, jeho hodnoty se pohybují převážně v rozmezí 0,02–0,04: zcela převládající hodnota je 0,03 (tab. 5). Nejčastěji udávaná průměrná hodnota poměru Hf/Zr pro minerály zirkonia — hlavně zirkon je 0,02–0,03 (Fairbridge 1972).

Tabuľka 5

Lu	$\Sigma$ R.E.E.	La-Eu/Yb-Lu	Th	La/Th	Hf	Zr	U	K/Th
	$\Sigma$ R.E.E.+Y		Th/Yb	La/Ce	Y	Hf/Zr	Th/U	
0,39–0,62 0,52 1,08 16,8	127 156	37	11,5–19,9 <i>m</i> 13,0 4,6	2,9 0,47	5,6–8,11 <i>m</i> 7,0 32	225 0,03	1,2–4,8 <i>m</i> 4,2 3,7	
0,39–0,59 0,53 1,1 17,1	122 150	43	11,8–14,0 <i>m</i> 13,0 5,51	2,9 0,51	5,7–7,2 <i>m</i> 6,6 28	210 0,03	1,2–4,6 <i>m</i> 2,5 5,2	2823
0,42–0,54 0,47 0,98 15,2	125 159	48	10,5–14,2 <i>m</i> 14,0 6,75	3,2 0,58	3,2–6,1 <i>m</i> 4,5 34	188 0,024	<1,2–5,4 <i>m</i> 2,4 5,5	3449
0,41–0,61 0,51 1,05 16,5	129 156	42	9,0–14,8 <i>m</i> 13,2 5,33	3,1 0,52	3,9–7,9 <i>m</i> 5,3 27	200 0,03	<1,2–4,9 <i>m</i> 3,8 3,6	2694
0,29–0,41 0,33 0,7 10,6	104 126	48	9,3–12,9 <i>m</i> 10,7 5,61	3,1 0,51	2,13–4,4 <i>m</i> 3,0 24	127 0,025	<1,2–4,2 <i>m</i> 2,2 4,5	3090
0,24–0,43 0,34 0,71 11	75 95	35	7,9–9,7 <i>m</i> 8,9 5,2	2,66 0,50	2,4–4,2 <i>m</i> 3,7 20	127 0,03	<1,2–3,4 <i>m</i> 2,1 4,8	2015
0,22–0,53 0,37 0,77 11,9	88 109	37	6,2–10,9 <i>m</i> 8,0 4,0	3,1 0,49	1,8–3,6 <i>m</i> 2,9 23	105 0,03	<1,2–4,4 <i>m</i> 2,8 2,9	2002
0,30–0,49 0,38 0,8 12,3	109 136	40	7,3–10,8 <i>m</i> 10,2 4,1	3,2 0,45	2,96–4,7 <i>m</i> 3,3 24	114 0,03	<1,2–3,5 <i>m</i> 2,6 3,8	1938
0,29–0,41 0,35 0,75 11,3	88 106	40	7,56–10,8 <i>m</i> 7,9 4,56	3,52 0,58	2,9–6,03 <i>m</i> 4,2 21	147 0,03	<1,2–4,3 <i>m</i> 2,3 3,3	1993
0,21–0,36 0,26 0,55 8,4	69 92	33	4,26–11,1 <i>m</i> 6,1 3,44	4,0 0,66	1,3–2,1 <i>m</i> 1,9 21	53 0,035	<1,2–3,2 <i>m</i> st. > 3	2270

S výjimkou některých slinitých sedimentů odpovídají vypočtené hodnoty literárním údajům.

Zvýšené obsahy Hf spolu s nejvyššími koncentracemi Zr v istebňanských vrstvách a godulském souvrství ukazují na významný přínos klastického materiálu granitoidní povahy během jejich sedimentace.

## **Organická hmota ve studovaných sedimentech**

### **Sledované parametry**

Byly sledovány obsahy organické hmoty a jednotlivých genetických typů, charakterizovaných koncentrací organického uhlíku ( $C_{org}$ ), silně karbonifikované organické složky (kerogenu- $C_{zbyt}$ ), meziproduktů karbonifikačního procesu, které jsou vyjádřeny obsahem huminových látek ( $C_{hum}$ ) a produktu bitumenizačního procesu ( $C_{bit}$ ). Jednotlivé genetické typy jsou charakterizovány takto: kerogén — nerozpustná organická hmota — je definován jako složka, nerozpustná v organických a alkalických rozpouštědlech; huminové látky jsou definovány jako podíl organické látky rozpustný v alkalických rozpouštědlech (5 % NaOH nebo KOH); bitumeny jako podíl organické složky rozpustný v organických rozpouštědlech, jako např. chloroformu.

Celkový obsah rozptýlené organické hmoty je parametrem, který je závislý na sedimentologických, příp. faciálních podmínkách sedimentace. Obsah organické hmoty je v reciproké závislosti na zrnitosti sedimentů. Nejvyšší obsahy v hodnotách hmotnostních % mají sedimenty pelitické, v 0.X % psamitické a nejnižší jsou v sedimentech s vysokým podílem karbu nátř.

Zastoupení jednotlivých genetických typů organické hmoty vyjádřené tzv. uhlíkovou bilancí (tj. procentuálním podílem obsahu  $C_{zbyt}$ ,  $C_{hum}$ , a  $C_{bit}$  v celkové hmotnosti organického uhlíku) vyjadřuje pokročilost metamorfózy organického substrátu (poměr  $C_{zbyt}$  a  $C_{hum}$ ), nebo migraci pohyblivé bituminózní složky. Na tyto procesy zvláště citlivě reaguje složení organické hmoty v psamitických sedimentech.

Výsledky řízené pyrolyzy jsou vyjádřeny indexy  $S_1$ ,  $S_2$ ,  $S_3$ ,  $T_{max}$ , IP, IH, IO. Index  $S_1$  charakterizuje obsah primárních v hornině již přítomných uhlovodíků, index  $S_2$  vyjadřuje obsah uhlovodíků, vzniklých sekundárně pyrolitickým rozkladem organické hmoty přítomné v hornině. Index  $S_3$  představuje obsah  $CO_2$  uvolněný rozkladem organické hmoty v hornině a index  $T_{max}$  značí teplotu ve °C, při které dochází k maximální pyrolyze. Indexy IP (index produkce), IH (vodíkový index) a IO (kyslíkový index) jsou odvozenými ukazateli z hodnot  $S_1$ ,  $S_2$  a  $S_3$ . Index produkce charakterizuje poměr v obsahu primárních a termickým přepracováním vzniklých uhlovodíků. Je vyjádřen zlomkem  $\frac{S_1}{(S_1+S_2)}$ , přičemž hodnoty blízké 1 charakterizují horniny s vysokým obsahem primárních uhlovodíků.

Indexy IH a IO charakterizují látkové složení rozptýlené organické hmoty. Nízké hodnoty IH (<100) a zvýšené hodnoty IO (hodnoty v desítkách) jsou typické pro terestrický materiál kontinentálního původu, hodnoty IH nad 100 a nízké hodnoty IO charakterizují sapropelový, zpravidla zoogenní materiál.

Nasycené parafinické uhlovodíky jsou indikátorem složení matečného organického substrátu, pokročilosti jeho přeměny, příp. migrační diferenciace. Posouzení stupně metamorfózy se opírá o tzv. CPI (carbon preference index), vyjadřující poměr zastoupení sumy obsahů lichých a sudých uhlovodíků. Pokročilá stadia přeměny jsou charakterizována hodnotami blízkými 1. Pro kontinentální splachový materiál je typický vysoký podíl uhlovodíků s maximem obsahů individuálních uhlovodíků s 25 až 30 uhlíky v molekule, mořský substrát obsahuje uhlovodíky se 14 až 25 uhlíky v molekule.

## Diskuse

Nejvyšší koncentrace organické hmoty byly ve slezské jednotce zjištěny v horninách podrohovcových vrstev a menilitového souvrství, dále vyšší obsahy jsou vázány na spodní těšínské vrstvy, veřovické vrstvy a redukční paleocén. Nejnižší množství organické substance je přitomno s výjimkou svrchního oddílu v pelitech godulského souvrství a v pestrých vrstvách podmenilitového souvrství (tab. 6). Nejpokročilejší stupeň karbonifikáční metamorfózy rozptýlené organické hmoty vykazují horniny redukčního paleocénu, istebnanských a veřovických vrstev. Podíl huminových látek na uhlíkové bilanci přesahuje zejména výjimečně 5 %. Rovněž obsah bitumenů je nízký (s maximem v menilitovém souvrství) a je omezen pouze na reziduální složku (nejvyšší podíl 5–8 % bitumenů v  $C_{org}$ ).

Index  $T_{max}$  ukazuje na nižší až střední stupeň tepelné metamorfózy rozptýlené organické hmoty. Do nejvyššího stupně je přeměněna organická hmota jílovců istebnanských vrstev. Obsah primárních uhlovodíků je v celém sledovaném souboru vzorků velmi nízký. Relativně nejvyšší množství bylo nalezeno v rohovcových jílovcích menilitového souvrství a v jílovcích krosněnských vrstev (tab. 7).

Malý podíl primárních uhlovodíků je výsledkem buď málo pokročilé bituménizační metamorfózy organického substrátu nebo vytěsnění pohyblivého podílu. Celkově výrazně převládají uhlovodíky sekundární, které jsou ve sledovaných horninách vždy několikanásobkem obsahu volných uhlovodíků.

Menilitové souvrství slezské, stejně jako ždánské jednotky, obsahuje výrazně zvýšené množství rozptýlené organické hmoty ve vztahu k ostatním souvrstvím, přičemž menilitové sedimenty slezské jednotky jsou podle CPI indexů nasycených parafinických uhlovodíků (tab. 8) v podstatě pokročilejším stadiu karbonifikáční přeměny, než menilitové horniny ždánské jednotky (Adamová 1983a).

Z hlediska chemického složení se výrazně odlišuje rozptýlená organická hmota rohovcových vrstev menilitového souvrství a podrohovcových vrstev jak slezské, tak ždánské jednotky. Podle vodíkového indexu ji tvoří smíšený sapropelový a terestrický materiál (zvýšené hodnoty IH a nižší hodnoty IO). Smíšený sapropelový a terestrický organický materiál se také vyskytuje v organické hmotě jílovců krosněnských vrstev (tab. 7, vzorek č. 1888). Naproti tomu převážná část organické hmoty ostatních sledovaných hornin představuje hlavně fylogenní terestrický materiál (z kontinentálních splachů).

## Paleosalinita

Stanovení charakteru sedimentačního prostředí, zejména paleosalinity, má význam nejen pro paleogeografické studium, ale též jako nepřímá metoda stratigrafie.

T a b u l k a 6

Celkové obsahy organické hmoty a jednotlivých genetických typů ( $C_{org}$ , těchto genetických typů vyjádřené tzv. uhlikovou bilancí a hodnoty

litostratigrafické zařazení		počet vz.	celková organická hmota	$C_{org}$	$C_{zbyt}$
krovněnské vrstvy — jílovce		10	1,926 + 0,940	0,800 0,741	0,770 0,682
menilit-krovněnské vrstvy — jílovce		4	3,075	2,450	2,380
menilitové souvrství	slínovec	1	2,102	1,655	1,398
	jílovce a vápnité jílovce	10	5,880 + 4,910	4,636 3,919	4,259 3,633
	rohovec	1	4,691	3,694	3,442
podrohovcové vrstvy — vápnitý jílovec, slínovec		2	5,743—10,712	4,522—8,434	4,329—7,980
podmenilitové souvrství	pestrý vývoj — jílovce	11	0,648 + 0,364	0,500 0,301	0,483 0,271
	redukční paleocén — jílovce	8	2,558 + 2,320	2,014 1,850	1,900 1,810
istebňanské vrstvy — jílovce		8	1,736 + 1,975	1,371 1,560	1,350 1,520
grodulské souvrství	svrchní oddíl — jílovce	7	1,180 + 1,044	0,930 0,826	0,900 0,791
	střední oddíl — jílovce	2	0,126—1,120	0,090—0,882	0,085—0,842
	spodní oddíl — jílovce	6	0,403 + 0,283	0,317 0,223	0,302 0,212
	pestré vrstvy — jílovce	8	0,335 + 0,196	0,273 0,155	0,262 0,146
lhotecké vrstvy — jílovce		5	0,952 + 0,990	0,755 0,780	0,725 0,750
veřovické vrstvy — jílovce		9	2,328 + 2,101	1,833 1,712	1,789 1,654
těšínsko-hradišťské souvrství	hradišťské vrstvy — vápnité jílovce	6	1,407 + 1,360	1,108 1,070	1,084 1,051
	svrchní těšínské vrstvy — jílovce	3	1,231	0,972	0,927
spodní těšínské vrstvy — silně vápnité jílovce		8	2,623 + 2,328	2,122 1,891	1,967 1,718

+ aritmetický průměr (platí pro celý řádek), jinak uváděna hodnota mediánu, v pří-

Tabuľka 6

$C_{\text{zbyt}}$ ,  $C_{\text{hum}}$ ,  $C_{\text{bit}}$ ) vyjádřené v hmot. % C v hornině, procentuální za stoupení koeficientu bituminóznosti v sedimentech slezské jednotky

$C_{\text{hum}}$	$C_{\text{bit}}$	% $C_{\text{zbyt}}$	% $C_{\text{hum}}$	% $C_{\text{bit}}$	% $\text{CaCO}_3$	$K_{\text{bit}}$
0,006	0,037	94,5	0,79	4,8	19,3	0,045
0,006	0,033	94,4	0,80	4,9	20,2	0,037
0,025	0,070	94,5	2,8	2,8	1,2	0,090
0,116	0,140	84,5	7,0	8,5	47,3	0,154
0,099	0,273	92,3	1,75	5,93	9,0	0,298
0,061	0,256	92,4	1,10	5,9	4,7	0,270
0,042	0,210	93,2	1,1	5,7	0,8	0,223
0,038–0,087	0,155–0,367	94,6–95,8	0,8–1,1	3,4–4,4	22,3–49,6	0,159–0,388
0,009	0,023	94,0	3,3	2,63	6,3	0,007
0,006	0,007	94,6	2,8	2,80	3,1	0,006
0,007	0,017	98,8	0,32	1,04	2,0	0,020
0,007	0,017	98,7	0,34	1,0	2,5	0,018
0,007	0,030	97,6	0,4	2,4	1,9	0,032
0,007	0,034	97,6	0,4	2,2	2,0	0,035
0,009	0,018	96,9	1,14	1,97	1,9	0,018
0,010	0,018	97,3	1,3	1,9	2,0	0,018
0,005–0,032	0,008–0,008	86,2–95,5	3,6–5,3	0,9–8,5	0,6–1,2	0,009–0,008
0,008	0,007	94,4	3,3	2,4	1,3	0,006
0,006	0,006	95,0	2,3	2,7	1,2	0,006
0,005	0,006	91,5	4,1	4,4	3,3	0,006
0,004	0,006	94,1	2,0	4,0	3,0	0,006
0,007	0,018	96,7	0,96	2,34	4,8	0,002
0,008	0,021	97,2	1,4	2,4	5,2	0,002
0,006	0,030	97,4	0,41	2,4	1,7	0,032
0,006	0,030	97,5	0,35	2,35	1,5	0,032
0,006	0,035	96,5	0,5	3,2	30,8	0,036
0,005	0,035	95,8	0,48	3,55	33,0	0,037
0,014	0,025	95,4	1,43	2,6	24,0	0,026
0,005	0,091	94,9	0,23	4,8	45,7	0,096
0,004	0,089	94,8	0,2	4,9	44,3	0,095

padě dvou vzorků uváděn rozsah hodnot od—do

Tabuľka 7

Výsledky pyrolýzy ve vybraných studovaných vzorcích

číslo vzorku	litostratigrafické zařazení	S <sub>1</sub>	S <sub>2</sub>	T max.	S <sub>3</sub>	IP	IH	IO
slezská jednotka	1888 krošněnské vrstvy — jílovce	0,4	3,5	434	0,6	0,09	169	26
	1889 dto	0,04	0,1	445	0,5	0,23	45	116
	1770 podrohočovcové vrstvy — slínovce	0,22	16,53	424	1,01	0,02	370	22
	1924 podmenilitové souvrství — jílovce	0,04	—	—	0,6	—	14	197
	1929 dto	0,05	—	—	0,6	—	10	129
	1931 redukční paleocén — jílovce	0,02	—	—	0,4	—	6	123
	1933 istebňanské vrstvy — jílovce	0,1	0,6	459	0,7	0,15	38	41
	1891 godulské souvrství střední oddíl — jílovce	0,1	—	—	0,7	—	7	77

Tabuľka 8

Celkový obsah n-alkanů (v %), sumy obsahů lichých a sudých n-alkanů (v µg/g) a hodnoty poměru sumy lichých a sudých n-alkanů v sedimentech slezské jednotky

číslo vzorku	tektonická a stratigrafická pozice a litologie	celkový obsah n-alkanů	obsah lichých n-alkanů'	obsah sudých n-alkanů	CPI
slezská jednotka	1888 krošněnské vrstvy — jílovce	5,78	6,99	11,07	0,631
	1889 krošněnské vrstvy — jílovce	4,62	1,93	1,85	1,04
	1924 podmenilitové souvrství — jílovce	4,52	1,04	1,06	0,98
	1929 podmenilitové souvrství — jílovce	5,33	0,426	0,552	0,78
	1891 godulské souvrství střední oddíl — jílovce	7,08	0,808	0,958	0,85

grafické korelace. Geochemické metody umožňují určit jen podstatné rozdíly v paleosalinitě prostředí sedimentace. Z prací, zabývajících se touto problematikou vyplývá, že k určení původní salinity prostředí je vhodný zejména bór a hodnoty poměru Th/U.

## Bór

Během sedimentace je bór extraiován z mořské vody. Převládajícím procesem je vazba B na jílové minerály, zejména na minerály skupiny illitu, glaukonit a také na minerály

skupiny montmorillonitu. Sorpční kapacity těchto minerálů jsou podobné a daleko vyšší, než sorpční kapacita kaolinitu. Walker (1968) předpokládá, že bór vstupuje do tetraedrických pozic během vzniku illitu. Jde pravděpodobně o diadochii bóru za hlinik, i když diadochie B-Si byla také potvrzena. Experimentálně bylo zjištěno, že sorpce bóru na jílové minerály nezáleží jenom na jeho koncentraci v roztoku, ale též na reaktivním čase a teplotě vodních roztoků.

Poče literárních údajů (Ernst - Werner 1964, Tourtelot 1964, Reynolds 1972) je v mořských jílovcích a jílových břidlicích B přítomen v množství 100—200 ppm, ve sladkovodních uloženinách 10—50 ppm B. Jílovce uložené v brackém prostředí mívají 80—110 ppm B (Boška 1980). Pro karbonátové horniny se udávají průměrné obsahy kolem 20 ppm B, v pískovcích 35 ppm B. Podíl siltové nebo písčité složky, právě tak jako přítomnost karbonátů v jílovém sedimentu významně snižuje obsah bóru. Naopak, přítomnost vulkanogenního materiálu, ev. blízkost významných tektonických linii, mohou obsahy bóru zvyšovat (Cody 1970).

Zákonitosti rozdělení B mezi minerály skupiny illitu a mořskou vodou použil Reynolds (1965) při stanovení koncentrace B v prekambrickém moři. Pro korekci obsahu celkového B na bór vázaný v illitické frakci udává tento vztah:

$$\text{illit} = \text{B}_{\text{vzorek}} \times \frac{7,7}{\% \text{ K}_2\text{O}_{\text{vzorku}}}$$

Hodnota 7,7 představuje teoretický obsah K<sub>2</sub>O v čistém illitu v %.

Pro mořské pelitické sedimenty se udávají ekvivalentní obsahy B v rozmezí 300 až 400 ppm, pro sladkovodní méně než 200 ppm, pro bracké sedimenty 200—300 ppm bóru.

Průměrné obsahy B a zejména hodnoty ekvivalentního B zřetelně ukazují na mořské prostředí sedimentace všech studovaných sedimentů (tab. 9). Obsahy bóru vykazují určitou cyklickost, která dobře koresponduje s litofaciálním a tektonickým vývojem bazénu. Maximální obsahy ekv. B se projevují ve spodní a střední části cyklu, bazální části cyklu mají obsahy snížené, nejvyšší části cyklu obsahy výrazně nižší. Ve slezské jednotce mají nejvyšší koncentrace svrchní těšínské, hradišťské, veřovické a lhotecké vrstvy (620—660 ppm ekv. B — spodní a střední část cyklu), zatímco istebnánské vrstvy, které představují nejvyšší část cyklu, mají obsahy ekv. B 240 ppm. Podmenilitovým souvrstvím začíná sedimentační cyklus, který má maximální obsahy ekv. B v menilitovém souvrství, kdežto finální sedimenty tohoto cyklu — krosněnské vrstvy — mají obsahy B podstatně nižší. Obdobná situace byla zjištěna v jednotce žďánické (Adamová - Stráník 1984, Adamová 1983a).

Uvedené výsledky ukazují, že maximální obsahy B jsou přítomny v pelagických sedimentech (např. veřovické vrstvy a menilitové souvrství), tj. v sedimentech, jejichž rychlosť sedimentace byla relativně nejnižší. Klidná pomalá sedimentace dává možnost většího časového prostoru pro sorpcii B na jílové minerály. Naproti tomu flyšové sedimenty (gudulské souvrství, istebnánské a krosněnské vrstvy), jejichž velká mocnost v malém časovém období ukazuje na rychlou sedimentaci, se vyznačují relativně nižšími obsahy ekv. B.

T a b u l k a 9

Průměrné obsahy B (ppm) v jednotlivých litostratigrafických souborech slezské jednotky, počet vzorků, u kterých byl proveden přepočet na ekvivalentní B, jeho průměrné hodnoty a průměrné hodnoty poměru Th/U

stratigrafická pozice a litologie		počet vzorků	B	ekv. B	Th/U
krošenské vrstvy — vápnité jílovce		6	78	301	2,5
menilitové souvrství	— silnovec	1	29	320	
	(silicifikovaný) — jílovec	9	92	371	0,8
	— rohovec	1	32	593	3,5
podrohovcové vrstvy — vápnité jílovce		2	60—106	370—448	0,6—1,4
podmenilitové souvrství	pestré vrstvy — jílovce	9	101	333	3,7
	redukční paleocén — jílovce	5	130	324	5,3
istebnické vrstvy — jílovce		4	107	240	3,7
godulské souvrství	svrchní oddíl — jílovce	6	120	234	5,2
	střední oddíl — jílovce	3	186	312	5,5
	spodní oddíl — jílovce	8	136	310	3,6
	pestré godulské vrstvy — jílovce	10	158	408	4,5
lhotecké vrstvy — jílovce		18	160	660	4,8
veřovické vrstvy (silicifikované) — jílovce		15	134	620	2,9
těšínsko-bradišské souvrství	bradišské vrstvy — vápnité jílovce	12	152	644	3,8
	svrchní těšínské vrstvy — vápnité jílovce	5	206	591	3,3
spodní těšínské vrstvy — vápnité jílovce		8	142	580	3,0

### P o m ě r T h / U

Pro indikaci sedimentačního prostředí navrhli Adams a Weaver (1958) použití poměru Th/U. Podle uvedených autorů mají mořské sedimenty sledovaný poměr značně pod hodnotou 7, zatímco kontinentální sedimenty mají tento poměr nad 7. Hodnoty poměru Th/U nedosahují v horninách žádného lithostratigrafického členu slezské jednotky 7 (tab. 9). Určité zvýšení této hodnoty lze pozorovat v sedimentech godulského souvrství a redukčním paleocénem. Současně má godulské souvrství s výjimkou pestrých vrstev nižší obsahy ekvivalentního bóru. Je možné předpokládat, že vlivem tektonických pohybů došlo

k prohloubení pánve, což vedlo ke zvýšení přínosu materiálu z kontinentálních okrajů (event. ze slezské kordilléry) a tím i ke zvýšení koncentrace thoria v těchto sedimentech.

## Shrnutí výsledků

### Geochemické zhodnocení studovaných sedimentů s ohledem na jejich genezi

Variabilita mineralogického a chemického složení pelitů jednotlivých členů slezské jednotky úzce souvisí s celkovým vývojem tohoto sedimentačního prostoru. Počátek sedimentace (vápuité jílovce spodních těšínských vrstev) se vyznačuje nízkým stupněm chemické zralosti. Svrchní těšínské, veřovické a lhotické vrstvy zahrnují jílové sedimenty s relativně vyšším (středním) stupněm zralosti. Náhlý pokles zralosti nastává v godulském souvrství v období flyšového vývoje, v němž sedimentace jílovů nevytváří litologicky samostatně diferenčované sedimentární sekvence (spodní až svrchní oddíl godulského souvrství). U nadložních istebníanských vrstev, podmenilitového a menilitového souvrství, kde jílovec vytvářejí litologicky vyhraněné polohy nebo jsou převážnou složkou sedimentárních flyšových sekvencí, chemická zralost jílovů opět stoupá. Svého maxima (středního stupně) dosahuje v jílovech pestrého vývoje podmenilitového souvrství a v horninách menilitového souvrství.

Závěr sedimentace (krosněnské vrstvy) i při významném podílu jílovů se vyznačuje nízkým stupněm chemické zralosti. Uvedené charakteristice odpovídá variabilita obsahu jílových — zejména slídových minerálů a živeů (plagio-klasů), jejichž relativně nejvyšší koncentrace se objevují v jílovech flyšových sekvenční godulského souvrství.

Ve smyslu prací Wedepohla (1960), Vinogradova a Ronova (1956) a Savula et al. (1963) lze usuzovat, že hodnota poměru Ni/Co může ukazovat na složitost paleogeografických poměrů a postavení sedimentačních bazénů a hloubku ukládání sedimentů na s. okraji tethydního prostoru. Koefficient Ni/Co v lithostratigrafických členech slezské jednotky ukazuje, že sedimentační bazén dosáhl největších hloubek v období ukládání godulského souvrství, istebníanských vrstev a na počátku sedimentace podmenilitového souvrství, zatímco počátek a závěr sedimentace probíhal v relativně menších hloubkách (Adamová 1983c). Pro obecné marinní sedimenty se uvádí hodnota poměru Ni/Co — 4,23 (Wedepohl 1960) a 4,13 (Vinogradov - Ronov 1956); pro hlubokovodní pelitické sedimenty Pacifiku — 2,75 a Atlantského oceánu — 3,68.

V koncentracích Ga se obecně projevuje v celém vrstevním sledu slezské jednotky přímá závislost na obsazích  $\text{Al}_2\text{O}_3$  a sumy oxidů železa, přičemž počí-

naje sedimentaci spodních godulských vrstev nastává zřetelný trend vzrůstu množství Ga, kulminující v jílovcích istebňanských vrstev a redukčního paleocénu. Určité výkyvy ve vzájemných relacích mezi  $\text{Al}_2\text{O}_3$ , sumárním železem a Ga (obr. 4) naznačují, že na zvýšené koncentrace Ga mohly mít vliv i další faktory, jako např. zvýšený přínos zuhelnatělého rostlinného detritu.

Obsahy bóru vykazují určitou cyklickost, která dobře odpovídá litofaciálnímu vývoji slezské jednotky, který souvisí s tektonickým vývojem bazénů. Maximální obsahy ekvivalentního B se projevují ve spodní a střední části cyklu, v bazální části cyklu jsou obsahy slabě snížené, zatímco nejvyšší části cyklu mají koncentrace ekv. B zřetelně nižší.

Ve slezské jednotce mají nejvyšší koncentrace ekv. B hradišťské, veřovické a lhotecké vrstvy (620–660 ppm – střední část cyklu), zatímco istebňanské vrstvy, které představují nejvyšší část cyklu, mají obsahy ekv. B 240 ppm. Výsledky studia ukazují, že maximální obsahy bóru jsou přítomny v pelagických sedimentech (např. veřovické vrstvy, menilitové souvrství), tj. v sedimentech, jejichž rychlosť sedimentace byla relativně nejnižší. Naproti tomu flyšová sedimentace (godulské souvrství, istebňanské a krošněnské vrstvy), jejichž velká mocnost v krátkém časovém období ukazuje na rychlou sedimentaci, se vyznačuje relativně nejnižšími obsahy ekv. B (malý časový prostor pro sorpcí B na jílové minerály).

Z hlediska koncentrací sledovaných stopových prvků se projevila ve studovaných pelitech a písamitech výrazná změna mezi nižšími stratigrafickými členy slezské jednotky (těšínsko-hradišťské souvrství až lhotecké vrstvy) a jejich nadložím. Je vyvolána změnou v charakteru sedimentačního prostředí a změnou zdrojové oblasti.

Sedimentační prostředí celého těšínsko-hradišťského souvrství a spodních těšínských vrstev bylo redukční, alkalické povahy, maximálně příznivé pro tvorbu lávkových a konkrecionálních forem pehosideritů v těšínsko-hradišťském souvrství. Zvýšené koncentrace Mo ve svrchních těšínských vrstvách pravděpodobně souvisejí s přítomností vápnitého planktonu (koncentrace biochemickou cestou), vyšší obsahy V s redukčním charakterem prostředí. Lze uvažovat též o vlivu bazického vulkanismu těšinitové asociace. Sílně redukční prostředí sedimentace spíše kyselého charakteru, zvýšené salinity a minimálního přínosu klastického materiálu je charakteristické pro veřovické vrstvy. Větší přínos klastického materiálu o nižší chemické zralosti a pravděpodobně s větším obsahem a jiným kvantitativním složením minerální frakce se odráží v nápadné změně koncentrací (jejich vzrůstem) zejména Rb, Ti, Zr, Cr, Y a sumy Fe-oxidů v godulském souvrství. Se zvýšením koncentrací těchto prvků jsou v pozitivní korelace také nejvyšší obsahy prvků vzácných zemin, Th a Hf. Ve vyšších polohách svrchního oddílu godulského souvrství dochází ke slabému poklesu v obsazích Rb, Ti, Ba, Cu, Co, Cr a V, kdežto u As, S a organické hmoty se objevuje tendence vzrůstu jejich koncentrací směrem do nadloží, naznačující nástup re-

dukenního charakteru prostředí sedimentace (istebňanské vrstvy — charakterizované autigenním sideritem, pyritem a vyššími koncentracemi organické hmoty). Jílovce pestrého vývoje podmenilitového souvrství se ukládaly v prostředí, které nabývalo oxidačního charakteru. Zároveň se mění acidita prostředí — z neutrálního až slabě kyselého v období ukládání sedimentů redukčního vývoje na slabě alkalické, jež bylo přihodné pro vyšší akumulaci kalcitu v závěru sedimentace podmenilitového souvrství.

Sedimentace hornin významného litostratigrafického horizontu slezské i ždánické jednotky menilitového souvrství, probíhala v silně redukčním prostředí za zvýšených obsahů S a organické hmoty, s omezenou komunikací s otevřeným mořem, normální až slabě zvýšenou salinitou a minimálním přínosem klastického materiálu (Adámová 1983a, b). Obohacení těchto sedimentů molybdenem, vanadem a uranem je pro menilitové souvrství charakteristické. Vedle vazby V na dispergovanou organickou hmotu se projevuje podobně jako u Mo tendence k biochemické koncentraci; v sedimentech s převahou křemitého planktonu se koncentruje V, s převahou vápnitého planktonu Mo. Zvýšené koncentrace obou těchto prvků odpovídají smíšenému typu planktonu v menilitových sedimentech. Primárním zdrojem části molybdenu a vanadu je pyroklastický materiál. Tento závěr je doložen přítomností tufitů s vysokými koncentracemi těchto prvků v menilitovém souvrství. Uran, vyskytující se v těchto sedimentech v dispergované formě spojené zejména s bituminózní substancí, je pravděpodobně syngenetickeho původu a koncentruje se procesem sorpcí na planktonní organismy nebo na organickou hmotu v době její bitumenizace. O přínosu uranu do sedimentační pánve menilitového souvrství spolu s pyroklastickým materiálem svědčí i vysoký obsah U v tufitu (tab. 3).

Na základě velmi blízkého geochemického charakteru sedimentů podrohovcových vrstev a menilitového souvrství, zejména rohovcových vrstev slezské i ždánické jednotky (stejná minerální asociace montmorillonit—zeolit—cristobalit, výrazně vyšší obsahy organické hmoty, pyritu, podobné koncentrace celé řady prvků — V, Mo, U, Cu, As, Pb, Ba, Rb, Sb, Ti, Th a do určité míry i Zn a Zr, blízké hodnoty poměru La/Th, Th/U, Th/Yb, K/Th, značná podobnost v korelacích a typu rozdělení u mnoha prvků v podrohovcových a rohovcových vrstvách) dochází k závěru o příslušnosti podrohovcových vrstev, dosud řazených k podmenilitovému souvrství, k souvrství menilitovému (Adámová 1980, 1983a, Simánek et al. 1981, Adámová - Stránská 1984). K tomuto závěru se také přiklánějí Roth a Hanzlíková (1982).

Krosněnské vrstvy obsahují ve své bazální části ještě vložky jílovčů menilitového typu, jejichž geochemický charakter odpovídá vlastnímu menilitovému souvrství (vysoké obsahy pyritu — až 5 %, organické hmoty a analogické zvýšení koncentrací stopových prvků — zvláště Mo, V, U, As, Ag a Ni). Krosněnské vrstvy jako celek se ukládaly v sedimentačním prostředí, které se stávalo postupně méně redukčním, slabě alkalické povahy se sníženou salinitou a vyšším

přínosem klastického materiálu. Charakteristická je asociace slídových minerálů s chlority, vyšší podíl živečů a významné množství dolomitu v karbonátové příměsi. V krosněnských vrstvách dochází k značnému poklesu koncentraci řady stopových prvků, zejména Zr, Ti, Sn, Ga, As, Cu a Mo. Významné zastoupení granátu a přítomnost disténu v těžké minerální frakci spolu s poklesem obsahu Zr a Ti ukazují na podstatný podíl metamorfovaných hornin jako zdrojového materiálu těchto sedimentů.

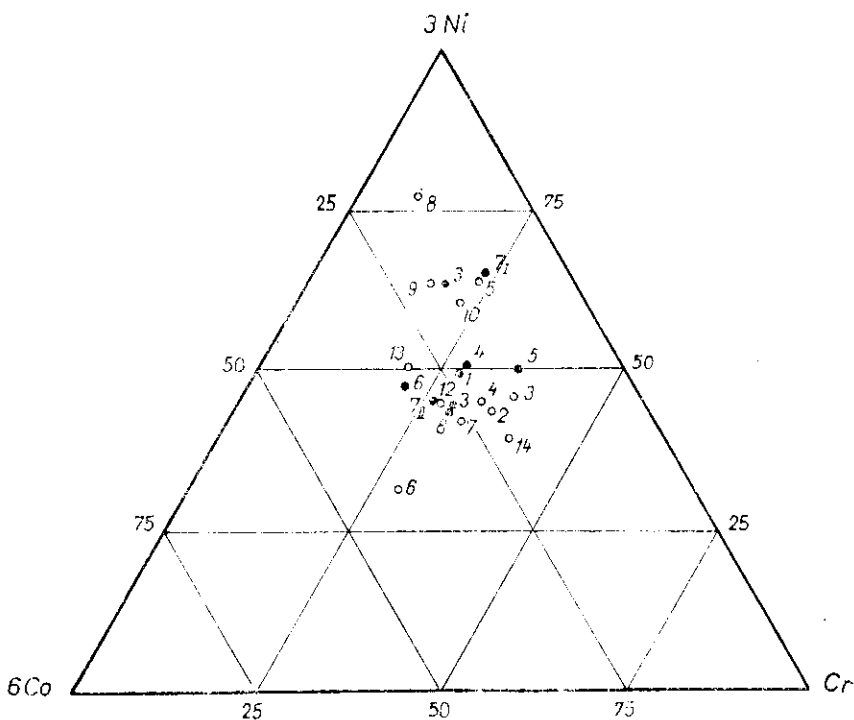
Všechny získané výsledky, hodnoty poměrů vybraných dvojic stopových prvků, La/Th, Th/U, Th/Yb, La/Ce, zvýšené koncentrace prvků vzácných zemin a řady stopových prvků, zejména Y, Th, Ti, Zr a Hf ukazují na významné uplatnění granitoidních hornin v klastickém materiálu godulského souvrství, istebňanských vrstev a částečně i redukčního paleocénu. V těšínských vrstvách a především v menilitovém souvrství lze konstatovat určitý vliv vulkanogenní činnosti v období jejich sedimentace (přispěvek materiálu vulkanické provenience).

Na základě všech dostupných údajů bylo provedeno srovnání sedimentů krosněnských vrstev slezské jednotky a ždánicko-hustopečského souvrství ždánické jednotky (Adamová 1983b). Lze konstatovat, že sedimenty obou srovnávaných lithostratigrafických členů mají velmi podobné mineralogické složení — vyšší obsahy živečů, dominující asociace slídových minerálů a chloritů, významný podíl dolomitu v karbonátové příměsi, převaha granátu v těžké minerální frakci. Po chemické stránce mají velmi blízké obsahy SiO<sub>2</sub>, Al<sub>2</sub>O<sub>3</sub>, oxidu železa, MgO, CaO, Na<sub>2</sub>O, K<sub>2</sub>O, P<sub>2</sub>O<sub>5</sub>, H<sub>2</sub>O<sup>+</sup>, převážně většiny stopových prvků (s nepatrн vyššími koncentracemi As, Co, Cu, Mo, Ni, S a U ve slezské jednotce), blízké průměrné hodnoty poměru vybraných dvojic stopových prvků, absolutní obsahy B. Koncentrace prvků vzácných zemin jsou v krosněnských vrstvách jen nepatrн vyšší při identické hodnotě poměru lehkých a těžkých prvků vzácných zemin. Také hodnoty poměrů Th/U, La/Th, La/Ce, Th/Yb a K/Th jsou velmi blízké. Výsledky tohoto srovnání naznačují, že zdrojové oblasti sedimentů krosněnských vrstev a ždánicko-hustopečského souvrství byly obdobné, ev. že jde o jednu významnou zdrojovou oblast.

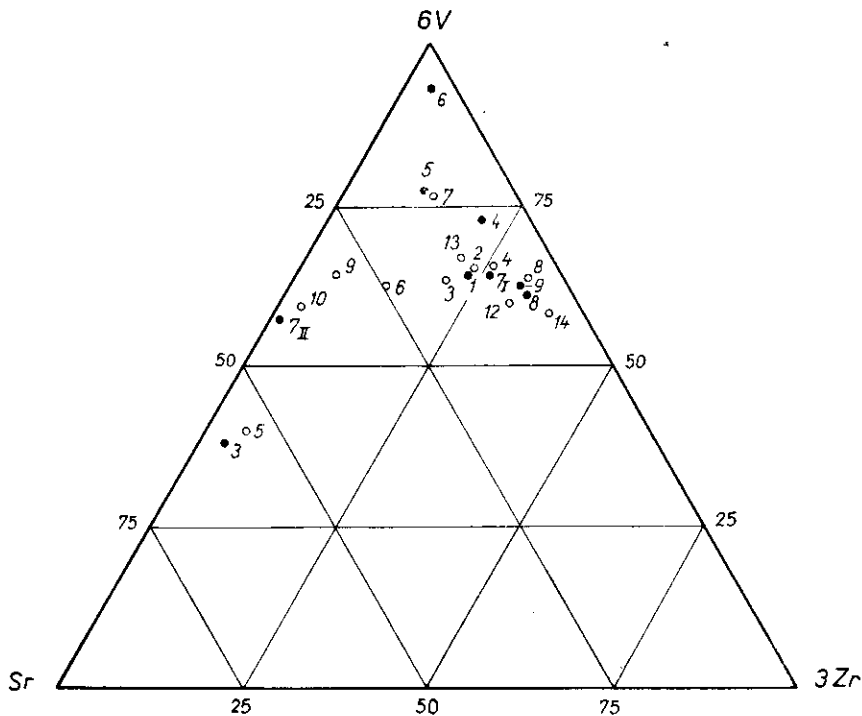
Pro porovnání studovaných sedimentů (převážně pelitů) jednotlivých souvrství a vrstev slezské a ždánické jednotky byly sestaveny trojúhelníkové diagramy (Shaw 1954) s vrcholy 6V—3Zr—Sr a 3Ni—Cr—6Co (obr. 7 a 8). Pozice bodů, vynesených do diagramů pro pelity ždánicko-hustopečského souvrství a krosněnských vrstev (zejména flyšový vývoj a krosněnské vrstvy) podporují závěry uvedené výše. Také u dynowských slíuovečů, podrohovecových vrstev, u jílovců pestrého a do určité míry i redukčního vývoje podmenilitového souvrství studovaných jednotek (redukční vývoj ždánické jednotky je slabě obohacen Cr) jsou projekční body blízko u sebe. Jílovec rohovecových vrstev ždánické jednotky jsou oproti jílovcům slezské jednotky více obohaceny vanadem vzhledem k zirkoniu. Významný rozdíl, který se projevil v uspořádání bodů

u tufitických sedimentů obou jednotek, odráží bazičtější povahu tufitů slezské jednotky (obohacení V, Co a Cr).

Shrnutí všech poznatků geochemického výzkumu ukazuje na určité sjednocení sedimentačního prostoru slezské jednotky v období sedimentace podmenilitového a menilitového souvrství a krosněnské litofacie se sedimentačním prostorem jednotky ždánické (ev. ždánicko-podslezské). V průběhu sedimentace krosněnských vrstev a ždánicko-hustopečských souvrství byl klastický materiál, na rozdíl od podložních sedimentů, přinášen s největší pravděpodobností z východu, z oblasti magurské zóny.



7. Diagram 3Ni—Cr—6Co pro sedimenty slezské a ždánické jednotky  
 Slezská jednotka (plná tečka): 1 — krosněnské vrstvy; 3 — menilitové souvrství, dynowské slínovce; 4 — menilitové souvrství, jílovce; 5 — menilitové souvrství, rohovice; 6 — menilitové souvrství, tufity; 7 — podrohovcové vrstvy; 7<sub>I</sub> jílovce, 7<sub>II</sub> slínovce; 8 — podmenilitové souvrství, pestré vrstvy; 9 — podmenilitové souvrství, redukční paleocén.  
 Ždánická jednotka (kroužek): 2 — ždánicko-hustopečské souvrství, flyšový vývoj; 3 — ždánicko-hustopečské souvrství, pelitický vývoj; 4 — menilitové souvrství, šitbořické vrstvy; 5 — menilitové souvrství, dynowské slínovce; 6 — menilitové souvrství, silicity; 7 — menilitové souvrství, jílovce; 8 — menilitové souvrství, tufity; 9 — podrohovcové vrstvy, jílovce; 10 — podrohovcové vrstvy, slínovce; 12 — podmenilitové souvrství, pestrý vývoj; 13 — podmenilitové souvrství, skvrnitý vývoj; 14 — podmenilitové souvrství, redukční paleocén



8. Diagram 6V—3Zr—Sr pro sedimenty slezské a ždánické jednotky  
Vysvětlivky viz obr. 7

### Původ $\text{SiO}_2$

Otázka původu  $\text{SiO}_2$  v sedimentech, zejména v silicitech je velmi složitá. Na zdroj  $\text{SiO}_2$  existuje celá řada názorů.

1. Přínos z pevniny v důsledku procesu pokročilého zvětrávání (Nalivkin 1956).
2. Chemický rozpad a desintegrace produktů starých hornin (Mitsui - Taguchi 1977).
3. Vulkanický původ v podobě emanací nebo vulkanického materiálu, zejména vulkanického skla popelu a tufů (Gabinet 1958, Siever 1962, Sosman 1965, Calvert 1966, 1971, W. R. Reynolds 1960, Mizutani 1970, Guewa 1973, Hurd 1973, Aoyagi - Kazama 1980, Iljima - Tada 1981).
4. Kde morfologie bazénů podporuje výstup hlubinných proudů (upwelling), stává se oceán zdrojem  $\text{SiO}_2$  (Calvert 1966).
5. Siever (1962) uvádí, že jedním ze zdrojů  $\text{SiO}_2$  je transformace montmorillonitu přes smíšené I-M struktury na illit v průběhu diageneze (hypotéza je podporována relativním poklesem množství montmorillonitu ve starších sedimentech). Také při transformaci montmorillonitu na kaolinit je  $\text{SiO}_2$  uvolňován do pórůvých roztoků.
6. Organický původ, jenž spočívá v rozpouštění schránek křemičitých organismů po jejich odumření (Correns 1950; Krauskopf 1956, 1959; Calvert 1966; Ernst - Calvert 1969; Lewin 1961; Moore 1969; Greenwood 1973).

Vzhledem k nízkým koncentracím SiO<sub>2</sub> v mořské vodě, která představuje silně nena-sycený roztok, je vysrážení SiO<sub>2</sub> chemickou cestou ve větším rozsahu nemožné (Kraus-ko et al. 1959). Převážná většina autorů předpokládá, že SiO<sub>2</sub> v silicitech, především v rohovcích, je převážně vulkanogenního nebo biogenního původu, nebo kombinací obou. Siever a Scott (1963) uvádějí, že nesmírné zvýšení v populaci diatom následuje po spadu vulkanického popelu, který alteraci uvolňuje velké množství SiO<sub>2</sub> do roztoku. Mnichov starých křemičitých uloženin je asociované s vulkanickým materiálem (Taliaferro 1933; Hay 1966; Mizutani 1970; Peterson 1970); Calvert 1971; Mitsui - Taguchi 1977; Aoyagi - Kazama 1980. Siever (1962) uvádí častou asociaci vulkanického skla a sekundárního opálu v popelových spadech, obecná je také asociace silicifikovaných zón s bentonity.

Společný výskyt zeolitu (nejčastěji clinoptilolitu, philipsitu nebo mordenitu), minerálů skupiny montmorillonitu a cristobalitu v sedimentech je obecně považován za výsledek alterace jemnozrnného vulkanického materiálu (Reynolds 1970, Hay 1966, Kelleher 1970, Mizutani 1970, Hurd 1973). Podle Sosmana (1965) je cristobalit obecným produktem devitrifikace vulkanických skel. Aoyagi a Kazama (1980) a Tiller a Dibble (1981) uvádějí, že alterace vulkanického skla a popelů může produkovat metastabilní fáze, jež zahrnují aluminosilikátové gely, minerály skupiny montmorillonitu, zeolity a amorfni SiO<sub>2</sub>. Tyto fáze jsou během diagenetických procesů transformovány na stabilnější minerály skupiny illit (přes smíšené I-M struktury), analcem, živce a křemen (cristobalit je považován za intermediární stadium transformace).

Odlíšení mezi rohovci, vzniklými z organických nebo vulkanických zdrojů je v důsledku diagenetických změn velmi obtížné. Určitou pomocí může být asociace minerálů v okolních sedimentech, charakteristická pro tyto zdroje. Přítomnost zeolitu, cristobalitu a minerálů skupiny montmorillonitu v pelitech, v nichž vznikají rohovce, nasvědčuje podle Greenwooda (1973) podílu vulkanogenní složky v sedimentu a zdroji SiO<sub>2</sub> při vzniku rohovců.

Většina sovětských autorů (Gabinet 1958, Tkachuk - Afanas'jeva 1977, Afanas'jeva 1979) spojuje původ SiO<sub>2</sub> v menilitových vrstvách s vulkanickou činností mezi svrchním eocénem a oligocénem. Stejný názor zastávají mnozí naši a polští autoři (Leško - Ďurkovič - Čičel 1959, Wieser 1963, Gucwa 1983), někteří z nich připomínají také organický původ (Kuźniar 1954, Gucwa 1973, Koráb - Ďurkovič 1978). Roth (1981, Roth - Hanzliková 1982) předpokládá, že hlavním zdrojem SiO<sub>2</sub> v menilitových sedimentech ve střední Evropě byl paleogenní vulkanismus v panonské pánvi, zčásti pravděpodobně i extenzivní tropické zvětrávání v oblasti Českého masivu (Malcovský 1979).

Nalezené zvýšené obsahy minerálů skupiny montmorillonitu, přítomnost cristobalitu (Adamová 1980, 1983a, Simánek et al. 1981), zeolitu a tufitického materiálu v sedimentech menilitového souvrství studovaných tektonických jednotek a stejně minerální asociace (montmorillonit-cristobalit-zeolit) zjištěné v podrohovcových vrstvách mě utvrzuje v názoru, že hlavním primárním zdrojem SiO<sub>2</sub> v těchto sedimentech byl vulkanogenní materiál. Výskyt diatom a radiolárií v menilitových sedimentech podporuje předpoklad, že vznik silicítů je výsledkem kombinace vulkanického a organického faktoru (vysrážení SiO<sub>2</sub> biochemickou a snad i chemickou cestou), přičemž lze uvažovat i vlivy dalších uvedených faktorů (Adamová 1983a, Adamová - Stránská 1984).

## K otázce pestrých vrstev

Pestré vrstvy se nacházejí v podmenilitovém souvrství slezské a ždánické jednotky a ve spodní části godulského souvrství slezské jednotky — pestré godulské vrstvy. Obecně se flyšové červené vrstvy vyznačují střídáním jílovů červené (rudohrnědé) a zelené (šedozelené) barvy, někdy jsou přítomny křemenné pískovce a siltovce. Litologický charakter flyšových červených vrstev je téměř jednotný, lokální variace závisí na kvalitě a kvantitě klastického materiálu přinášeného do sedimentační pánve. Po mineralogické stránce (viz mineralogiko-petrografická charakteristika) jsou pestré jílovce podmenilitového souvrství slezské jednotky charakterizovány převahou slídových minerálů stabilně doprovázených kaolinitem a ve stopách až několika procentech chloritem. V menším množství jsou minerály skupiny montmorillonitu a minerály se smíšenými I-M strukturami. V pestrých godulských vrstvách také dominují slídové minerály, vždy je přítomen chlorit, v několika procentech se většinou vyskytují minerály skupiny montmorillonitu a smíšených I-M struktur, ojedinělý v akcesorickém množství je kaolinit.

V pestrých jílových ždánické jednotky (Adámová 1983a) jsou vedle slídových minerálů významně zastoupeny minerály skupiny montmorillonitu (v některých jílových převládá montmorillonit v asociaci se zeolitem). Kaolinit se vyskytuje v množství několika málo procent (~3 %), chlorit je vzácný.

Vedle klastických minerálů — křemene a živce, obsahují pestré vrstvy v nepatrném množství karbonáty — kalcit, vzácně dolomit (vyšší obsahy jsou zcela ojedinělé), pyrit je přítomen zejména v zelených a šedozelených jílových. V červených jílových byl zjištěn hematit (~1 %).

Po chemické stránce se odlišují jílovce pestrých vrstev od ostatních jílovů poměrně vysokým obsahem železa. Jílovce červených barev mají nejvyšší obsahy sumy Fe-oxidů (např. v pestrém vývoji podmenilitového souvrství slezské jednotky mají červené jílovce  $\Sigma$ Fe-oxidů — 6,8 %, zelené jílovce — 5,8 %; v pestrém vývoji ždánické jednotky mají červené jílovce — 8,5 %, zelené — 5,2 %; v pestrých vrstvách godulských zelené jílovce 3,9 %, červené jílovce — 6 % a výraznou převahu  $Fe_2O_3$ . Zelené jílovce mají koncentrace  $Fe_2O_3 + FeO$  buď shodné, nebo jsou obsahy  $FeO$  vyšší.

V červených jílových pestrých vrstvách byly nalezeny slabě zvýšené průměrné obsahy  $K_2O$  (2,6; 3,1 a 3,8 %) oproti zeleným jílovům (2,3; 2,8 a 2,9 %). Obsahy  $Na_2O$  se příliš neliší. Zelené jílovce mají naopak vyšší obsahy  $MgO$ , S a organické hmoty. Hodnoty poměru  $SiO_2/Al_2O_3$  jsou v červených jílových pestrých vrstvách ždánické jednotky a v godulském souvrství nižší (průměrné hodnoty sledovaného poměru jsou 3,0 a 4,3) než v zelených jílových (3,3 a 4,8) a naznačují nižší množství klastického křemene v jílových červené barvy. Toto zjištění je v souladu s výsledky studia Čurkoviče (1966). V pestrých vrstvách podmenilitového souvrství slezské jednotky mají červené jílovce hodnotu tohoto poměru téměř stejnou jako zelené jílovce.

Podobné mineralogické složení pestrých vrstev, jaké bylo zjištěno ve slezské jednotce, uvádějí ze západní části magurského flyšového pásma Čech a Eliáš (1957), z dukelské a magurské jednotky Čičet a Durkovič (1965), Durkovič (1966), Koráb a Durkovič (1978) a z magurského flyšového pásma polských Karpat Dominič (1977).

Pestré vrstvy ždánické jednotky se odlišují významným podílem minerálů skupiny montmorillonitu a v některých jílových též přítomností zeolitu. Tato minerální asociace je v literatuře spojována s vulkanogenní činností (produkt alterace vulkanických popelů (Tiller - Dibble 1981, Rotterdam - Surdam 1981, Hurd 1973). Stejný mineralogický charakter mají eocenní pestré sedimenty (Narebský 1957), pro které je charakteristický vysoký obsah montmorillonitu, přítomnost silicových minerálů, nedostatek chloritu, malý obsah organické hmoty, pyritu a převaha  $Fe_2O_3$ . Autor tyto sedimenty řadí k tzv. pestré geochemické facii. Také Dominič (1977) uvádí významnější lokální úlohu vulkanického materiálu při vzniku pestrých vrstev. Podle tohoto autora vznikly pestré vrstvy v podmírkách pelagické sedimentace a patří ke skupině litogenních pelagických uloženin typu „red clay“.

Mechanismem zbarvení a koncentrací železa v pestrých vrstvách se zabývala celá řada autorů. Výzkum pestrých vrstev polských Karpat prováděl Gawel (1928), podle něhož červené jílovice vznikaly v chladnejší vodě s vyšším obsahem kyslíku. Střídání jílových červené a zelené barvy vysvětluje kolísáním teploty vody a s tím spojeným kolísáním oxiдаčně redukčního potenciálu. Uvažoval také o možnosti přínosu materiálu z oblasti lateritického zvětrávání hornin. Podle Eliáše (1967) charakter flyšových červených vrstev ukazuje na pomalé ukládání v relativně tektonicky stabilní oblasti. Klastické částice byly odvozeny z poměrně stabilních částí kordilléry, kde probíhalo intenzivní zvětrávání za humidičních a tropických podmínek. Pigment červených vrstev byl podle Krynnina (1949) klasifikován jako primární.

Grim (1951) předpokládá, že červenou pigmentaci jílů podmiňuje přítomnost oxidu a hydroxidu železa, které jsou přinášené do sedimentačních bazénů z oblasti snosu. McBride (1974) uvádí, že červená barva vznikla časně postsedimentační alterací Fe-nosného detritu a dehydratací Fe-hydroxidů. Podle Walker (1967a,b) a Van Houtena (1968, 1972) žádné recentní proudy nepřinášejí skutečně červené aluvium.

McBride (1974) zjistil, že zelené jílovice jsou po mineralogické stránce téměř shodné s červenými jílovcemi, výjimkou je přítomnost hematitu v červených jílových. Ve shodě s uvedenými výsledky studia pestrých vrstev slezské a ždánické jednotky uvádí nižší obsahy  $K_2O$  a  $Na_2O$  a vyšší obsahy  $MgO$ . S organické hmoty v zelených jílových. Podle Kellera (1953) vydělí zelené horniny své barvě přímo  $Fe^{II}$  v minerálech skupiny illitu a chloritu, nepřímo nedostatku jiných barevných agentů, jako hematitu, Fe-sulfidů a organické hmoty (při zvýšení množství organické substance se barva mění na olivovou a šedou).

Picard (1965) a Walker (1967a,b, 1974) předpokládají mezivrstevní alteraci Fe-nosných zem většinou těžkých minerálů, vulkanických fragmentů a Fe-bohatých jílů produkující volné Fe-hydroxydy, které stárnou v hematitu. Berner (1969) ukázal, že hematit nevyžá-

duje žádné speciální podmínky a vzniká diageneticky z hnědých oxidů. Nejpravděpodobnější zdroj červeného pigmentu je podle Van Houtena (1968, 1972) diagenetický hematit, který konvertoval *in situ* z Fe-hydroxidů povlákajících jíly nebo hematit, který vznikl diageneticky *in situ* alterací Fe-nosných jílů a těžkých minerálů (Walker 1974). Van Houten (1973) uvádí, že červený sediment je červený v důsledku genetické asociace vysokého množství volného železa s vysokým obsahem jílů (otázka obsahu jílové složky v zelených a červených sedimentech). Vztahem mezi barvou a obsahem jílových minerálů se zabýval též Friend (1966), podle něhož podíly zjištěných jílových minerálů nejsou ve vztahu k barvě. Podle tohoto autora zelená barva, lokalizovaná často v nepravidelných skvrnách vznikla redukčním postsedimentačním způsobem (většinou za přítomnosti výššího obsahu organické hmoty). Picard (1965) uvažuje o možnosti postsedimentačního lokálního vyluhování červených vrstev migrací uhlovodísků.

Thompson (1970) bere v úvahu dvě potencionálně významné hypotézy o původu barvy, jedna zahrnující sekundární oxidaci, druhá sekundární redukci.

Oxidační teorie tvrdí, že červená barva se vyvinula sekundárně z dřívějších světle zelených a olivově zelených sekvencí oxidací a destrukce detritických Fe<sup>II</sup>-nosných fází za podmínek vysokého Eh a pH. Redukční teorie předpokládá, že zelená a olivově zelená barva se vyvinula v částech původně celočervené sekvence redukcí a rozpouštěním Fe<sup>III</sup> oxidů nebo oxidických hydratovaných pigmentů. Tato barva je důsledkem přítomnosti jednak detritických jílových minerálů (primárně minerálů skupiny illitu), jednak diagenetických jílových minerálů (zejména ze skupiny chloritu).

Redukce byla pravděpodobně ovlivněna nasycenými mezipórovými roztoky relativně nízkého pH a Eh. Podle této teorie bylo železo z dřívějších červených sedimentů vyneseno ze systému do mezipórových roztoků (nižší obsahy železa v zelených jílových). Podobný mechanismus uvádí Friend (1966) k vysvětlení původu zelených a olivově zelených zón v některých červených vrstvách. Hematitová pigmentace byla pravděpodobně produkována během nebo těsně po transportu zrn, ale před výskytem diagenetických procesů. Následná redukce odstranila většinu tohoto pigmentu ze zelených zón. Fluktuace relativně redukčnějších zón byly nepravidelné jak laterálně, tak vertikálně a přičiny této fluktuace nejsou známé.

Braunagel a Stanley (1977) uvádějí dva chemické procesy, které mohly způsobit úbytek železa v zelených jílových — difúzi a kapilární vzlínavost. Oba procesy předpokládají přenesení železa vertikálně ze zelených do červených vrstev bez významné laterální migrace a bez vyluhování nebo vynesení Fe-oxidů ze systému.

Podle mého názoru zelené jílovec pravděpodobně vznikaly jako výsledek redukce Fe<sup>III</sup> v červených vrstvách (nebo jejich předchůdcích) migrací fluidů redukčního charakteru (rozkládající se organická hmota dodávala potřebnou redukční kapacitu). Zjištěné rozdíly v chemickém složení mezi červenými a zelenými jílovcí odrážejí vyšší stupeň degradace zelených jílovů v průběhu vyluhování za redukčních podmínek (se zadržením části Mg v chloritových mineralech).

K tisku doporučila Z. Čadková

#### L iteratura

A d a m o v á M. (1980): Geochemická zhodnocení základních lithostratigrafických jednotek v úseku Jih a sousedních oblastech úseku Střed. — Archív Ústř. úst. geol. Praha.

- Adamová M. (1983a): Geochemie flyšových sedimentů západní části čsl. Karpat. — Kan-  
 didátská disertační práce, přírodověd. fak. Univ. Karl. Praha.  
 — (1983b): Geochemický výzkum sedimentárních formací v úseku Sever. — Archiv Ústř.  
 úst. geol. Praha.  
 — (1983c): Geochemická charakteristika základních litologických typů sedimentů v godul-  
 ském vývoji slezské jednotky. — In E. Menčík et al.: Geologie Moravskoslezských  
 Beskyd a Podbeskydské pahorkatiny. — Ústř. úst. geol., 1—304. Praha.  
 Adamová M. - Stráník Z. (1984): Geochemická charakteristika sedimentů ždánické  
 jednotky (flyšové pásmo Západních Karpat). — Sbor. geol. Věd, Geol., 171—216. Praha.  
 Adams A. S. - Weaver Ch. E. (1958): Thorium-to-uranium ratios as indicators  
 of sedimentary processes: example of concept of geochemical facies. — Bull. Amer. Ass.  
 Petrol., Geologists, 42, 387—430. Tulsa.  
 Afanas'jeva I. M. (1979): Petrogeochemičeskie osobennosti fliševoy formacii južnogo  
 sklona Sovetskikh Karpat. — Izd. Naukova dumka, 1—233. Kijev.  
 Aoyagi K. - Kazama T. (1980): Transformational changes of clay minerals, zeolites  
 and silica minerals during diagenesis. — Sedimentology, 27, 2, 179—188. London.  
 Aron D. J. - Ichijo P. S. - Wessels G. - Fujiwara A. - Wooley  
 I. T. (1955): Molybdenum in the relation to nitrogen metabolism. J. Assimilatiou  
 of nitrate by *Scenedesmus*. — Physiol. Planetarum 8, 538—554. København.  
 Aron D. J. - Wessels G. (1953): Vanadium as an essential element for green  
 plants. — Nature, 172, 1039—1040. London.  
 Badák J. - Gruszczyc H. - Kita-Badák M. (1965): Les phénomènes de  
 minéralisation de cuivre et d'uranium dans les Karpates polonaises flyscheuses comme  
 indices geo chimiques de faciès. — Carpatho-Balkan geol. Assoc., 7th Congr., III.,  
 249—254. Sofia.  
 Berner R. A. (1969): Goethite stability and the origin of red beds. — Geochim.  
 cosmochim. Acta, 33, 267—273. Oxford.  
 Bhatia M. R. - Taylor S. R. (1981): Trace-element geochemistry and sedimentary  
 provinces: a study from the Tasman Geosyncline, Australia. — Chem. Geol., 33, 1.  
 115—125. Amsterdam.  
 Bouška V. (1980): Geochemické metody určování paleosalinity prostředí. — Čas. Mi-  
 neral. Geol., 25, 3, 311—318. Praha.  
 Braunagel L. H. - Stanley K. O. (1977): Origin of variegated red beds in the  
 Cathedral Bluffs Tongue of the Wasatch Formation (Eocene), Wyoming. — J. sed.  
 Petrology, 47, 3, 1201—1219. Tulsa.  
 Calvert S. E. (1966): Accumulation of diatomaceous silica in the sediments of the  
 Gulf of California. — Geol. Soc. Amer. Bull., 77, 569—596. Colorado.  
 — (1971): Composition and origin of North Atlantic deep-sea cherts. — Contr. Mineral.  
 Petrology, 33, 273—288. Berlin — New York.  
 Cody R. D. (1970): Anomalous boron content of two continental shales in eastern  
 Colorado. — J. sed. Petrology, 40, 2, 750—754. Tulsa.  
 Correns C. W. (1950): Zur Geochemie der Diagenese: I. Das Verhalten von  $\text{CaCO}_3$   
 und  $\text{SiO}_2$ . — Geochim. cosmochim. Acta, 1, 1, 49—54. London.  
 Čech F. - Eliáš M. (1957): On some claystones from the eastern region of the  
 Magura flysch. — Sborník k osmdesátinám akademika F. Slavíka. Čs. akad. věd. Praha.  
 Čižel B. - Durkovič T. (1965): Mineralogical-petrographical composition of East Slo-  
 vakian flysch claystones. — Geol. Sbor. Geol. carpath., 16, 95—112. Bratislava.  
 Dominik J. (1977): Studium mineralogiczno-petrograficzne pstrych łupków płaszcz-  
 winy magurskiej Karpat. — Prace mineral., 53, 1—86. Kraków.  
 Durkovič T. (1966): East Slovakian flysch sediments. — Sbor. geol. Vied, Západ. Kar-  
 paty, 6, 107—154. Bratislava.

- Eliáš M. (1967): Flysch red beds in the outer Carpathians. — Carpatho-Balkan Geol. Assoc., 8th Congr., Beograd, II, 327—330. Beograd.
- (1970): Litologie a sedimentologie slezské jednotky v Moravskoslezských Beskydech — Sbor. geol. Věd, Geol., 18, 7—90. Praha.
- Ernst W. G. - Calvert S. E. (1969): An experimental study of the recrystallisation of porcelanite and its bearing on the origin of some bedded cherts. — Amer. J. Sci., A 267, 114—133. New Haven.
- Ernst W. - Werner H. (1964): Anwendung der Bor-Methode in den geologischen Formationen zu ihrer besseren Unterteilung in wissenschaftlichem und praktischem Interesse sowie Untersuchungen über Bindung und Festlegung des Bors in natürlichen und künstlichen Sedimenten. — Forsch.-Ber. Landes Nordrhein-Westf., 1433, 1—27. Köln.
- Fairbridge R. W. ed. (1972): The encyclopedia of geochemistry and environmental sciences. — Encyclopedia of Earth Sciences, IV. A, Van Nostr. Reinh. Comp. New York.
- Friend P. F. (1966): Clay fractions and colours in some Devonian red beds in the Catskill Mountains, USA. — Geol. Soc. London Quart. J., 122, 273—292. London.
- Fröehlich F. (1960): Beitrag zur Geochemie des Chroms. — Geochim. cosmochim. Acta, 20, 215—240. London.
- Gabinet M. P. (1958): Mineralogija porod menilitovoj serii Vostočnych Karpat. — Izd. Evov. Gos. Univ., 1—36. Lvov.
- (1959): O radioaktivnosti bituminoznych porod menilitovoj serii. — Probl. Geochim., 1, 256—260. Lvov.
- Gawel A. (1928): O składzie mineralogicznym i petrograficznym czerwonych i zielonych łupków eoceńskich Karpat Wschodnich. — Spraw. Posiedz. Pol. Akad. Nauk, 33, 1—57. Kraków.
- Goldberg E. D. - Arrhenius G. O. S. (1958): Chemistry of Pacific pelagic sediments. — Geochim. cosmochim. Acta, 13, 2/3, 153—212. London.
- Goldschmidt V. M. (1954): Geochemistry. — Clarendon Press, 1—394. Oxford.
- Greenwood R. (1973): Cristobalite: its relationship to chert formation in selected samples from the Dep Sea Drilling Project. — J. sed. Petrology, 43, 3, 700—708. Tulsa.
- Grim R. E. (1951): The depositional environment of red and green shales. — J. sed. Petrology, 21, 226—232. Tulsa.
- Gucwa I. (1966): Wyniki badań geochemicznych łupków radiolariowych cenomanu z Niedźwiady koło Ropczyc. — Kwart. geol., 10, 4, 1047—1059. Warszawa.
- (1973): Geochemia wapiennych i krzemionkowych osadów biogenicznych na przykładzie osadów flisz karpackiego. — Biul. Inst. geol., 17, 271, 5—98. Warszawa.
- Gucwa I. - Ślączka A. (1972): Changes in geochemical conditions within the Silesian basin (Polish flysch Carpathians) at the Eocene—Oligocene boundary. — Sedim. Geol., 8, 199—223. Amsterdam.
- Harder H. (1951): Über den Mineralbestand und die Entstehung einiger sedimentärer Eisenerze des Lias-γ. — Beitr. Mineral. Petrogr., 2, 455—476. Berlin — Heidelberg.
- Harvey H. W. (1939): Substances controlling the growth of a diatom. — J. Marin. Biol. Assoc., 23, 2, 499—520. Cambridge, University Press, Plymouth.
- Haskin M. A. - Haskin L. A. - Frey F. A. - Willdeman T. R. (1968): Relative and absolute terrestrial abundances of the rare earth. — In L. H. Ahrens, (ed.): Origin and distribution of the elements. 889—912. Pergamon Press. Oxford.
- Hawkes H. H. - Webb J. S. (1962): Geochemistry in mineral exploration. — Harper and Row, New York.
- Hay R. L. (1966): Zeolites and zeolitic reactions in sedimentary rocks. — Geol. Soc. Amer. spec. Papers 85, 1—130. New York.
- Hirst D. M. (1962): The geochemistry of modern sediments from the Gulf of Paria

- The relationship between the mineralogy and the distribution of major elements. — Geochim. cosmochim. Acta, 26, 309—334. London.
- Hurd D. C. (1937): Interactions of biogenic opal, sediment and seawater in the Central Equatorial Pacific. — Geochim. cosmochim. Acta, 37, 2257—2282. Oxford.
- Iijima A. - Tada R. (1981): Silica diagenesis of Neogene diatomaceous and volcanoclastic sediments in northern Japan. — Sedimentology, 28, 185—200. Amsterdam.
- Isajeva A. B. (1974): Nekotoryje zakonomernosti raspredelenija molibdена v osadkach Ochotskogo morja. — Geochimija, 12, 1799—1807. Moskva.
- Keller W. D. (1953): Illite and montmorillonite in green sedimentary rocks. — J. sed. Petrology, 23, 3—9. Tulsa.
- (1970): Environmental aspects of clay minerals. — J. sed. Petrology, 40, 3, 788—854. Tulsa.
- Kita-Badak M. - Badak J. - Saldan M. (1965): Charakterystyka lupków uranonośnych serii menilitowej w Karpatach środkowych. — Kwart. geol., 9, 137—156. Warszawa.
- Koráb T. - Durkovič T. (1978): Geológia dukelskej jednotky (Flyš východného Slovenska). — Geol. úst. D. Štúra, 1—144. Bratislava.
- Kraft M. - Scheindler R. - Tischendorf G. - Fuchs H. (1969): Daten zur Geochemie der Elemente. — Zentr. Geol. Inst. Berlin.
- Krauskopf K. B. (1956): Dissolution and precipitation of silica at low temperatures. — Geochim. cosmochim. Acta, 10, 1—26. London.
- (1959): The geochemistry of silica in sedimentary environment. — Soc. Econ. Min. Pal. Spec. Publ. 7, 4—19. Tulsa.
- (1967): Introduction to geochemistry. — McGraw-Hill Book Co., 1—721. New York.
- Krynnine P. D. (1949): The megascopic and field classification of sedimentary rocks. — J. Geol., 56, 2, 130—165. Chicago.
- Kukal Z. (1962): Některé metody petrografického výzkumu zpevněných jílovitých sedimentů. — Geol. Průz., 7, 207—209. Praha.
- Kuźniar C. (1954): W sprawie genezy lupków menilitowych. — Roczn. Pol. Tow. geol., 22, 495—496. Kraków.
- Leško B. - Durkovič T. - Čižel B. (1959): Stopy paleogeného vulkanizmu na východnom Slovensku. — Geol. Práce, Zpr. 16, 131—141. Bratislava.
- Levašev G. B. - Barsukov V. L. - Suščevskaja T. M. - Malkov I. I. (1975): Molibden i wolfram v osadkach nekotorych rajonov Tichogo okeana. — Geochimija, 2, 207—216. Moskva.
- Lewin J. C. (1961): The dissolution of silica from diatom walls. — Geochim. cosmochim. Acta, 21, 182—198. London.
- Malkovský M. (1979): Tektogeneze platformního pokryvu Českého masivu. — Knih. Ústř. Úst. geol. 53. Praha.
- McBride E. F. (1974): Significance of color in red, green, purple, olive, brown, and grey beds of Disunta Group, Northeastern Mexico. — J. sed. Petrology, 44, 760—773. Tulsa.
- McLean S. M. - Nance W. B. - Taylor S. R. (1980): Rare earth element-thorium correlations in sedimentary rocks, and the composition of the continental crust. — Geochim. cosmochim. Acta, 44, 1833—1839. London.
- Menčík E. et al. (1983): Geologie Moravskoslezských Beskyd a Podbeskydské pahorkatiny. — Ústř. Úst. geol. Praha.
- Midgison A. A. (1960): O sootnošenii titana i aljuminija v osadočnyh porodach. — Geochimija, 2, 149—163. Moskva.
- Mitsui K. - Taguchi K. (1977): Silica mineral diagenesis in Neogene Tertiary shales in the Tempoka district, Hokkaido, Japan. — J. sed. Petrology, 47, 1, 158—167. Tulsa.

- Mizutani S. (1970): Silica minerals in the early stage of diagenesis. — *Sedimentology*, 15, 3/4, 419—436. Elsevier, Amsterdam.
- Moore T. C. Jr. (1969): Radiolaria: change in skeletal weight and resistance to solution. — *Geol. Soc. Amer. Bull.*, 80, 2103—2108. Colorado.
- Moravcová H. - Fiala J. (1980): Automatizace rtg. práškové difrakční fázové analýzy. — *Věstník Ustř. úst. geol.*, 55, 4, 237—244. Praha.
- Nalivkin D. V. (1956): *Učenije o faciach*, I. — Akad. nauk. SSSR. Moskva.
- Narębski W. (1957): O diagenetycznych dolomitach żelazistych z Karpat fliszowych. — *Roczn. Pol. Tow. geol.*, 26, 29—50. Kraków.
- Nicholls G. D. - Loring D. H. (1962): Some chemical data on British Carboniferous sediments and their relationship to the clay mineralogy of these rocks. — *Clay Miner.*, 4, 196—207. London.
- Peslová H. (1983): Distribuce těžkých minerálů ve slezské jednotce. — In E. Menšík et al.: *Geologie Moravskoslezských Beskyd a Podbeskydské pahorkatiny*. — Ustř. úst. geol. Praha.
- Peterson M. N. A. (1970): Initial reports of the deep-sea drilling project, vol. II. — US. Government Printing Office, 1—501. Washington.
- Pettijohn F. J. (1957): *Sedimentary rocks*. — 2nd. ed., 1—718. Harper-Broth. New York.
- Picard M. D. (1965): Iron oxides and fine-grained rocks of Red Peak and Crow Mountain sandstone members, Chugwater (Triassic) Formation, Wyoming. — *J. sed. Petrology*, 35, 464—479. Tulsa.
- Pliler R. - Adams J. A. S. (1962): The distribution of thorium, uranium, and potassium in the Mancos shale. — *Geochim. cosmochim. Acta*, 26, 1115—1135. London.
- Rankama K. - Sahama T. G. (1950): *Geochemistry*. — Univ. Chicago Press, 4—911. Chicago.
- Reynolds R. C. (1965): The concentration of boron in Precambrian seas. — *Geochim. cosmochim. Acta*, 29, 1—16. Oxford.
- (1972): Boron: Element and geochemistry. — In R. W. Fairbridge (ed.): *The encyclopedia of geochemistry and environmental sciences*. — Van Nostrand Reinhold Co., 88—90. New York.
- Reynolds W. R. (1970): Mineralogy and stratigraphy of Lower Tertiary clays and claystones of Alabama. — *J. sed. Petrology*, 40, 829—838. Tulsa.
- Ronov A. B. - Girin Ju. P. - Kazakov G. A. - Iljuchin M. N. (1965): Sravnitel'naja geochemija geosinklinal'nych i platformennyh osadočnyh tolšč. — *Geochimija*, 8, 961—976. Moskva.
- Roth Z. (1981): Menilitové souvrství Karpat a jeho paleogeografické postavení. — *Zem. Plyn Nafta*, 26, 1, 3—8. Hodonín.
- Roth Z. et al. (1962): Vysvětlivky k přehledné geologické mapě CSSR 1 : 200 000 M-34-XIX Ostrava. — 1—292. Geofond. Praha.
- Roth Z. - Hanzlíková E. (1982): Palaeotectonic and palaeo-ecological position of the Menilitic Formation in the Carpathian Mts. — *Cas. Mineral. Geol.*, 27, 2, 113—126. Praha.
- Savul M. - Ababu V. - Botez C. - Movileanu A. (1963): Contribuții la cunoașterea distribuției elementelor minore în profilul geochemical al Carpaților Orientali. — *Carpatho-Balkan geol. Assoc.*, 5th Congr., II., 233—243. București.
- Shaw D. M. (1954): Trace elements in pelitic rocks. Part II. Geochemical relations. — *Bull. Geol. Soc. Amer.*, 65, 1167—1182. New York.
- (1956): Geochemistry of pelitic rocks. Part III. Major elements and general geochemistry. — *Bull. Geol. Soc. Amer.*, 67, 919—934. New York.

- Siever R. (1962): Silica solubility, 0—200 °C, and the diagenesis of siliceous sediments. — *J. Geol.*, 70, 2, 127—150. Chicago.
- Siever R. - Scott R. A. (1963): Organic geochemistry of silica. — In: I. A. Breger (ed.): *Organic geochemistry*, 579—595. Pergamon Press. London.
- Sussman R. B. (1965): The phases of silica. — Rutgers Univ. Press, 1—388. New Brunswick.
- Surdam R. C. - Ratterman N. G. (1981): Zeolite mineral reactions in a tuff in the Laney Member of the Green River Formation, Wyoming. — *Clays and Clay Miner.*, 29, 5, 365—377. New York.
- Simánek V. - Adamová M. - Strnad M. (1981): Geochemická charakteristika mennitových vrstev čs. Karpat. — *Zem. Plyn Nafta*, 26, 1, 101—111. Hodonín.
- Smeral J. (1964): Die in der CSSR angewandte Methodik zur geochemischen Untersuchung der organischen Substanz in Gesteinen. — IV. Wissenschaftliche Konferenz über chemische und physikalische Probleme der Untersuchung und Förderung von Erdöl und Erdgas. Brno.
- Taliaferro N. L. (1933): The relation of volcanism to diatomaceous and associated siliceous sediments. — *Univ. Calif. Dept. Geol. Sci. Bull.*, 23, 1—56. California.
- Taylor S. R. - McLennan S. M. (1981): The composition of the continental crust: rare earth element evidence from sedimentary rocks. — *Phil. Trans. R. Soc. Lond. A* 301, 381—399. London.
- Thompson A. M. (1970): Geochemistry of color genesis in red bed sequence, Juniata and Bald Eagle Formations, Pennsylvania. — *J. sed. Petrology*, 40, 599—615. Tulsa.
- Fitter W. A. - Dibble W. E. (1981): Kinetic model of zeolite paragenesis in tuffaceous sediments. — *Clays and Clay Miner.*, 29, 5, 323—330. New York.
- Tkačuk L. G. - Lozynjak P. Ju. - Rejzman L. M. (1977): *Piroklastičeskie porody Karpatskogo regiona*. — In: *Piroklastičeskie porody Ukrayny*. Izd. Naukova dumka, 4—68. Kiev.
- Tourtelot H. A. (1964): Minor-element composition and organic carbon content of marine and nonmarine shales of Late Cretaceous age in the western interior of the United States. — *Geochim. cosmochim. Acta*, 28, 1579—1604. Pergamon Press. New York.
- Van Houten F. B. (1968): Iron oxides in red beds. — *Geol. Soc. Amer. Bull.*, 79, 399—416. Colorado.
- (1972): Iron and clay in tropical savanna alluvium, northern Columbia. A contribution to the origin of red beds. — *Geol. Soc. Amer. Bull.*, 83, 2761—2772. Colorado.
- (1973): Origin of red beds, a review: 1961—1972. — *A. Rev. Earth planetary Sci.*, 1, 39—61. Amsterdam.
- Vinogradov A. P. (1962): Srednje soderžanje chimičeskikh elementov. — *Geo-chimija*, 7, 555—563. Moskva.
- Vinogradov A. P. - Ronov A. B. (1956): *Sostav osadočnykh porod Russkoj platformy v svjazi s istorijej jeje tektoničeskikh dviženij*. — *Geo-chimija*, 6, 3—24. Moskva.
- Eldawakeel S. K. - Riley J. P. (1961): Chemical and mineralogical studies of deep-sea sediments. — *Geochim. cosmochim. Acta*, 25, 110—146. London.
- Walker C. T. (1968): Evaluation of boron as a paleosalinity indicator and its application to off-shore prospects. — *Amer. Assoc. Petrol. Geologists Bull.*, 52, 751—760. Tulsa.
- Walker T. R. (1967a): Formation of red beds in modern and ancient deserts. — *Geol. Soc. Amer. Bull.*, 78, 353—368. Colorado.

- Walker T. R. (1967b): Color of recent sediments in tropical Mexico. A contribution to the origin of red beds. — Geol. Soc. Amer. Bull., 78, 917—920. Colorado.
- (1974): Formation of red beds in moist tropical climates. A hypothesis. — Geol. Soc. Amer. Bull., 85, 633—638. Colorado.
- Weidolph K. H. (1960): Spurenanalytische Untersuchungen an Tiefseetonen aus dem Atlantik. — Geochim. cosmochim. Acta, 18, 200—231. London.
- (1975): The contribution of chemical data to assumptions about the origin of magmas from the mantle. — Fortschr. Mineral., 52, 2, 141—172. Stuttgart.
- Weite H. D. (1967): Zur Entwicklungsgeschichte von Erdölen auf Grund geochemisch-geologischer Untersuchungen. — Erdöl. Kohle Erdgas Petrochem., 20, 2, 76. Hannover.
- Wieser T. (1963): Vulkaničeskaja pył i razvitiye organičeskoy žizni v morskikh bassej-  
nach. — Carpatho-Balkan geol. Assoc., 6th Congr. Warszawa.

# **Geochemical evaluation of the sediments of the Silesian unit**

*(Summary of the Czech text)*

Marie Adamová

Received May 25, 1984

This paper is a mineralogical-geochemical characterization of the sediments of the Silesian unit. Investigation was done with the aim to obtain a complete set of samples of the individual stratigraphic members of this unit. The samples were taken from surface outcrops and from deep boreholes.

The variability of the chemical composition of the sediments, notably of the pelites encountered in the individual members of the Silesian unit is closely associated with the overall evolution of this sedimentary area. The sediments studied show a generally low degree of chemical maturity. The Těšín-Hradiště Formation and the Veřovice Member and Lhoty Formation contain clayey sediments having a comparatively higher degree of maturity, the maximum is reached in the claystones of the Variegated Member of the Submenilitic Formation and in the rocks of the Menilitic Formation (medium degree). The close of the sedimentation, i.e. the Krosno Formation, similarly as the Lower Těšín Member and the Godula Group, have a very low chemical maturity of the pelitic sediments.

Average contents of B and notably of equivalent B clearly indicate a marine sedimentary environment of all sediments studied and they show a certain cyclicity, which corresponds well with the lithofacies and tectonic evolution of the Silesian unit basin. Maximum equ. B contents are in the lower and middle parts of a cycle, the basal parts have lower contents, the uppermost parts of the cycle have lower contents (thus e.g. the highest concentrations of equ. B were determined in the medium part of the cycle in the Hradiště and Veřovice Members and Lhoty Formation (620 to 660 ppm), whereas in the Isteňna Member in the uppermost part of the cycle the contents of equ. B are 240 ppm). The values of the Th/U ratio do not reach 7 in any of the lithostratigraphic members, which also points to a marine environment of sedimentation.

Rare earth elements investigation shows a typical curve (normalized values) of a well-developed Earth's crust with a distinct negative Eu anomaly (pl. 1). The highest contents of the studied elements are in the claystones of the reducing Paleocene, of the Isteňna Member and of the Godula Group. These

claystones also contain the highest concentrations of Th, Y and Hf (table 5). The highest La/Th values were found in the Menilitic Formation and in the Těšín-Hradiště Formation and in the Lower Těšín Member, which also has the lowest values of Th/Yb and Th/U ratios.

The results of the analysis of organic substances indicate a low to medium degree of thermal metamorphism of the dispersed organic substance. The highest degree of metamorphic adjustment has been attained by the organic substance in the claystones of the Isteňna Member. Contents of primary hydrocarbons (table 7) are very low in the studied set of samples. Their relatively highest amount has been found in the siliceous claystones of the Menilitic Formation. The Menilitic Formations of the Silesian as well as of the Ždánice unit contain a distinctly higher amount of dispersed organic substance than the other lithostratigraphic units, whereby the menilitic sediments of the Silesian unit are according to the CPI indexes of saturated paraffin hydrocarbons (table 8) in an essentially more advanced stage of carbonification (alteration) than the menilitic rocks of the Ždánice unit. The chemical composition suggests that the organic substance dispersed in the sediments of the Menilitic Formation and in the Subcherty Member of the Silesian and Ždánice units consists of mixed sapropel and terrestrial material. The predominant part of the organic substance in the other rocks studied is represented mainly by phytogenic terrestrial material.

The studied trace elements concentrations in the investigated pelites and psammite differ significantly when comparing the lower stratigraphic members of the Silesian unit (the Těšín-Hradiště to Lhoty Formations) with the beds above them. This difference is due to a change of sedimentary environment and of the source area.

The sedimentary environment of the entire Těšín-Hradiště Formation and of the Lower Těšín Member was of reducing alkaline character and maximally favourable for the forming of clayey siderites in the Těšín-Hradiště Formation. Increased Mo concentrations in the Upper Těšín Member are probably connected with the presence of calcareous plankton (biochemically induced concentration), the higher V concentrations might be associated with the reducing character of the environment. Also the influence of the basic volcanism of the teschenite association might be one of the causes. The markedly reducing sedimentary environment of rather acidic character, increased salinity and minimum supply of clastic material are characteristic of the Veřovice Member. Increased supply of less mature clastic material and a probably higher content and different quantitative composition of the mineral fraction is reflected in a change of concentrations (their increase) of Rb, Ti, Zr, Cr, Y and the sum of Fe oxides particularly in the Godula Group (which also has the highest contents of R.E.E., Th and Hf). In the higher layers of the upper portion of the Godula Group, there is a slight decrease in Rb, Ti, Ba, Cu, Co, Cr and V contents, whereas As, S and organic substances show increased concentration higher

upwards, thus indicating the beginning reducing character of the sedimentary environment (Istebna Member, reducing Paleocene).

The claystones of the variegated beds of the Submenilitic Formation were deposited in an environment that was gaining oxidation character. At the same time, the acidity of the environment changes from neutral to weakly acidic during the deposition of the sediments of the reducing Paleocene into weakly alkaline, which was favourable for increased accumulation of calcite at the close of the sedimentation of the Submenilitic Formation. The mineralogical and geochemical study of the variegated beds of the Godula Group and Submenilitic Formation of the Silesian and Ždánice units makes me presume that the green claystones originated as a result of Fe<sup>III</sup> reduction in the red beds (or their predecessors) through migration of fluids of reducing character (the decomposing organic substance supplied the necessary reducing capacity). The established differences in the chemical composition between the red and green claystones probably reflect a higher degree of degradation of the green claystones during leaching under reducing conditions with retaining of part of Mg in the chlorite minerals.

The sedimentation of the significant lithostratigraphic horizon of the Silesian (and Ždánice) units — the Menilitic Formation — occurred in a strongly reducing environment at increased contents of S and organic substance and limited communication with the open sea, normal to slightly increased salinity and minimum supply of clastic material. Typical of this formation is the fact that the sediments are enriched with Mo, V and U. In addition to the bond of V with the dispersed organic substance there is, similarly as with Mo, a tendency towards biochemical concentration. The increased contents of these two elements correspond to the mixed character of the plankton in the menilitic sediments. The primary source of part of the V and Mo was pyroclastic material. This conclusion is documented by the presence of tuffites that have increased concentrations of these elements in the Menilitic Formation. The highest concentrations of uranium are in the rocks of the Menilitic Formation, in the Subcherty Member and in the basal part of the Krosno Formation. The uranium which occurs in these sediments in a dispersed form particularly together with bituminous substance is probably syngenetic and it was being concentrated by sorption on planktonic organisms or on organic substance during its bitumenization. The supply of U into the sedimentary basin of the Menilitic Formation with the pyroclastic material is also documented by the high U content in tuffites (table 3).

On the basis of the very close geochemical character of the rocks of the Subcherty Member and the Menilitic Formation, notably of the Cherty Member of the Silesian and Ždánice units, I have arrived at the conclusion that the Subcherty Member, so far referred to the Submenilitic Formation, should be referred to the Menilitic Formation.

$\text{SiO}_2$  is in the Menilitic Formation and Subcherty Member sediments present both in the form of quartz and cristobalite, and in amorphous form (opal or chalcedony). The established increased contents of the minerals of the montmorillonite group, the presence of cristobalite, zeolite and tuffite material in the sediments of the Menilitic Formation of the Silesian and Ždánice units and the same mineral assemblage found in the Subcherty Member are in favour of the conclusion that the major primary source of  $\text{SiO}_2$  in these sediments was volcanogenic material. The occurrence of diatoms and of radiolarians in the menilitic sediments allow the assumption that the origin of silicates is the result of the combination of volcanic and organic factors, possibly influenced by a series of other factors.

The Krosno Formation that grades from the Menilitic Formation, contains in its basal part also menilite-type claystone intercalations, corresponding in geochemical character to the Menilitic Formation proper (high contents of pyrite reaching 5 ‰ and of organic substance and an analogically increased content in trace elements, particularly Mo, V, U, As, Ag and Ni). The Krosno Formation as a whole was deposited in a sedimentary environment that gradually became less reducing and adopted rather an alkaline character having lower salinity and a higher supply of clastic material. Characteristic of this portion of the Krosno Formation is an assemblage of micaceous minerals with chlorites, a higher feldspar proportion and a significant quantity of dolomites in the carbonate admixture. In the Krosno Formation, there is a significant drop of concentrations, particularly of Zr, Ti, Sn, Ga, As, Cu and Mo. The important representation of garnet and the presence of disthene in the heavy mineral fraction and the drop of the contents of Zr and Ti indicate that metamorphic rocks form an important proportion of the source material of these sediments.

All results obtained (values of ratios of selected pairs of trace elements, La/Th, Th/U, Th/Yb, La/Ce ratios, increased concentrations of R.E.E. and of a series of trace elements, notably of Y, Th, Ti, Zr and Hf, indicate a significant proportion of granitoid rocks in the clastic material of the Godula Group, Isteboňa Formation and partly also in the reducing Paleocene. In the Těšín Member and particularly in the Menilitic Formation, some influence of volcanogenic activity during their sedimentation may be observed (contribution of material of volcanic provenience).

All available data on the sediments of the Krosno Formation of the Silesian unit were compared with those of the Ždánice-Hustopeče Formation of the Ždánice unit (Adamová 1983a). This comparison has revealed that the sediments of these two lithostratigraphic members have a very similar mineralogical composition, such as higher content of feldspars, a dominating assemblage of micaceous minerals and chlorites, a significant proportion of dolomite in the carbonate admixture, prevalence of garnet in the heavy minerals fraction. Chemically, they have very close contents of  $\text{SiO}_2$ ,  $\text{Al}_2\text{O}_3$ , iron oxides,  $\text{MgO}$ .

$\text{CaO}$ ,  $\text{Na}_2\text{O}$ ,  $\text{K}_2\text{O}$ ,  $\text{P}_2\text{O}_5$  and of most of the trace elements (whereby concentrations of As, Co, Cu, Mo, Ni, S and U are slightly higher in the Silesian unit). close average values of the ratios of selected pairs of trace elements, absolute contents of B. The concentrations of R.E.E. in the Krosno Formation are only slightly higher but the value of the ratio light/heavy R.E.E. is identical. Also the values of the Th/U, La/Th, La/Ce, Th/Yb and K/Th are very close. The results of this comparison point to analogous source areas of the sediments of the Krosno Formation and of the Ždánice-Hustopeče Formation or to the fact that they had one common significant source area.

When summarizing all information obtained from geochemical investigation we find a certain unification of the sedimentary area of the Silesian unit during the sedimentation of the Submenilitic Formation, Menilitic Formation and Krosno lithofacies with the sedimentary area of the Ždánice unit (or Ždánice-Subsilesian unit). During the sedimentation of the Krosno Formation and the Ždánice-Hustopeče Formation the clastic material was — in contrast to the underlying sediments — supplied with high probability from the E, from the region of the Magura zone.

*Přeložila H. Šilarová*

#### Explanation of tables

Table 1. Mean contents ( $\bar{x}$ ) and concentration ranges (min.—max.) of oxides of the major elements (in %) in the rocks of the Silesian unit (outcrops).

Table 2. Mean contents ( $m$ ) and concentration ranges (min.—max.) of oxides of the essential elements (in %) in the rocks of the Silesian unit (sandstones — outcrops).

Table 3. Average contents (in ppm), standard deviations and concentration range (min.—max.) of the studied trace elements in the rocks of the Silesian unit ( $\bar{x}$  — arithmetic mean,  $m$  — median,  $\bar{x}_g$  — geometric mean,  $s$ ,  $s_g$  — arithmetic and geometric standard deviation,  $V\%$  — variation coefficient, st — traces).

Table 4. Mean contents (in ppm), standard deviation and concentration range of trace elements in the sediments of the Silesian unit ( $x$  — arithmetic mean,  $m$  — median,  $s$  — arithmetic standard deviation, min.—max. — concentration range, st. — traces).

Table 5. Mean contents (median) and concentration ranges (in ppm) of rare earths elements (R.E.E.), U, Th, Y, Hf and average values of the ratios of La/Th, Th/Yb, La/Ce, Hf/Zr, K/Th, Th/U in the rocks of the Silesian unit. Ch — values of ratios established contents of given elements with respect to contents indicated for chondrites (K. H. Wedepohl 1975); NAS — the same with respect to contents in North American shales (M. A. Haskin et al. 1968).

Table 6. Overall contents of organic substance in individual genetic types (Corg, Cres, Chom, Cbit) expressed in mass percent of C in the rock, percentage of these genetic types expresed in so-called carbon balance and values of the coefficient of bitumenousness in the sediments of the Silesian unit.

Table 7. Results of pyrolysis in selected studied samples.

Table 8. Total content of n-alkanes (in %); sums of contents of odd and even n-alkanes (in  $\mu\text{g/g}$ ) and values of ratios of odd and even n-alkanes in the sediments of the Silesian unit.

Table 9. Average contents of B (in ppm) in individual lithostratigraphic complexes of the Silesian unit; number of samples that were recalculated to equivalent B, its average values and average values of Th/U ratios.

**Explanation of text-figures and of plate 1**

1. Average contents of trace elements in the sediments of the Silesian unit (sampled from outcrops).
2. Average contents of trace elements in the sediments of the Silesian unit (sampled from outcrops).
3. Point diagram of Rb-K<sub>2</sub>O, Ba-K<sub>2</sub>O, Pb-K<sub>2</sub>O, Sr-K<sub>2</sub>O in the pelitic sediments of the Istebsna Member and Godula Group of the Silesian unit.  
*1* — Istebsna Member; *2* — upper part of the Godula Group; *3* — middle part of the Godula Group; *4* — lower part of the Godula Group; *5* — Variegated Member of the Godula Group.
4. Point diagram of Ga-Σoxides of Fe, Ga-Al<sub>2</sub>O<sub>3</sub>, Cr-Al<sub>2</sub>O<sub>3</sub>, Sr-CaO in the pelitic sediments of the Istebsna Member and Godula, Group of the Silesian unit.  
 For explanation see fig. 3.
5. Point diagram of Rb-K<sub>2</sub>O, Ba-K<sub>2</sub>O, Pb-K<sub>2</sub>O, Sr-K<sub>2</sub>O in the claystones of the Krosno Formation of the Silesian unit and the Ždánice-Hustopeče Formation of the Ždánice unit.  
*1* — Krosno Formation; *2* — Ždánice-Hustopeče Formation, flysch development; *3* — Ždánice-Hustopeče Formation, pelitic development.
6. Point diagram of Ga-Σoxides of Fe, Ga-Al<sub>2</sub>O<sub>3</sub>, Cr-Al<sub>2</sub>O<sub>3</sub>, Sr-CaO in the claystones of the Krosno Formation of the Silesian unit and the Ždánice-Hustopeče Formation of the Ždánice unit.  
 For explanation see fig. 5.
7. 3Ni—Cr—6Co diagram for the sediments of the Silesian and Ždánice units.  
 Silesian unit (*dot*): *1* — Krosno Formation, *3* — Menilitic Formation, Dynów Marlstones, *4* — Menilitic Formation, claystones, *5* — Menilitic Formation, cherts, *6* — Menilitic Formation, tuffites, *7* — Subcherty Member: *7I* claystone, *7II* marlstones, *8* — Submenilitic Formation, Variegated Member, *9* — Submenilitic Formation, reducing Paleocene.  
 Ždánice unit (*open circle*): *2* — Ždánice-Hustopeče Formation, flysch development, *3* — Ždánice-Hustopeče Formation, pelitic development, *4* — Menilitic Formation, Sitbořice Member, *5* — Menilitic Formation, Dynów Marlstones, *6* — Menilitic Formation, cherts, *7* — Menilitic Formation, claystones, *8* — Menilitic Formation, tuffites, *9* — Subcherty Member, claystones, *10* — Subcherty Member, marlstones, *12* — Submenilitic Formation, Variegated Member, *13* — Submenilitic Formation, mottled development, *14* — Submenilitic Formation, reducing Paleocene.
8. 6V—3Zr—Sr diagram for the sediments of the Silesian and Ždánice units.  
 For explanation see fig. 7.

Pl. 1

Distribution of R.E.E. in the rocks of the Silesian unit.

A. Normalized with respect to chondrites (after K. H. Wedepohl 1975).

*1* — Krosno Formation; *2* — Menilitic Formation, claystones; *3* — Menilitic Formation, cherts; *4* — Submenilitic Formation, Variegated Member; *5* — Submenilitic Formation, reducing Paleocene; *6* — Istebsna Member; *7* — Godula Group, upper part; *8* — Godula Group, middle part; *9* — Godula Group, lower part; *10* — Godula Group, Variegated

Member; 11 — Lhoty Formation; 12 — Veřovice Member; 13 — Těšín-Hradiště Formation, Hradiště Member; 14 — Těšín-Hradiště Formation, Upper Těšín Member; 15 — Lower Těšín Member.

B. Normalized with respect to North American shales — NAS (after M. A. Haskin et al. 1968).

### Геохимическая оценка осадочных пород силезской единицы

Геохимические исследования осадочных пород силезской единицы (верхнисюрского до олигоценового возраста) были направлены на изучение химического и минерального составов пелитов и псаммитов, отобранных из обнажений и буровых скважин, определение геохимической характеристики этих пород, сравнение их друг с другом в целях геохимической и геологической интерпретаций. Изучались концентрации главных элементов, микроэлементов (Ag, As, B, Ba, Co, Cr, Cu, Ga, Mo, Nb, Ni, Pb, Rb, S, Sb, Sn, Sr, Ti, U, V, Y, Zn, Zr), значительные отношения пар этих элементов, их распределение, корреляционные отношения и геохимические фоны в породах отдельных литостратиграфических подразделений силезской единицы с целью возможного использования геохимической оценки для их определения и стратиграфического сопоставления. Исследования были дополнены изучением в выбранных образцах пород редкоземельных элементов, урана, тория, гафния и органического вещества. Внимание уделялось также вопросу пестроцветных слоев и происхождению кремнезема в осадочных породах.

*Přeložil A. Kříž*